

ΠΟΛΥΤΕΧΝΕΙΟ ΚΡΗΤΗΣ
ΤΜΗΜΑ ΗΛΕΚΤΡΟΝΙΚΩΝ ΜΗΧΑΝΙΚΩΝ ΚΑΙ ΜΗΧΑΝΙΚΩΝ
ΗΛΕΚΤΡΟΝΙΚΩΝ ΥΠΟΛΟΓΙΣΤΩΝ
ΤΟΜΕΑΣ ΤΗΛΕΠΙΚΟΙΝΩΝΙΩΝ



Τλοποίηση Πρωτοκόλλου CSMA για Ασύρματα
Δίκτυα Αισθητήρων σε Ενσωματωμένο Ραδιόφωνο
Ελεγχόμενο από Μικροελεγκτή 8051

ΔΙΠΛΩΜΑΤΙΚΗ ΕΡΓΑΣΙΑ

Ιωάννης Παπαμεντζελόπουλος

Ιούλιος 2012

ΕΠΙΤΡΟΠΗ

Επίκουρος Καθηγητής Άγγελος Μπλέτσας - Επιβλέπων Καθηγητής

Επίκουρος Καθηγητής Αντώνιος Δεληγιαννάκης

Επίκουρος Καθηγητής Πολυχρόνης Κουτσάκης

Περιληψη

Η εργασία αυτή έχει ως σκοπό την ανάλυση και υλοποίηση ενός πρωτοκόλλου, που θα διασφαλίζει την επικοινωνία ασύρματων κόμβων σε ένα δίκτυο αισθητήρων, βασισμένο σε πλατφόρμες τύπου 8051, με στόχο την χαμηλή κατανάλωση ενέργειας και την αξιόπιστη μετάδοση. Επιπλέον στόχος είναι να αποτελέσει μία βάση και ένα εργαλείο, για την δικτύωση και περαιτέρω ανάπτυξη ενός τέτοιου δικτύου. Στα πλαίσια αυτά υλοποιήθηκε ένα πρωτόκολλο ελέγχου πρόσβασης στο μέσο (MAC - Medium Access Control), με βάση το πρότυπο IEEE 802.15.4 και ένα σύστημα αφύπνισης και περιοδικής αποστολής πακέτων, απαραίτητο σε δίκτυα αισθητήρων, χαμηλής κατανάλωσης ενέργειας.

Περιεχόμενα

Κατάλογος Σχημάτων	4
Κατάλογος Πινάκων	5
1 Εισαγωγή	6
1.1 Ασύρματα Δίκτυα Προσωπικού Χώρου (WPANs) - IEEE 802.15.4	6
1.2 Ασύρματα Δίκτυα Αισθητήρων - iCubes	8
2 Μικροελεγκτής (MCU) - C8051F320	10
2.1 Περιγραφή	10
2.2 Εργαλεία Προγραμματισμού - Μεταγλώττισης	11
2.2.1 Σχεδίαση Στρώματος Περίληψης Υλικού - HAL	12
3 Πομποδέκτης (RF tranceiver) - CC2500	14
3.1 Περιγραφή	14
3.2 Φυσικό επίπεδο	15
4 Πρόσβαση στο Μέσο - CSMA/CA	18
4.1 Περιγραφή	18
4.2 Θεωρητική Ανάλυση	22
4.2.1 Εισαγωγή - Παραδοχές	22
4.2.2 Μαθηματικό μοντέλο - Μέρος 1	24
4.2.3 Μαθηματικό μοντέλο - Μέρος 2	34
5 Υλοποίηση - Εφαρμογή	40
5.1 Περιγραφή	40
5.2 Χαμηλή Κατανάλωση (Wake-On-Radio)	41
5.3 Μετρήσεις - Πειράματα	52
5.3.1 Αποτελέσματα για CSMA	54
5.3.2 Αποτελέσματα για CSMA & WOR	55

6 Συμπεράσματα	57
6.1 Δυσκολίες Υλοποίησης	57
6.2 Μελλοντική Δουλειά	58
A' CSMA-CA - Κώδικας	60
B' Wake-On-Radio Κώδικας	78
Γ' Phy-Layer Κώδικας	83
Δ' Application Layer(main) -Κώδικας	99
E' Αναφορές	108

Κατάλογος Σχημάτων

1	Κόμβοι σε τοπολογία αστέρα (star topology)	7
2	Κόμβοι σε τοπολογία peer-to-peer	7
3	iCubes	9
4	Κύκλοι εντολών της αρχιτεκτονικής CIP-51 στο [4]	10
5	Παράδειγμα οργάνωσης κώδικα από το [6]- HAL	13
6	Απόσπασμα από τις πρότυπες ρυθμίσεις του CC2500 στο [3]	17
7	Δομή ενός superframe όπως ορίζεται στο [1]	19
8	Δομή του unslotted CSMA-CA όπως ορίζεται στο [1]	21
9	Απόσπασμα από [2, Fig 2] για backoff stage 1	26
10	Απόσπασμα από [2, Fig 3] για backoff stage 2	27
11	Απόσπασμα από [2, Fig 4] για backoff stage 3	28
12	Απόσπασμα από [2, Fig 5] για backoff stage 4	29
13	Απόσπασμα από [2, Fig 6] για backoff stage 5	30
14	Απόσπασμα από [5] για Wake-On-Radio Events	41
15	Αλγόριθμος για Wake-On-Radio εφαρμογή	44
16	Απόσπασμα από το [3] - Μορφή ενός πακέτου	46
17	Εικόνα Παλμογράφου - Μία Εποχή	48
18	Εικόνα Παλμογράφου - Τρείς Εποχές (epochs)	49
19	Εικόνα Παλμογράφου - Κατανάλωση ρεύματος με Idle Mode	50
20	Εικόνα Παλμογράφου - Κατανάλωση ρεύματος χωρίς Idle Mode	51
21	Δίκτυο σε λειτουργία & Σταθμός Βάσης	52

Κατάλογος Πινάκων

1	Χαρακτηριστικά Φυσικού Επιπέδου - (Physical Layer)	16
2	Χαρακτηριστικά Πρωτοκόλλου	53
3	Μετρήσεις - Εποχές 160 (Περίοδος εποχής: 6 δευτερόλεπτα)	54
4	Μετρήσεις - Εποχές 614 (Περίοδος εποχής: 30 δευτερόλεπτα)	55
5	Μετρήσεις - Εποχές 96 (Περίοδος εποχής: 30 λεπτά)	56

1 Εισαγωγή

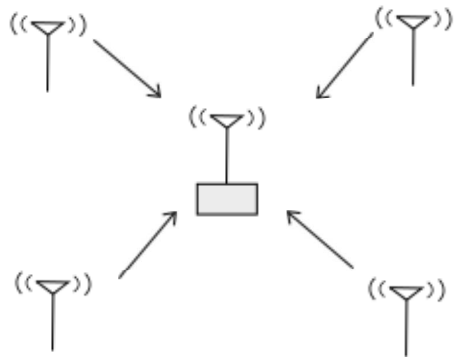
1.1 Ασύρματα Δίκτυα Προσωπικού Χώρου (WPANs) - IEEE 802.15.4

Τα τελευταία χρόνια έχει διοθεί μεγάλο ενδιαφέρον στην ανάπτυξη των ασύρματων δικτύων προσωπικού χώρου, γνωστά ως WPAN (Wireless Personal Area Networks). Πρόσφατα η επιστημονική κοινότητα της IEEE στα πλαίσια της δουλειάς της για τα πρότυπα πρωτόκολλα 802, ανακοίνωσε το παγκόσμιο πρότυπο 802.15.4 [1] για τα WPAN. Στο πρότυπο αυτό αναφέρονται λεπτομερώς, ο τρόπος με τον οποίο γίνεται πολλαπλή πρόσβαση στο κανάλι από πολλούς κόμβους (Medium Access Control - MAC), καθώς και τα χαρακτηριστικά του φυσικού επιπέδου (Physical Layer - PHY).

Τα WPANs χρησιμοποιούνται για την διάδοση πληροφορίας σε μικρή εμβέλεια και σε μικρούς ρυθμούς μέχρι 250kb/s. Λειτουργούν στην μπάντα συχνοτήτων στα 868/915 MHz ή στα 2450 MHz. Σε αντίθεση με τα WLANs, η σύνδεση των κόμβων απαιτεί ελάχιστη, ως και καμία επιπλέον υποδομή. Σκοπός σε αυτά τα δίκτυα δεν είναι τόσο ο μεγάλος ρυθμός πληροφορίας, όσο η αξιοπιστία.

Για αυτό το λόγο και τα WPAN δίκτυα αναφέρονται κυρίως σε εφαρμογές αισθητήρων και ελέγχου. Αυτά τα χαρακτηριστικά δίνουν την δυνατότητα για φτηνές σε κόστος και χαμηλής κατανάλωσης ενέργειας, λύσεις δικτύωσης πολλών ειδών συσκευών. Απώτερος σκοπός είναι αντίστοιχες τεχνολογίες τηλεπικοινωνιών, όπως IrDA, Bluetooth, Wireless USB, Z-Wave, ZigBee, να μπορούν να δικτυωθούν κάτω από μια κοινή σκοπιά και να ενοποιηθούν, βασιζόμενες σε ένα κοινό πρωτόκολλο.

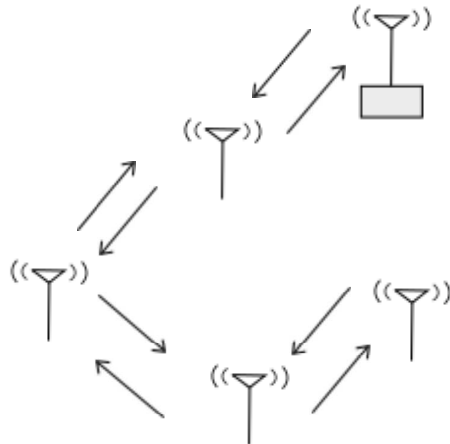
Το πρωτόκολλο καλύπτει την δικτύωση κόμβων που βρίσκονται σε τοπολογία αστέρα(star topology) και σε τοπολογία σύνδεσης κόμβου με κόμβο(peer-to-peer), όπως ορίζονται και στο πρότυπο, και φαίνονται στα σχήματα 1 και 2.



Σχήμα 1: Κόμβοι σε τοπολογία αστέρα (star topology)

Στην εφαρμογή του χωραφιού, θέλουμε να δικτυώσουμε διάφορα φυτά, με κόμβους αισθητήρες οι οποίοι θα παίρνουν μετρήσεις υγρασίας, θερμοκρασίας κτλ. Και θα μεταδίδουν την πληροφορία αυτή σε έναν απομακρυσμένο κόμβο-Σταθμό Βάσης (Base Station).

Χρησιμοποιήσαμε λοιπόν την τοπολογία αστέρα, ως λύση για την δικτύωση των κόμβων αισθητήρων, με σκοπό και τη μείωση των μεταδόσεων (όπως θα είχαμε από μια peer-to-peer τοπολογία, με πολλά μονοπάτια). Για την κάλυψη αποστάσεων, πέρα από τα όρια όμως του ενός χωραφιού, μπορεί να χρησιμοποιηθεί μια ιεραρχική δομή, από πολλά δίκτυα αστέρα, που θα συνδέονται μεταξύ τους, μέσω των κόμβων-βάσης τους.



Σχήμα 2: Κόμβοι σε τοπολογία peer-to-peer

Η εργασία αυτή στηρίζεται σε αυτή την σκοπιά και προσπαθεί να ενσωματώσει τα χαρακτηριστικά εκείνα στα οποία βασίζεται το 802.15.4 πρότυπο, με κυριότερο χαρακτηριστικό τον τρόπο της πολλαπλής πρόσβασης κόμβων στο μέσο (MAC).

1.2 Ασύρματα Δίκτυα Αισθητήρων - iCubes

Το πεδίο των ασύρματων δικτύων αισθητήρων είναι ένα συνεχώς αναπτυσσόμενο πεδίο. Ως ασύρματο δίκτυο αισθητήρων (WSN - Wireless Sensor Network) ορίζεται ένα δίκτυο το οποίο αποτελείται από διάσπαρτους ανεξάρτητους κόμβους, οι οποίοι καταγράφουν διαφόρων ειδών μετρήσεις (Θερμοκρασίας, ήχου, πίεσης κτλ.) και συνεργαζόμενοι διαδίδουν τα δεδομένα τους μέσα από το δίκτυο, σε μία περιοχή βάσης και καταγραφής αυτών.

Συνήθως οι κόμβοι αυτοί αποτελούνται από διάφορα συγκεκριμένα μέρη: έναν ασύρματο πομποδέκτη, είτε με ενσωματωμένη κεραία, είτε με σύνδεση με εξωτερική, έναν μικροελεγκτή, ένα ηλεκτρικό κύκλωμα για την διασύνδεση των αισθητήρων και κάποια μορφή παροχής αυτόνομης ηλεκτρικής ενέργειας (συνήθως μπαταρίες) ή ακόμη καλύτερα και κάποια μορφή συλλογής ενέργειας από εξωτερικές πηγές (energy harvesting). Το κόστος για τέτοιους κόμβους εξαρτάται κυρίως από τον προσανατολισμό της λειτουργίας τους, συνήθως όμως ο γενικός προσανατολισμός είναι το κόστος να είναι μικρό, ώστε το δίκτυο αισθητήρων να έχει πολλούς κόμβους.

Για τον σκοπό αυτό, χρησιμοποιήθηκαν τα, «iCubes». Τα iCubes είναι ασύρματοι τηλεπικοινωνιακοί κόμβοι, οι οποίοι δημιουργήθηκαν στα πλαίσια του μαθήματος «Ανάλυση και Σύνθεση Τηλεπικοινωνιακών Διατάξεων» (ΤΗΛ404), του τμήματος «Ηλεκτρονικών Μηχανικών και Μηχανικών Ηλεκτρονικών Υπολογιστών» Πολυτεχνείου Κρήτης, το 2010 και μπορούν να αποτελέσουν αποτελεσματικούς κόμβους, δικτύου αισθητήρων, συνδέοντας κάποιον αισθητήρα επιλογής, σαν εξωτερική επέκταση.



Σχήμα 3: iCubes

Σκοπός ήταν να δημιουργηθούν οι κατάλληλοι κόμβοι για να μπορέσει να δικτυωθεί ένα χωράφι με αισθητήρες υγρασίας. Τα κίνητρα της εργασίας αυτής, είναι να θέσει μια βάση για το πρωτόκολλο επικοινωνίας των κόμβων αυτών, ώστε να διασφαλίζει την σωστή μετάδοση πληροφορίας αλλά και την ενεργειακή αυτοδυναμία των κόμβων, σε εφαρμογές που απαιτούν σποραδική μετάδοση, σε μεγάλη διάρκεια χρόνου, π.χ της παρακολούθησης υγρασίας των φυτών, σε ένα χωράφι.

Η σωστή διαχείριση της κατανάλωσης ενέργειας σε κάθε κόμβο, είναι ίσως από τα σημαντικότερα θέματα από τη σκοπιά των δικτύων αισθητήρων, καθώς αποτελεί σημαντικό κριτήριο για την βιωσιμότητα και την ύπαρξη του δικτύου. Η εργασία αυτή αναφέρεται και στο θέμα της κατανάλωσης ενέργειας στο επίπεδο της εφαρμογής και παραθέτει διάφορες λειτουργίες, που εστιάζουν στην ελαχιστοποίηση της κατανάλωσης ενέργειας.

2 Μικροελεγκτής (MCU) - C8051F320

2.1 Περιγραφή

Ο μικροελεγκτής που χρησιμοποιούν, οι κόμβοι iCubes του δικτύου μας, είναι ο C8051F320 της Silicon Laboratories. Είναι ένας μικροελεγκτής με πυρήνα τύπου CIP-51, ο οποίος είναι πλήρως συμβατός με το σετ εντολών του Intel MCS-51 (γνωστός απλά ως 8051) καθώς και με τους συμβολομεταφραστές τύπου 803x/805x.

Το μεγάλο όφελος της αρχιτεκτονικής του CIP-51 πυρήνα είναι ότι χρησιμοποιεί αρχιτεκτονική διοχέτευσης, η οποία αυξάνει τον ρυθμό διεκπεραίωσης εντολών σημαντικά. Πιο συγκεκριμένα, στην αλασσική αρχιτεκτονική 8051 όλες οι εντολές εκτός των MUL και DIV (πολλαπλασιασμού και διαίρεσης) απαιτούν 12 ή 24 κύκλους ρολογιού για να υλοποιηθούν, με ρολόι επεξεργαστή από 12 MHz - 24 MHz. Στην αρχιτεκτονική διοχέτευσης του CIP-51, το 70% των εντολών υλοποιούνται σε 1 με 2 κύκλους ρολογιού, όπως φαίνεται και στο αναλυτικό σχήμα παρακάτω.

Clocks to Execute	1	2	2/3	3	3/4	4	4/5	5	8
Number of Instructions	26	50	5	14	7	3	1	2	1

Σχήμα 4: Κύκλοι εντολών της αρχιτεκτονικής CIP-51 στο [4]

Τα βασικότερα τεχνικά χαρακτηριστικά του μικροελεγκτή μας είναι τα εξής:

- Πλήρως συμβατός με το σύνολο εντολών του πυρήνα 8051.
- Μέγιστη ταχύτητα διεκπεραίωσης εντολών 25 MIPS στα 25 MHz .
- Ρολόι πυρήνα έως 25 MHz.
- 256 bytes εσωτερικής μνήμης RAM και 16k bytes FLASH μνήμη.
- 25 θύρες I/O.
- Αυξημένες δυνατότητες χειριστή διακοπών (Interrupt Handler).

- Προγραμματιζόμενες λειτουργίες χαμηλής κατανάλωσης (περίπου 1 mA) Idle Mode - Stop Mode.

2.2 Εργαλεία Προγραμματισμού - Μεταγλώττισης

Ο προγραμματισμός του μικροελεγκτή έγινε με τον Keil C51 μεταφραστή/μεταγλωττιστή (compiler) της ARM Ltd, για την γλώσσα προγραμματισμού C. Είναι από τους πιο δημοφιλείς μεταφραστές στον κόσμο, για αρχιτεκτονική 8051. Παρέχει αρκετές δυνατότητες στον χρήστη για άμεση και πλήρη επαφή και διαχείριση όλων των πόρων ενός 8051 επεξεργαστή.

Τα βασικότερα χαρακτηριστικά του μεταφραστή Keil C51 είναι:

- Ύποστηρίζει 9 βασικά είδη πληροφορίας, συμπεριλαμβάνοντας και 32-bit IEEE floating-point.
- Παρέχει ευέλικτη διαμόρφωση της διαθέσιμης μνήμης, ορίζοντας μεταβλητές διαφορετικού τύπου μνήμης data, bdata, idata, xdata, pdata.
- Οι συναρτήσεις διαχείρισης διακοπών (interrupt handler routines), μπορούν να γραφούν σε C.
- Δυνατότητα διευθυνσιοδότησης bit.

2.2.1 Σχεδίαση Στρώματος Περίληψης Υλικού - HAL

Το στρώμα περίληψης υλικού (HAL - Hardware Abstraction Layer) είναι ένα στρώμα κώδικα μεταξύ του φυσικού υλικού και του καθαρού λογισμικού. Ο σκοπός είναι να παραμένουν αφανείς οι λεπτομέρειες του υλικού (ονόματα καταχωρητών, διευθύνσεις μνήμης, περιφερειακά κτλ) έτσι ώστε να παραχθεί μια συνεπής πλατφόρμα/βιβλιοθήκη την οποία να μπορεί ο κάθε χρήστης, ανεξαρτήτως της γνώσης του και της επαφής του με το υλικό, να τη χρησιμοποιεί για να τρέχει διάφορες εφαρμογές/προγράμματα.

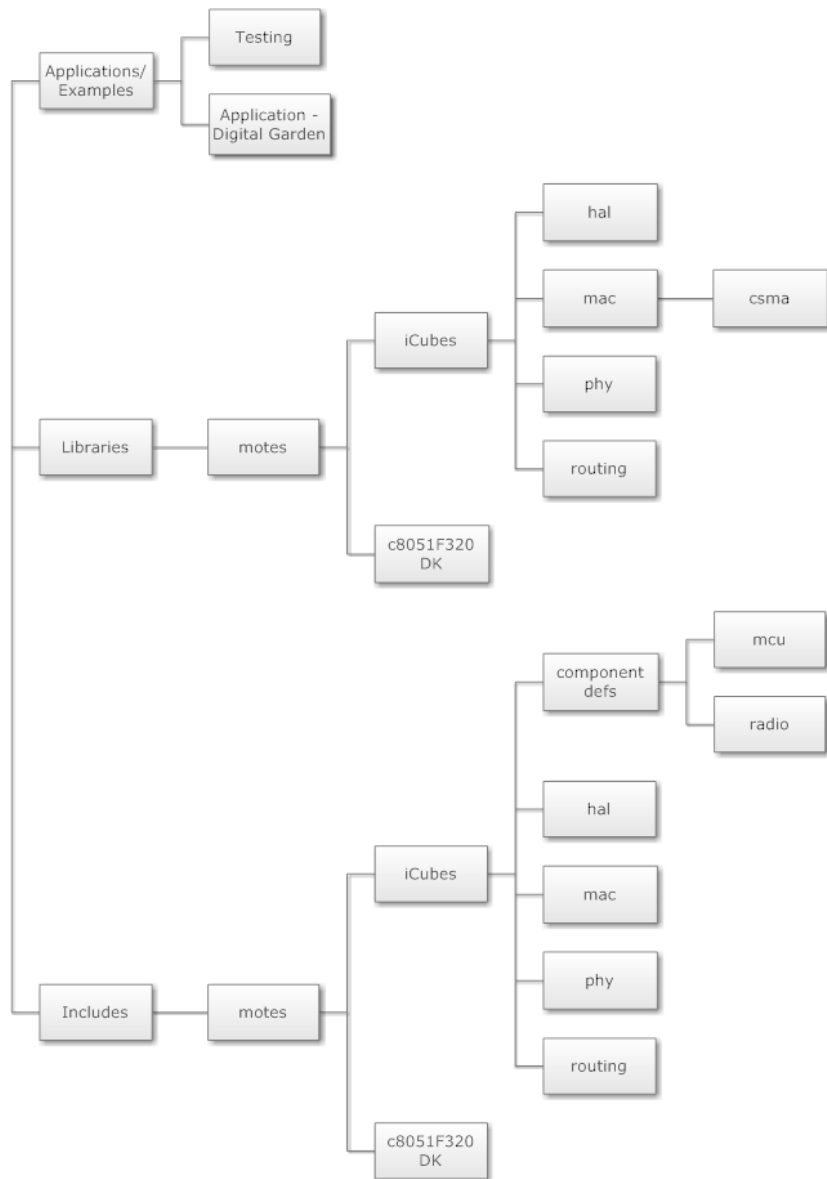
Αυτό έχει αρκετά πλεονεκτήματα, με βασικότερο ότι σε περίπτωση που το φυσικό υλικό αλλάζει κάθε φορά, ο χρήστης δεν θα χρειάζεται να αλλάζει την μορφή του κώδικα της εφαρμογής του και να τον τροποποιεί σε μεγάλο βαθμό, να εξαρτάται δηλαδή από το υλικό (hardware), αλλά θα χρησιμοποιεί τις εκάστοτε ανάλογες βιβλιοθήκες για το κατάλληλο υλικό του κάθε φορά.

Αυτή η λογική είναι πολύ σημαντική στα ενσωματωμένα συστήματα (embedded systems) έτσι ώστε να μπορεί το λογισμικό των εφαρμογών που υλοποιείται, να ενσωματώνεται και να εξελίσσεται γρήγορα και εύκολα σε διαφορετικές πλατφόρμες. Σε αυτήν την προσπάθεια έχει κινηθεί και η οργάνωση του κώδικα σε αυτή την εργασία, έτσι ώστε μελλοντικές εφαρμογές να μπορούν να βασιστούν, τροποποιήσουν ή χρησιμοποιήσουν κομμάτια αυτής της εργασίας χωρίς να πρέπει να αλλάζουν τον κώδικα της εφαρμογής τους.

Μερικά από τα βασικά κομμάτια της οργάνωσης (HAL) που έγινε όπως φαίνεται στο σχήμα 5 είναι τα εξής:

- Examples-Applications : Εδώ βρίσκουμε υλοποιήσεις και λογισμικό εφαρμογών (αλγορίθμους, εφαρμογές, κτλ).
- Includes : Εδώ βρίσκουμε τους ορισμούς διαφόρων συναρτήσεων και τις περιγραφές σταθερών που έχουν να κάνουν με το επίπεδο υλικού και το χαμηλό επίπεδο γενικότερα (φυσικό επίπεδο, ονομασίες καταχωρητών-θυρών, κτλ)
- Libraries: Εδώ βρίσκουμε τις υλοποιήσεις των διαφόρων συναρτήσεων χαμηλού επίπεδου που βασίζονται τους ορισμούς που έχουν γίνει παραπάνω και υλοποιούν χυρίως

βασικές λειτουργίες χαμηλού επιπέδου, διασύνδεσης περιφερειακών κτλ.



Σχήμα 5: Παράδειγμα οργάνωσης κώδικα όπως στο [6]- HAL

3 Πομποδέκτης (RF tranceiver) - CC2500

3.1 Περιγραφή

Οι κόμβοι χρησιμοποιούν επίσης ραδιοφωνικό πομποδέκτη για την τηλεπικοινωνιακή ζεύξη και δικτύωση τους. Ο πομποδέκτης των iCubes είναι ο CC2500 της Texas Instruments. Είναι ένας πομποδέκτης χαμηλού κόστους, στα 2.4 GHz ειδικά σχεδιασμένος για ασύρματες εφαρμογές, χαμηλής κατανάλωσης ενέργειας.

Το υλικό αυτό είναι σχεδιασμένο για την μπάντα συχνοτήτων 2400-2483.5 MHz, η οποία χαρακτηρίζεται ως ISM (Industrial, Scientific, Medical) και SRD (Short Range Device). Το ραδιόφωνο CC2500 παρέχει εκτενή έλεγχο και διαχείριση των πακέτων, δυνατότητα στοίβας πακέτων (buffering), δυνατότητα εκπομπής εκρηκτικής ροής (burst transmission), ανίχνευση φέροντος και ελεύθερου καναλιού (CS - carrier sense /CCA - clear channel assessment), έλεγχο ποιότητας ζεύξης (LQI - link quality indication) και δυνατότητα λειτουργίας σε χαμηλή κατανάλωση και αφύπνισης μέσω του ραδιοφώνου (Wake-On-Radio). Τα βασικότερα τεχνικά χαρακτηριστικά του:

- Υψηλή ευαισθησία δέκτη μέχρι και -104dBm στα 2.4 KBAud(kilo symbols/sec) και 1% ποσοστού σφάλματος (packet error rate).
- Χαμηλή κατανάλωση ρεύματος 13.3 mA σε κατάσταση λήψης (RX state) για ισχυρά σήματα στην είσοδο.
- Ρυθμιζόμενη ισχύς εκπομπής από -50dBm μέχρι +1dBm.
- Προγραμματιζόμενος ρυθμός εκπομπής από 1.2 μέχρι 500 KBAud.
- Συχνότητα φέροντος εκπομπής 2400 - 2483.5 MHz και δυνατότητα γρήγορης αλλαγής φέροντος (frequency hopping).
- Ευέλικτες λειτουργίες για συστήματα βασισμένα σε πακέτα: Ανίχνευση προθέματος και συντονισμός (preamble, sync word detection) , έλεγχος διεύθυνσης (address check),

μεταβλητό μέγεθος πακέτων, αυτόματος κυκλικός έλεγχος πλεονασμού (cyclic redundancy check - CRC).

- Πλήρη συμβατότητα με την διασύνδεση τύπου SPI.
- Προγραμματιζόμενο πλάτος φίλτρου συχνοτήτων.
- Δυνατότητα λειτουργίας σε πολύ χαμηλή κατανάλωση (400 nA), κατάσταση SLEEP mode και γρήγορη επαναφορά (240 us) σε κατάσταση λήψης ή μετάδοσης (RX - TX state).
- Παροχή ένδειξης για την ισχύ του λαμβανόμενου σήματος (Received signal strength indicator - RSSI).

3.2 Φυσικό επίπεδο

Είναι σημαντικό να παραθέσουμε ορισμένα στοιχεία που αφορούν το φυσικό επίπεδο ζεύξης για τον πομποδέκτη CC2500 και να τα συγκρίνουμε, με τα αντίστοιχα στοιχεία του προτύπου 802.15.4, όπως ορίζονται στο [1]. Στα πλαίσια αυτής της εργασίας έγινε προσπάθεια να γίνει όσο το δυνατό μεγαλύτερη σύγκλιση, του δικτύου μας με το πρότυπο, ωστόσο μερικά σημεία του υλικού μας δεν μας παρέχουν την δυνατότητα αυτή και σε άλλα σημεία η εφαρμογή μας απαιτούσε άλλες ρυθμίσεις.

Στο [1] ορίζονται κάποια συγκεκριμένα χαρακτηριστικά του φυσικού επιπέδου για τις μπάντες συχνοτήτων. Στον πίνακα 1 γίνεται μια σύγκριση σε τεχνικά χαρακτηριστικά, για την μπάντα συχνοτήτων που χρησιμοποιεί το δικό μας WSN, σε σχέση με όσα ορίζονται στο πρότυπο.

Τα κύρια χαρακτηριστικά που προβλέπει το πρότυπο 802.15.4 για το φυσικό του επίπεδο (PHY) είναι:

- Δυνατότητα ενεργοποίησης και απενεργοποίησης του ραδιοφώνου.
- Ανίχνευση της ενέργειας του σήματος στο τρέχον κανάλι, ED (Energy Detection).

- Ακριβής έλεγχος του καναλιού για την αποφυγή συγκρούσεων σε ταυτόχρονη μετάδοση, CCA (Clear Channel Assessment).
- Δυνατότητα επιλογής συχνότητας.
- Δυνατότητα ελέγχου ορθότητας των πακέτων που λαμβάνονται και αποφυγή λαθών, CRC (cyclic redundancy check).
- Αποστολή και λήψη πληροφορίας.

Αυτές τις δυνατότητες και λειτουργίες καλύπτει και το δικό μας ραδιόφωνο. Ορίζονται ακόμη και τα χαρακτηριστικά της διαμόρφωσης και ρυθμού μετάδοσης, για συγκεκριμένες μπάντες συχνοτήτων. Το δικό μας ραδιόφωνο λειτουργεί γύρω από την συχνότητα 2.4GHz, οπότε θα εστιάσουμε εκεί. Βασική διαφορά είναι ότι το υλικό μας (ραδιόφωνο CC2500), δεν μας

	IEEE Std-802.15.4	iCubes
Band	2400-2483 (MHz)	2400-2483 (MHz)
Modulation	O-QPSK	OOK, 2-FSK, GFSK, MSK
Data Rate	62.5 kB/s	2.4 - 500 kB/s

Πίνακας 1: Χαρακτηριστικά Φυσικού Επιπέδου - (Physical Layer)

παρέχει την δυνατότητα να έχουμε διαμόρφωση τύπου O-QPSK, οπότε σε σχέση με τις υπόλοιπες επιλογές, θα έπρεπε να διαλέξουμε μια διαμόρφωση ή οποία να ταιριάζει στις εκάστοτε απαιτήσεις της εφαρμογής μας.

Στην τωρινή εφαρμογή του δικτύου αισθητήρων δεν απαιτείται υψηλός ρυθμός αποστολής, καθώς η πληροφορία είναι σποραδική και μικρή σε μέγεθος (16 bit για κάθε μέτρηση είναι αρκετά), αλλά μας ενδιαφέρει η κάλυψη μεγάλης απόστασης. Για αυτό το σκοπό χρειαζόμαστε εκείνες τις ρυθμίσεις του CC2500, για τις οποίες επιτυγχάνεται μέγιστη ευαισθησία και υψηλές αποστάσεις.

Για το CC2500 αυτές οι ρυθμίσεις είναι οι παρακάτω, όπως ορίζονται στο εγχειρίδιο του.

Parameter	Min	Typ	Max	Unit	Condition/Note
Digital channel filter bandwidth	58		812	kHz	User programmable. The bandwidth limits are proportional to crystal frequency (given values assume a 26.0 MHz crystal).
2.4 kBaud data rate, sensitivity optimized, MDMCFG2.DEM_DCFILT_OFF=0 (2-FSK, 1% packet error rate, 20 bytes packet length, 203 kHz digital channel filter bandwidth)					
Receiver sensitivity		-104		dBm	The RX current consumption can be reduced by approximately 1.7 mA by setting MDMCFG2.DEM_DCFILT_OFF=1. The typical sensitivity is then -102 dBm and the temperature range is from 0°C to +85°C. The sensitivity can be improved to typically -106 dBm with MDMCFG2.DEM_DCFILT_OFF=0 by programming registers TEST2 and TEST1 (see page 82). The temperature range is then from 0°C to +85°C.
Saturation		-13		dBm	
Adjacent channel rejection		23		dB	Desired channel 3 dB above the sensitivity limit. 250 kHz channel spacing
Alternate channel rejection		31		dB	Desired channel 3 dB above the sensitivity limit. 250 kHz channel spacing
					See Figure 22 for plot of selectivity versus frequency offset
Blocking				dBm	Wanted signal 3 dB above sensitivity level.
±10 MHz offset		64		dBm	Compliant with ETSI EN 300 440 class 2 receiver requirements.
±20 MHz offset		70		dBm	
±50 MHz offset		71		dBm	

Σχήμα 6: Απόσπασμα από τις πρότυπες ρυθμίσεις του CC2500 στο [3]

Επιλέχθηκε δηλαδή διαμόρφωση 2-FSK και ρυθμός μετάδοσης στα 2.4Kbps

4 Πρόσβαση στο Μέσο - CSMA/CA

4.1 Περιγραφή

Η πολλαπλή πρόσβαση στο μέσο (MAC - Medium Access Control) απαιτεί κάποιο πρωτόκολλο, έτσι ώστε να αποφεύγονται οι συγκρούσεις κόμβων που μεταδίδουν στην ίδια μπάντα συχνοτήτων. Στο πρότυπο 802.15.4 όπως ορίζεται στο [1], αυτός ο μηχανισμός είναι ο CSMA-CA (carrier sense multiple access - collision avoidance), όπου προτείνονται δύο εκδοχές του, μία για PANs με beacon-enabled δομή και μία για non-beaconed δίκτυα.

Ο μηχανισμός αυτός ανήκει στην κατηγορία listen-before-talk πρωτοκόλλων. Η λογική του αλγορίθμου στηρίζεται στην ικανότητα του κάθε κόμβου, να μπορεί να ακούει πιθανές μεταδόσεις που βρίσκονται σε εξέλιξη (CCA - clear channel assessment) όταν αυτός θέλει να μεταδώσει ένα πακέτο και να αναβάλει την προσπάθεια του, για τυχαία χρονικά διαστήματα (backoff slots), μέχρι να βρει κάποια στιγμή το κανάλι αδρανές, για να μεταδώσει το πακέτο του.

Το πρότυπο ορίζει δύο πιθανές επιλογές για την μορφή του CSMA-CA αλγορίθμου:

- Η εκδοχή με σχισμές (slotted CSMA-CA), η οποία χρησιμοποιείται όταν στο δίκτυο μας χρησιμοποιούνται beacons.
- Η εκδοχή χωρίς σχισμές (unslotted CSMA-CA), η οποία χρησιμοποιείται όταν στο δίκτυο δεν χρησιμοποιούνται beacons. Σε κάθε περίπτωση ο CSMA-CA αλγόριθμος υλοποιείται και στηρίζεται στη μονάδα χρόνου backoff period, όπου ορίζεται στο [1] να είναι ίση με μία σταθερά aUnitBackoffPeriod (20 περίοδοι συμβόλου).

Και στις δύο περιπτώσεις το CSMA-CA είναι τύπου non-persistent, δεν συνεχίζει δηλαδή την διαδικασία ελέγχου του καναλιού διαρκώς, μέχρι να το βρει κάποια στιγμή ελεύθερο, παρά αναμένει για περιόδους backoff slots όπως προαναφέρθηκε.

Τα PANs με beacons-enabled απαιτούν από το επίπεδο MAC, να υπάρχει στο δίκτυο μία σαφώς ορισμένη και σταθερή οριοθέτηση των χρονοθυρίδων (time slots), κοινή για όλους τους κόμβους του δικτύου, όπως αυτή που φαίνεται στο αντίστοιχο σχήμα 7. Την οποία θα

φροντίζει ένας κόμβος στο δίκτυο να συγχρονίζει και να κρατάει σταθερή (PAN - coordinator).

Τότε θα μπορεί να ορίζει μια δομή από περιόδους εκπομπής και μη-εκπομπής (superframe structure) για τους υπόλοιπους κόμβους, οι οποίοι συγχρονισμένοι θα πρέπει να τηρούν τα περιθώρια αυτά, να επιδιώκουν μεταδόσεις ή να παραμένουν αδρανείς μέσα σε αυτά τα όρια και οι σχισμές των backoff slots να βρίσκονται σε **πλήρη ευθυγράμμιση** με τις σχισμές των superframes.

Σε αντίθεση με αυτή την εκδοχή, όταν δεν χρησιμοποιούνται beacons και έχουμε την μορφή του unslotted-CSMA αλγορίθμου, τα backoff slots του κάθε κόμβου **δεν** συσχετίζονται στο χρόνο, με τα backoff slots των άλλων κόμβων του δικτύου.

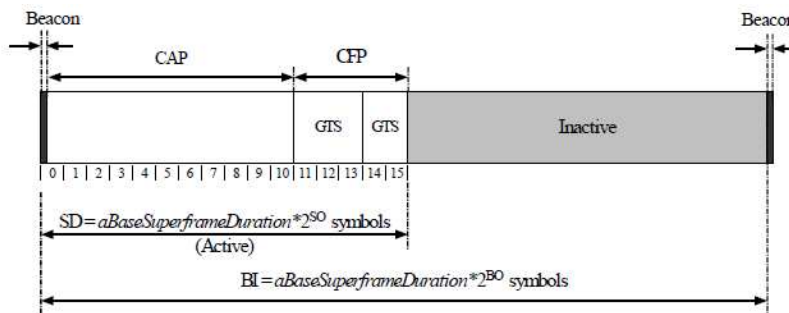


Figure 66—An example of the superframe structure

Σχήμα 7: Δομή ενός superframe όπως ορίζεται στο [1]

Στα πλαίσια αυτής της εργασίας αυτός ο συγχρονισμός δεν επιδιώχθηκε και για αυτό το λόγο χρησιμοποιήθηκε η εκδοχή του unslotted CSMA-CA αλγορίθμου, με βάση όσα ορίζονται από το πρότυπο, για μια απλούστερη λύση στο δίκτυο αισθητήρων του χωραφιού. Στον unslotted CSMA-CA αλγόριθμο, τα βήματα του οποίου αναλύονται στο παρακάτω σχήμα, για κάθε μετάδοση ενός πακέτου, κάθε κόμβος κρατάει δύο μεταβλητές, σε κάθε προσπάθεια μετάδοσης.

- NB: Είναι ο αριθμός των φορών που ο κόμβος αναγκάστηκε να αναβάλει την μετάδοση του.
- BE : Ο αριθμός του εκθέτη της εκθετικής υποχώρησης (exponential backoff) από τον

οποίο εξαρτάται και ο αριθμός των backoff σχισμών, που κάθε κόμβος θα περιμένει, εάν βρει το κανάλι απασχολημένο. Στην αρχή κάθε ξεχωριστής μετάδοσης πακέτου, αυτός ο αριθμός έχει την τιμή macMinBE (η οποία για το πρότυπο είναι ίση με 3 σαν default τιμή). Εάν δοθεί τιμή 0, σαν αρχική τιμή, για το BE, ουσιαστικά η αποφυγή σύγκρουσης ακυρώνεται, για την πρώτη επανάληψη του αλγορίθμου.

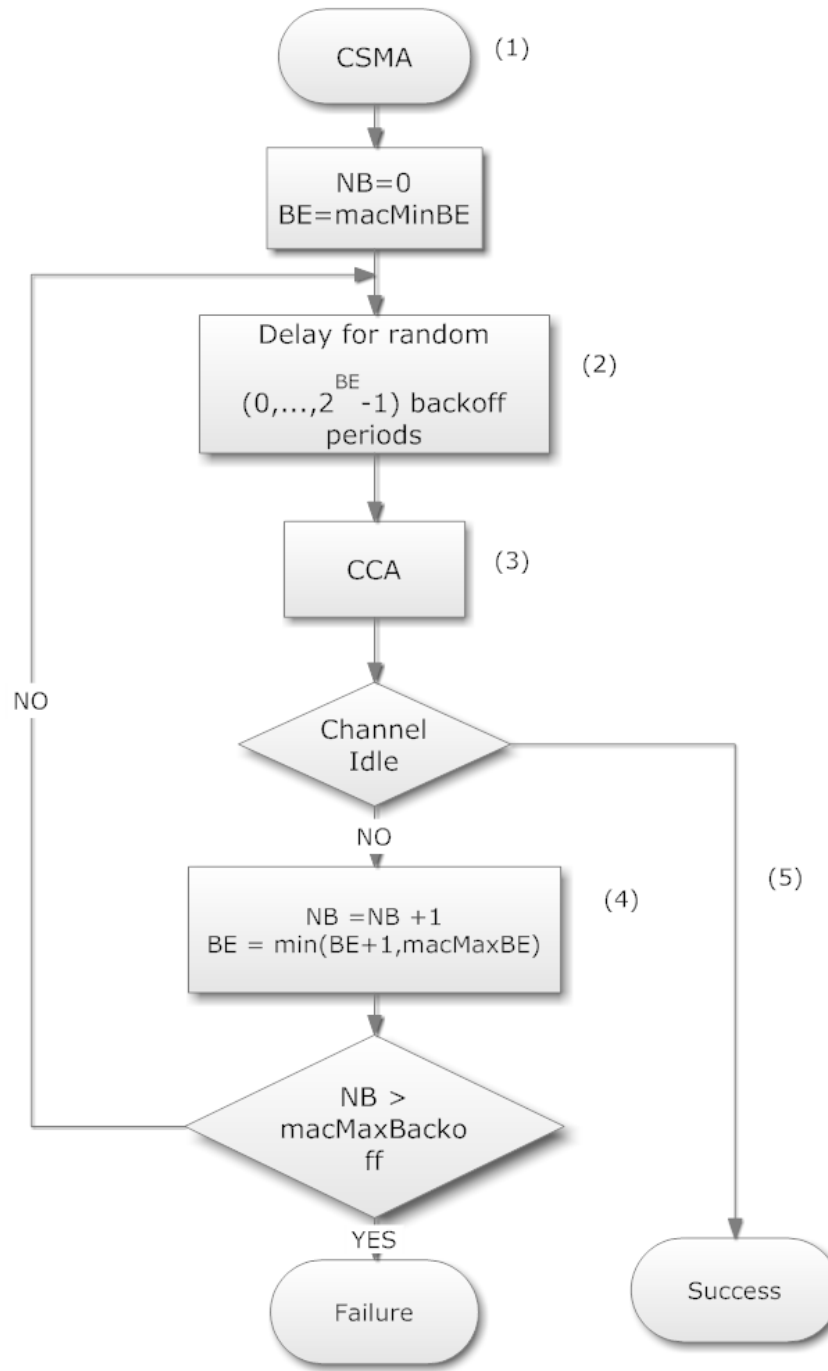
Αρχικά ο αλγόριθμος για το unslotted CSMA-CA αρχικοποιεί τις μεταβλητές NB και BE και προχωράει στο βήμα (2). Στο βήμα (2) ο αλγόριθμος υποχρεώνει τον κάθε κόμβο σε αναμονή για τυχαίο αριθμό backoff slots, τον οποίο αριθμό επιλέγει από ένα διάστημα ακέραιων τιμών ομοιόμορφα κατανεμημένων στο $[0, 2^{BE} - 1]$.

Στην συνέχεια προχωράει στο βήμα (3) όπου ζητάει από το φυσικό επίπεδο (PHY) να εφαρμόσει έλεγχο διαθεσιμότητας του καναλιού (CCA - clear channel assessment). Εάν το κανάλι κριθεί ως απασχολημένο, τότε το MAC επίπεδο αυξάνει τους αριθμούς NB και BE κατά 1 μονάδα, στο βήμα (4), τσεκάροντας κάθε φορά ότι το BE δεν θα ξεπεράσει την τιμή macMaxBE.

Εάν η τιμή NB ξεπεράσει την προγραμματισμένη τιμή macMaxCSMABackoffs, τότε ο αλγόριθμος τερματίζει και δηλώνει αποτυχία πρόσβασης στο μέσο. Εάν το κανάλι βρεθεί σε κατάσταση αδρανή, τότε ο κόμβος προχωρεί σε μετάδοση στο βήμα (5) και δηλώνει επιτυχία.

Όπως ορίζεται στο πρότυπο, η χρήση επιβεβαιώσεων (ACKs - acknowledgements) για τα πακέτα δεδομένων (data frames), είναι προαιρετική. Θα γίνεται από τον PAN - coordinator προς τους κόμβους και δεν θα χρησιμοποιεί τον αλγόριθμο CSMA-CA, για τον μηχανισμό πρόσβασης στο μέσο.

Στην υλοποίηση της εργασίας αυτής, συμπεριλαμβάνεται ο μηχανισμός των επιβεβαιώσεων (ACKs) για τα πακέτα δεδομένων, πάνω στην ίδια λογική, ότι δηλαδή κάθε επιβεβαιώση γίνεται έπειτα από την λήψη πακέτου, από τον παραλήπτη, κυρίως στην περίπτωση που αυτός είναι ο σταθμός βάσης, αντίστοιχος με τον PAN - coordinator του προτύπου δηλαδή. Το διάγραμμα που ακολουθεί δείχνει την ροή του αλγορίθμου.



Σχήμα 8: Δομή του unslotted CSMA-CA όπως ορίζεται στο [1]

Επίσης στα πλαίσια της εργασίας αυτής υλοποιήθηκε και η απαραίτητη λογική για την αποφυγή του προβλήματος των κρυμμένου κόμβου (hidden node problem). Στη περίπτωση

αυτού του προβλήματος ένας ή περισσότεροι κόμβοι, δεν μπορούν να ακούσουν τους γείτονες τους, λόγω απόστασης ή γενικότερα άλλων συνθηκών του περιβάλλοντος. Ως εκ τούτου κατά την περίοδο ελέγχου του καναλιού, αυτοί οι κόμβοι δεν μπορούν να ακούσουν ο ένας, τη μετάδοση του άλλου, οπότε θεωρούν λανθασμένα το κανάλι ελεύθερο.

Η λογική που ακολουθήθηκε είναι αυτή των RTS/CTS πακέτων για την αποφυγή τέτοιων συγκρούσεων και η χρήση των επιβεβαιώσεων. Δεν θα επεκταθούμε όμως στην ανάλυση τους παρακάτω, καθώς είναι προαιρετικές, όπως και το πρότυπο 802.15.4 ορίζει.

4.2 Θεωρητική Ανάλυση

4.2.1 Εισαγωγή - Παραδοχές

Η θεωρητική σκοπιά που περιγράφεται παρακάτω έχει παρουσιαστεί και αναλυθεί στο [2]. Αρχικά τονίζεται ότι ο αλγόριθμος του unslotted CSMA-CA πρωτοκόλλου, που υλοποιήθηκε(και βασίζεται στο 802.15.4), διαφέρει σημαντικά από άλλα αντίστοιχα πρότυπα, όπως αυτό του 802.11. Η βασική διαφορά είναι ότι στο 802.11, ο μετρητής της δυαδικής εκθετικής υποχώρησης μικραίνει, όσο το κανάλι βρίσκεται αδρανές και παγώνει κάθε φορά που βρίσκεται μία μετάδοση. Παρακολουθεί δηλαδή το κανάλι κάθε κόμβος συνεχώς. Στο 802.15.4 πρότυπο, ο κόμβος δεν παρακολουθεί συνεχώς το κανάλι, ταυτόχρονα δηλαδή με την περίοδο που υποχωρεί (backoff), παρά ελέγχει ξανά το κανάλι στο τέλος αυτής της περιόδου.

Το μαθηματικό μοντέλο στο [2], διαφέρει σε μεγάλο βαθμό από αντίστοιχα μοντέλα. Για την ανάλυση του, κάνει τις εξής βασικές παραδοχές:

- Στο δίκτυο υπάρχουν N κόμβοι όπου ο κάθε κόμβος μεταδίδει ένα πακέτο $D \times 10 \text{ bytes}$. Ο χρόνος που απαιτείται να αποσταλεί ένα τέτοιο πακέτο είναι $D \times d_b$ όπου $d_b = 1 \times \text{backoff period}$.
- Θεωρούνται ιδιαίτερες συνθήκες καναλιού: 'Όλοι οι κόμβοι «ακούνε» ο ένας τον άλλο, δεν υπάρχει δηλαδή πρόβλημα κρυφών κόμβων (hidden node problem). Συγκρούσεις μεταξύ κόμβων μπορεί να συμβούν στην περίπτωση που δύο ή περισσότεροι κόμβοι ζεκινήσουν ταυτόχρονα τον έλεγχο καναλιού προς διαθεσιμότητα καναλιού (CCA). Ε-

πίσης δεν θεωρείται ενεργοποιημένος, κάποιος μηχανισμός επιβεβαιώσεων (ACK) και αναμετάδοσης.

- Όλοι οι κόμβοι ζεχινούν τον αλγόριθμο πρόσβασης στο μέσο την ίδια στιγμή, όταν στέλνει ο κόμβος βάσης το σήμα, για την έναρξη αποστολής μετρήσεων (δεν υπάρχει δηλαδή μεταβλητότητα καθυστέρησης, στην διάδοση πακέτων και οι κόμβοι λαμβάνουν ταυτόχρονα την εντολή από τον κόμβο βάσης για την έναρξη της αποστολής). Επίσης κάθε κόμβος σε κάθε γύρο προσπαθεί να μεταδώσει, ένα πακέτο ακριβώς, όπως στις περισσότερες περιπτώσεις των WSN σεναρίων. Έτσι ο αριθμός των κόμβων που ανταγωνίζονται για την πρόσβαση στο μέσο, μειώνεται καθώς αυξάνεται ο χρόνος σε έναν γύρο.

Κάθε κόμβος, ο οποίος επιχειρεί πρόσβαση στο μέσο, σε κάθε γύρο, μπορεί να βρίσκεται σε τέσσερις πιθανές καταστάσεις: κατάσταση υποχώρησης (backoff), κατάσταση ελέγχου καναλιού (CCA), κατάσταση μετάδοσης (transmit) και κατάσταση αδράνειας (idle). Εάν μετά από την φάση του ελέγχου καναλιού (CCA), το κανάλι βρεθεί ελεύθερο τότε ο κόμβος προχωρά σε μετάδοση και στην συνέχεια παραμένει αδρανής ως το τέλος του γύρου. Οι στόχοι λοιπόν του θεωρητικού μοντέλου στο [2] είναι να μοντελοποιηθεί η κατάσταση του ελέγχου του καναλιού και της υποχώρησης (backoff).

Οι καταστάσεις αυτές μοντελοποιούνται από μία διαδικασία Q δύο διαστάσεων $Q(t) = \{BO_c(t), BO_s(t)\}$, όπου t είναι ακέραιος αριθμός που αναπαριστά τον χρόνο σε σχισμές. Μία σχισμή είναι ίση με μία backoff period. Έτσι τα $BO_c(t)$ και $BO_s(t)$ αναπαριστούν τον backoff μετρητή και το backoff επίπεδο (δηλαδή πόσες φορές έχει γίνει backoff) αντίστοιχα.

Και οι δύο είναι διακριτού-χρόνου στοχαστικές διαδικασίες, θεωρώντας διακριτές τιμές. Οπότε η διαδικασία Q είναι μια αλυσίδα. Δεν είναι όμως μία Markovian αλυσίδα, αφού η $BO_c(t)$ δεν είναι μία χωρίς μνήμη διαδικασία, αλλά η τιμή της εξαρτάται από πόσες φορές ο κόμβος, έχει προσπαθήσει να κάνει πρόσβαση στο κανάλι χωρίς επιτυχία.

Η αρχική τιμή του backoff μετρητή ($BO_c(0)$) είναι ομοιόμορφα κατανεμημένη, στο διάστημα $[0, W_{NB}-1]$, όπου $W_{NB} = 2^{BE}$ είναι το μέγεθος του παραθύρου ανταγωνισμού (contention

window) και NB $[0, NB_{max}]$. Η τιμή του BE εξαρτάται από την δεύτερη διαδικασία $BO_s(t)$.

Οπότε ορίζονται $NB_{max} + 1$ διαφορετικά στάδια υποχώρησης (backoff stages) παρατηρώντας τα διαφορετικά ζευγάρια τιμών (NB, BE). Το πρότυπο 802.15.4 όπως ορίζεται στο [1] ορίζει ότι οι βασικές τιμές των NB και BE θα αρχικοποιούνται στην αρχή του αλγορίθμου, σε $NB^0 = 0$ και $BE^0 = 3$ (αντιστοιχεί σε παράθυρο $W_0 = 8$). Κάθε φορά που το κανάλι βρίσκεται κατειλημμένο θα αυξάνονται αυτές οι δύο τιμές κατά μια μονάδα. Η περίπτωση $BO_s = 4$, είναι η τελευταία, στις βασικές ρυθμίσεις του 802.15.4.

Επειδή υπάρχει μία μέγιστη τιμή για το NB, υπάρχει και μια μέγιστη καθυστέρηση που μπορεί να έχει ένα πακέτο στη μετάδοση του. Αυτό το μέγιστο επιτυγχάνεται, στην περίπτωση που κάποιος κόμβος εξαντλήσει όλες τις προσπάθειες του, για πρόσβαση στο κανάλι και φτάσει το υψηλότερο backoff stage. Σε αυτή την περίπτωση, θα ισχύει ότι ο κόμβος θα βρίσκεται σε κατάσταση backoff για αριθμό $\sum_{k=0}^{NB_{max}} (W_k - 1)$ από slots και για αριθμό $NB + 1$ slots σε κατάσταση ελέγχου του καναλιού.

Έτσι η τελευταία σχισμή, που θα μπορεί μια μετάδοση να συμβεί, είναι η $t_{max} = \sum_{k=0}^{NB_{max}} W_k = 120$, και η τελευταία μετάδοση θα τελειώσει σε $(t_{max} + D - 1)$. Ο έλεγχος του καναλιού είναι όμως εφικτός, για το διάστημα χρόνου $[0, t_{max} - 1]$.

4.2.2 Μαθηματικό μοντέλο - Μέρος 1

Στα παρακάτω, όπως ορίζονται στο [2], θα ορίζεται η γενική κατάσταση της αλυσίδας ως $Q(t) = \{BO_c, BO_s, t\}$ και η πιθανότητα να βρίσκεται κάποιος κόμβος σε μια κατάσταση ως $P\{BO_c = c, BO_s = i, t = j\} = P\{c, i, j\}$.

Ορίζεται επίσης η πιθανότητα p_b^j ότι στην j-th slot το κανάλι βρέθηκε κατειλημμένο, έπειτα από τον έλεγχο. Το μοντέλο εξετάζει τις εξής πιθανότητες:

- Την πιθανότητα ένας κόμβος να λήξει την μετάδοση του πακέτου του σε ένα slot j, η οποία θα ορίζεται ως $P\{T^j\}, j \in [0, t_{max} + D - 1]$.
- Την πιθανότητα επιτυχούς μετάδοσης ενός πακέτου, δηλαδή την πιθανότητα επιτυχίας της μετάδοσης σε οποιαδήποτε σχισμή, για ένα γύρο προσπαθειών, η οποία θα ορίζεται

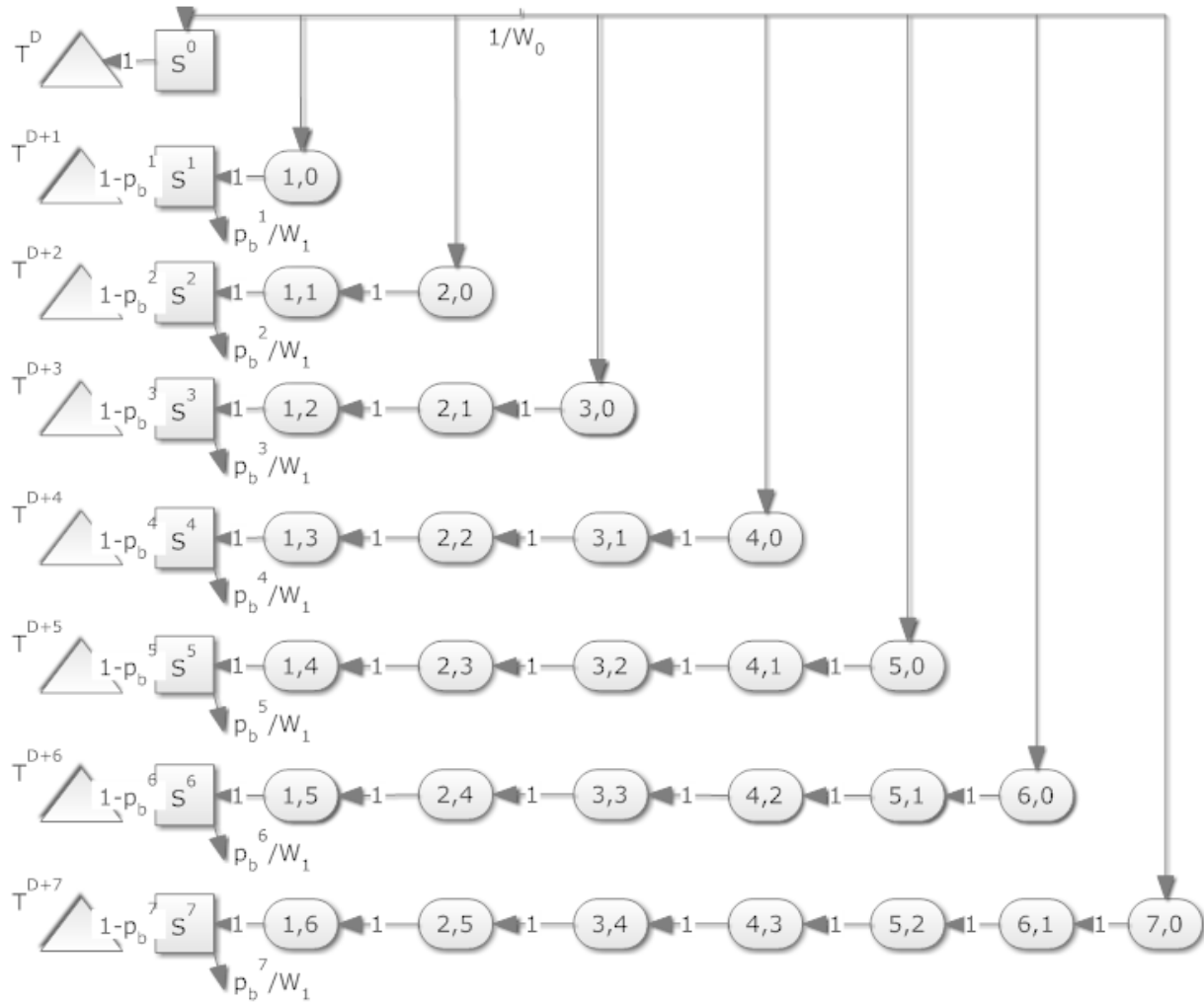
ως p_s .

- Την πιθανότητα ο κόμβος βάσης να λάβει την ουρά ενός πακέτου, προερχόμενη από οποιονδήποτε κόμβο, σε μια σχισμή j , η οποία θα ορίζεται ως $P\{R^j\}, j \in [0, t_{max} + D - 1]$.

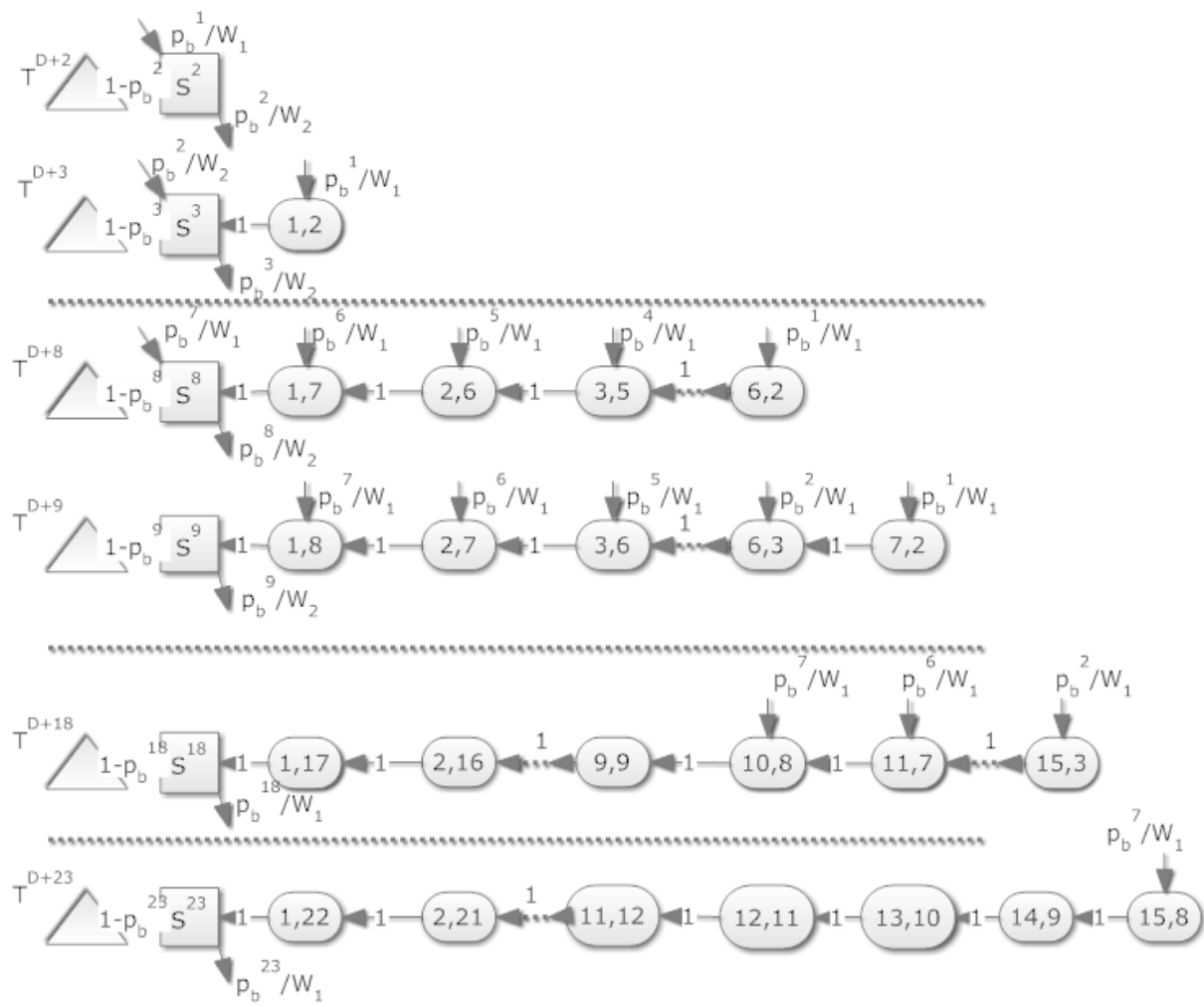
Η πιθανότητα $P\{T^j\}$ εξαρτάται από την πιθανότητα να ήταν κάποιος κόμβος την σχισμή $j - D$ σε κατάσταση ελέγχου-καναλιού (CCA). Γιατί ένα πακέτο όπως αναφέρθηκε καταλαμβάνει D σχισμές και ένας κόμβος που βρίσκεται το κανάλι ελεύθερο την σχισμή $j - D$, θα ολοκληρώσει την μετάδοση του την σχισμή j .

Η πιθανότητα να βρίσκεται ένας κόμβος σε κατάσταση ελέγχου του καναλιού, την σχισμή j στο στάδιο υποχώρησης $i(BOs = i)$, ορίζεται στο [2] ως $P\{S_i^j\} = P\{0, i, j\}$, για i και j . Από αυτές τις πιθανότητες υπολογίζεται και η πιθανότητα, να βρίσκεται ένα κόμβος στην κατάσταση ελέγχου του καναλιού την σχισμή j , η οποία ορίζεται $P\{C^j\}, j \in [0, t_{max} - 1]$ και η πιθανότητα $P\{T^j\}$. Οι πιθανότητες p_s και $P\{R^j\}$, εξαρτώνται από την πιθανότητα $P\{T^j\}$ και τέλος υπολογίζεται και η πιθανότητα p_b^j .

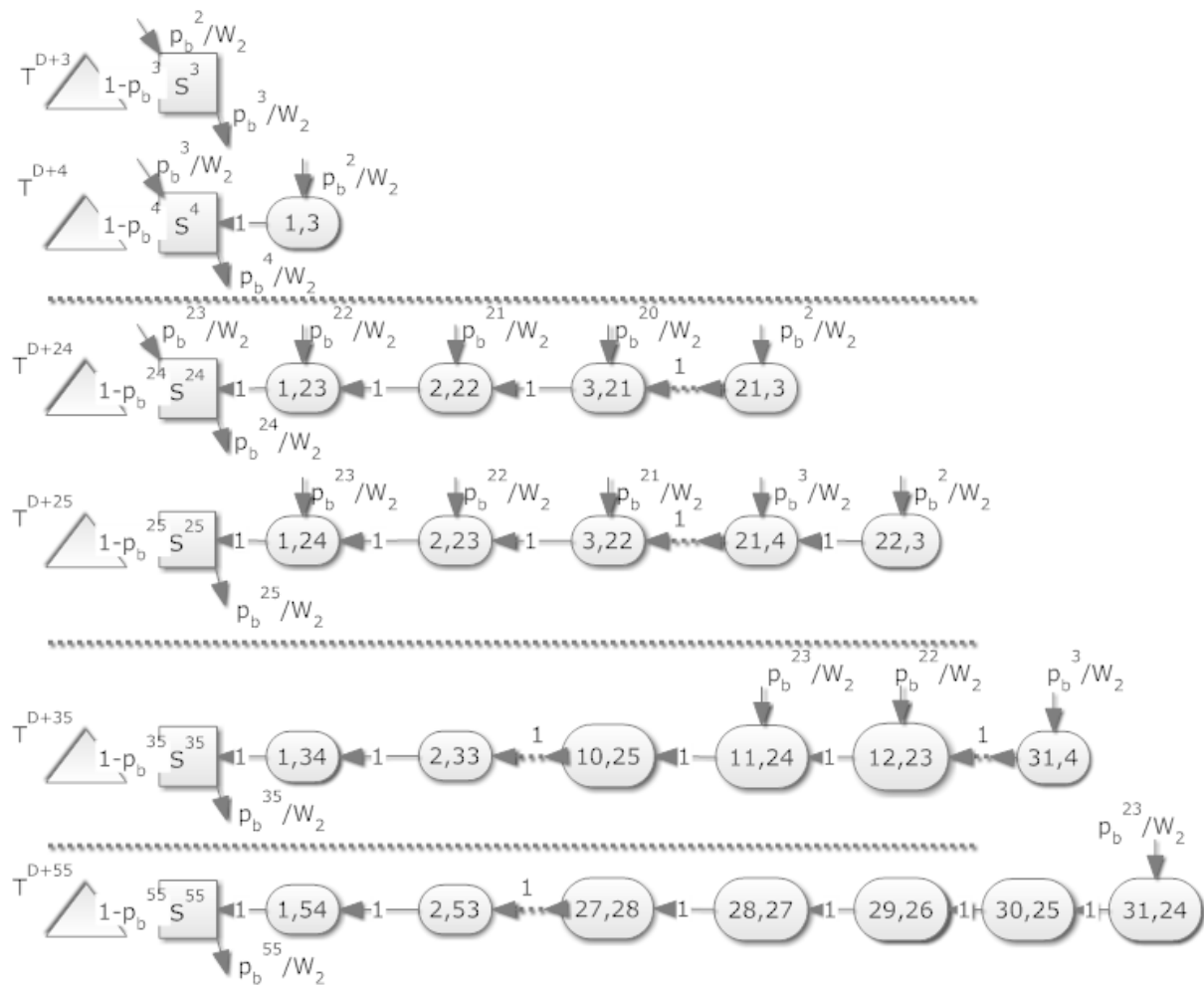
Το διάγραμμα μετάβασης καταστάσεων όπως αναφέρεται στο [2] φαίνεται παρακάτω στα σχήματα.



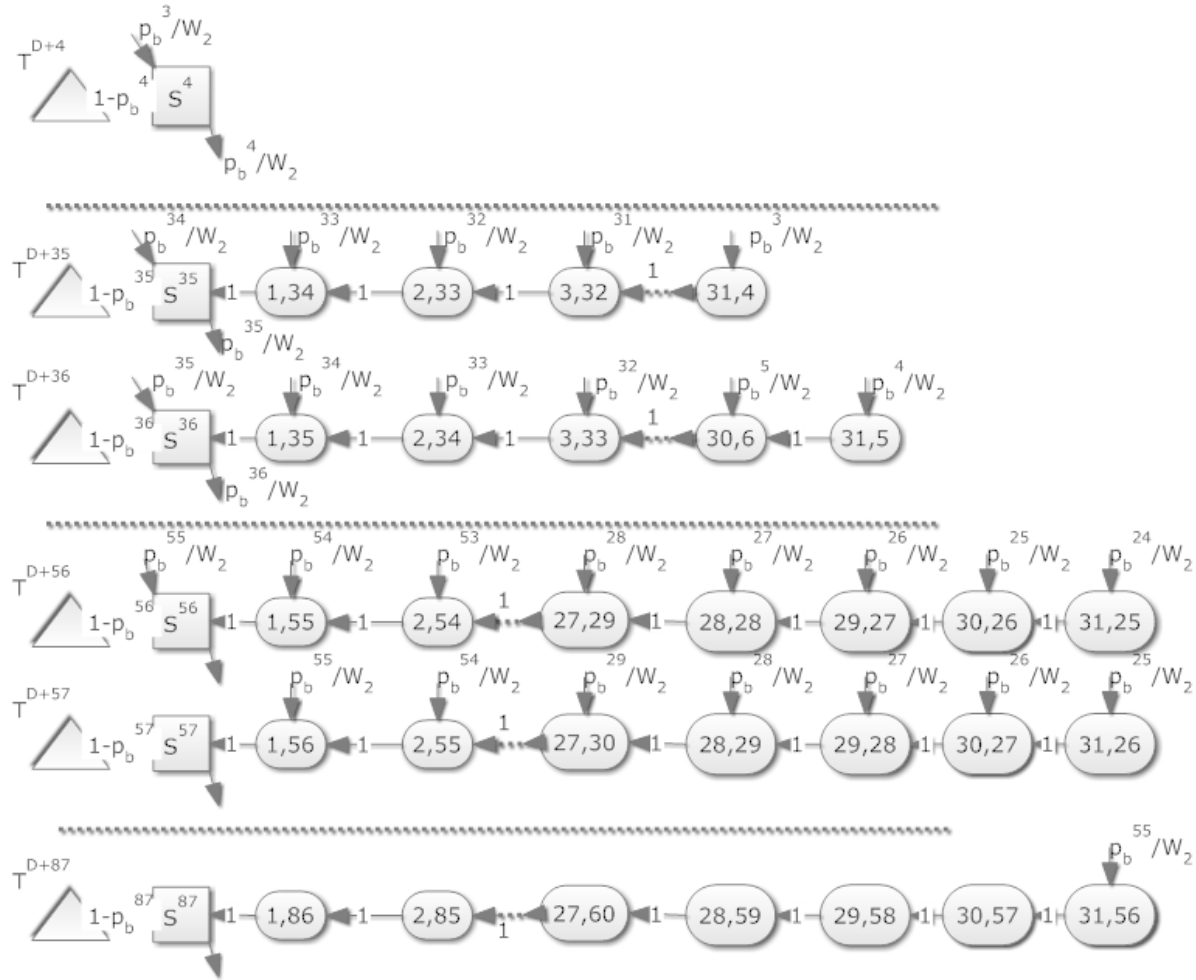
Σχήμα 9: Απόσπασμα από [2, Fig 2] για backoff stage 1



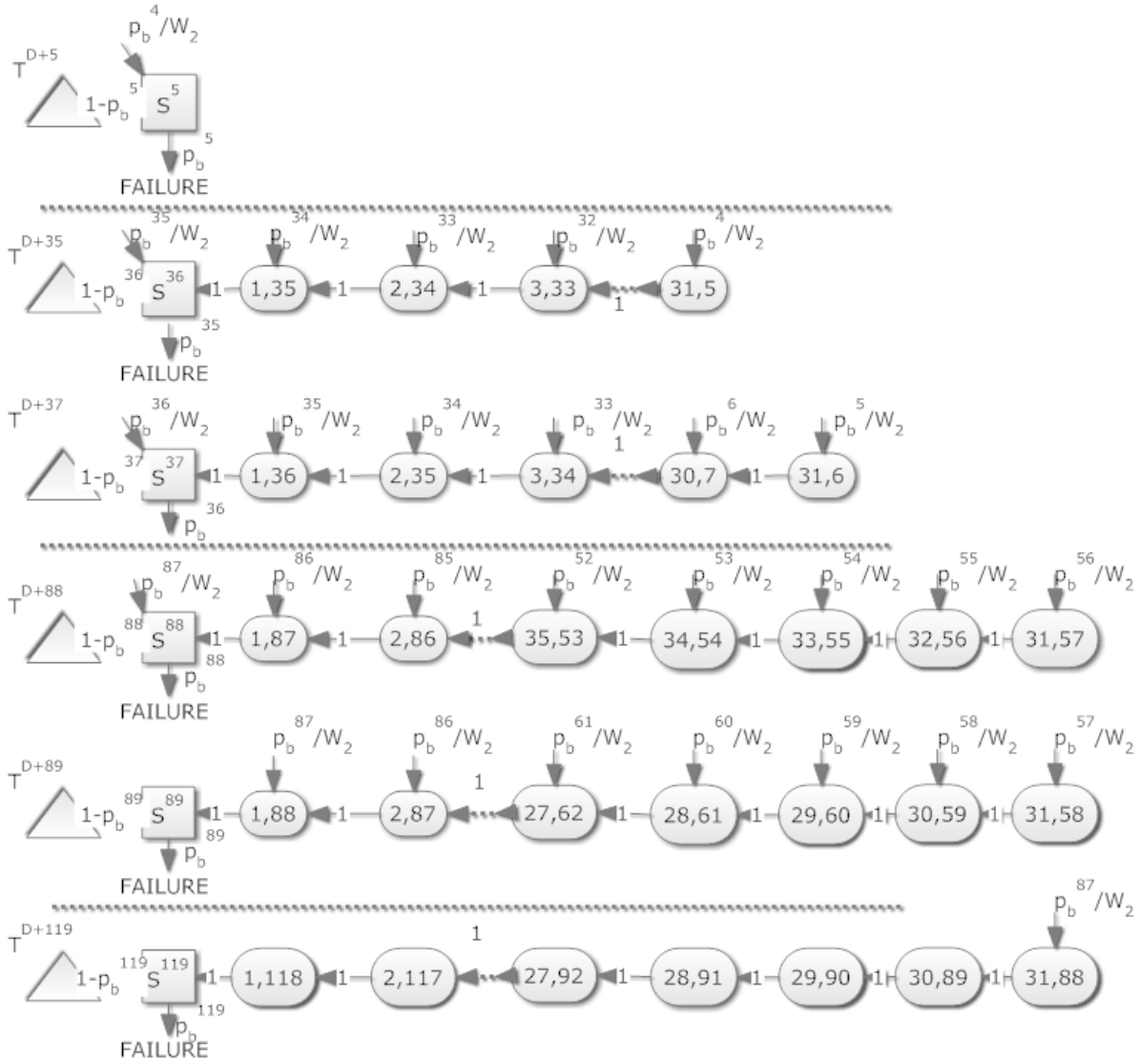
Σχήμα 10: Απόσπασμα από [2, Fig 3] για backoff stage 2



Σχήμα 11: Απόσπασμα από [2, Fig 4] για backoff stage 3



Σχήμα 12: Απόσπασμα από [2, Fig 5] για backoff stage 4



Σχήμα 13: Απόσπασμα από [2, Fig 6] για backoff stage 5

Από το διάγραμμα των καταστάσεων εξάγουμε τα εξής:

- **Πρώτο Στάδιο Υποχώρησης (First Backoff Stage):**

Στην αρχή κάθε κόμβου διαλέγει έναν αριθμό από ένα ομοιόμορφα κατανεμημένο σύνολο, στο διάστημα $\{0, W_0 - 1 = 7\}$. Στο χρόνο $t=0$, ένας κόμβος επιλέγει με πιθανότητα $1/W_0$, μια από τις καταστάσεις $\{c, 0, 0\}, c \in [0, 7]$. Εάν ο αριθμός επιλογής του είναι το 0, τότε ο κόμβος στην σχισμή 0, θα ελέγχει το κανάλι και στην σχισμή 1, θα μετα-

δώσει το πακέτο του. Αυτό γιατί δεν μπορεί να υπάρξει μετάδοση, στην πρώτη σχισμή ($P\{T^0 = 0\}$), και έτσι το κανάλι εκείνη τη σχισμή πάντα θα βρίσκεται αδρανές ($p_b^0 = 0$).

Σε περίπτωση που επιλέξει αριθμό μεγαλύτερο του 0 τότε, ο κόμβος θα μειώνει το μετρητή υποχώρησης σε κάθε backoff slot μέχρι την τιμή 0, όπου ο κόμβος θα κάνει έλεγχο του καναλιού. Μετά την περίοδο ελέγχου, ο κόμβος θα μεταδώσει αν το κανάλι βρέθηκε καθαρό αλλιώς θα περάσει στο επόμενο backoff stage, και μια άλλη τιμή από το διάστημα $\{0, W_1 - 1 = 15\}$ θα επιλεχθεί.

Ορίζοντας ως $P\{BO_c = c_1, BO_s = i_1, t = j_1 | BO_c = c_0, BO_s = i_0, t = j_0\} = P\{c_1, i_1, j_1 | c_0, i_0, j_0\}$ την πιθανότητα μεταβολής της κατάστασης μας από την $\{c_0, i_0, j_0\}$ κατάσταση, στην $\{c_1, i_1, j_1\}$, οι πιθανότητες μετάβασης είναι

$$P\{c, 0, j + 1 | c + 1, 0, j\} = 1 \quad (1)$$

για $c \in [0, W_0 - 2]$ και $j \in [0, W_0 - 2]$. Αυτή η σχέση δείχνει ότι, στην αρχή κάθε σχισμής, ο backoff counter, φθίνει κατά 1 μονάδα μέχρι να φτάσει το 0, με πιθανότητα 1. Οι πιθανότητες να βρίσκεται ένας κόμβος στην κατάσταση ελέγχου του καναλιού είναι:

$$P\{S_0^j\} = \begin{cases} \frac{1}{W_0}, & \text{για } j \in [0, W_0 - 1] \\ 0, & \text{για } j > W_0 - 1 \end{cases} \quad (2)$$

- **Δεύτερο Στάδιο Υποχώρησης (Second Backoff Stage):** Επειδή σε αυτό το στάδιο ένας κόμβος, δεν μπορεί να φτάσει πριν την σχισμή $t = 2$, γι' αυτό και στο διάγραμμα του σχήματος 10, δεν υπάρχουν τα S_1^0 και S_1^1 , όπως και τα T αντίστοιχα. Όπως και στην προηγούμενη περίπτωση, οι πιθανότητες μετάβασης δίνονται από την σχέση:

$$P\{c, 1, j + 1 | c + 1, 1, j\} = 1 \quad (3)$$

για $c \in [0, W_1 - 2]$ και $j \in [2, W_{0,1} - 2]$ όπου $W_{0,1} = W_0 + W_1$. Παρακάτω θα αναφέρεται το $W_{x,y,z}$, το οποίο ορίζεται έως το άθροισμα $W_x + W_y + W_z$. Οι πιθανότητες μετάβασης για τις καταστάσεις του πρώτου σταδίου ($BO_s = 0$) και του δεύτερου σταδίου

$(BO_s = 1)$ δίνονται από την σχέση:

$$P\{c, 1, j+1 | 0, 0, j\} = \frac{p_b^j}{W_1} \quad (4)$$

για $c \in [0, W_1 - 1]$ και $j \in [1, W_0 - 1]$. Αυτή η σχέση δείχνει ότι, στην περίπτωση που το κανάλι στη σχισμή j βρεθεί κατειλημμένο, ο κόμβος θα μεταβεί σε μία από τις καταστάσεις $\{c, 1, j+1\}$, με $c \in [0, W_1 - 1]$, με την ίδια πιθανότητα $1/W_1$. Οι πιθανότητες να βρίσκεται ο κόμβος σε κατάσταση ελέγχου του καναλιού είναι:

$$P\{S_1^j\} = \begin{cases} 0, & \text{για } j < 2 \\ \sum_{u=1}^{j-1} P\{S_0^u\} \cdot \frac{p_b^u}{W_1}, & \text{για } j \in [2, W_0] \\ P\{S_1^{W_0}\}, & \text{για } j \in [W_0 + 1, W_1 + 1] \\ P\{S_1^{W_0}\} - \sum_{u=1}^{j-W_1-1} P\{S_0^u\} \cdot \frac{p_b^u}{W_1}, & \text{για } j \in [W_1 + 2, W_{0,1} - 1] \\ 0, & \text{για } j > W_{0,1} - 1 \end{cases} \quad (5)$$

Η δεύτερη σχέση πηγάζει από το γεγονός ότι για $j <= W_0$, η πιθανότητα να βρίσκεται ένας κόμβος σε κατάσταση ελέγχου του καναλιού στο δεύτερο στάδιο υποχώρησης, εξαρτάται από τις πιθανότητες, να βρίσκεται σε κατάσταση ελέγχου του καναλιού στο πρώτο στάδιο και να έχει βρει το κανάλι κατειλημμένο.

Για παράδειγμα ένας κόμβος μπορεί να φτάσει στην κατάσταση S_1^3 , εάν ήταν στην κατάσταση S_0^1 , βρει το κανάλι κατειλημμένο και επιλέξει τυχαία την τιμή 1 για το δεύτερο στάδιο του backoff ή αν ήταν στο στην κατάσταση S_0^2 , βρήκε το κανάλι κατειλημμένο και επέλεξε τον αριθμό 0 για το δεύτερο στάδιο.

Η τρίτη σχέση οφείλεται στο γεγονός ότι για $j > W_0$, δεν υπάρχουν μεταβάσεις μεταξύ των σταδίων ($BO_s = 0$) και ($BO_s = 1$), επειδή η τελευταία σχισμή που μπορεί να ελέγχει το κανάλι ένας κόμβος, στο πρώτο στάδιο είναι η $j = W_0 - 1 = 7$. Τελικώς, όταν ισχύει $j = W_1 + 2 = 18$, η $P\{S_1^{18}\}$ υπολογίζεται αφαιρώντας από την πιθανότητα $P\{S_1^{W_0}\}$ την $P\{S_0^1\}(p_b^1/W_1)$.

Έτσι έχουμε ότι, $P\{S_1^{18}\} = \sum_{u=2}^{W_0-1} P\{S_0^u\} \cdot (p_b^u/W_1)$. Εάν ένας κόμβος είναι στην κατάσταση S_0^1 τότε μεταβαίνει σε καταστάσεις $\{c, 1, 2\}$ με $c \in [0, 15]$. Γι' αυτό και στο σχήμα 10, η κατάσταση $\{16, 1, 2\}$ δεν υπάρχει. Η τελευταία κατάσταση ελέγχου

καναλιού που μπορεί να βρεθεί ένας κόμβος σε αυτό το στάδιο είναι η S_1^{23} , το οποίο σημαίνει ότι το δεύτερο στάδιο θα έχει ολοκληρωθεί από κάποιο κόμβο μέχρι τη σχισμή $j = 24$.

- **Τρίτο Στάδιο Υποχώρησης (Third Backoff Stage):** Ακολουθώντας την ίδια λογική όπως στα παραπάνω, έχουμε ότι οι πιθανότητες μετάβασης δίνονται από την σχέση:

$$P\{c, 2, j+1 | c+1, 2, j\} = 1 \quad (6)$$

για $c \in [0, W_2 - 2]$ και $j \in [3, W_{0,1,2} - 2]$. Οι πιθανότητες μετάβασης καταστάσεων του δεύτερου σταδίου ($BO_s = 1$) και του τρίτου ($BO_s = 2$) δίνονται από την σχέση:

$$P\{c, 2, j+1 | 0, 1, j\} = \frac{p_b^j}{W_2} \quad (7)$$

για $c \in [0, W_2 - 1]$ και $j \in [2, W_{0,1} - 1]$. Οι πιθανότητες να βρίσκεται κόμβος σε κατάσταση ελέγχου του καναλιού είναι:

$$P\{S_2^j\} = \begin{cases} 0, & \text{για } j < 3 \\ \sum_{u=2}^{j-1} P\{S_1^u\} \cdot \frac{p_b^u}{W_2}, & \text{για } j \in [3, W_{0,1}] \\ P\{S_2^{W_{0,1}}\}, & \text{για } j \in [W_{0,1} + 1, W_2 + 2] \\ P\{S_2^{W_{0,1}}\} - \sum_{u=2}^{j-W_2-1} P\{S_1^u\} \cdot \frac{p_b^u}{W_2}, & \text{για } j \in [W_2 + 3, W_{0,1,2} - 1] \\ 0, & \text{για } j > W_{0,1,2} - 1 \end{cases} \quad (8)$$

- **Τέταρτο Στάδιο Υποχώρησης (Fourth Backoff Stage):** Ακολουθώντας την ίδια λογική όπως στα παραπάνω, έχουμε ότι οι πιθανότητες μετάβασης δίνονται από την σχέση:

$$P\{c, 3, j+1 | c+1, 3, j\} = 1 \quad (9)$$

για $c \in [0, W_2 - 2]$ και $j \in [4, W_{0,1,2,3} - 2]$. Οι πιθανότητες μετάβασης καταστάσεων του τρίτου σταδίου ($BO_s = 2$) και του τέταρτου ($BO_s = 3$) δίνονται από την σχέση:

$$P\{c, 3, j+1 | 0, 2, j\} = \frac{p_b^j}{W_2} \quad (10)$$

για $c \in [0, W_2 - 1]$ και $j \in [3, W_{0,1,2} - 1]$. Οι πιθανότητες να βρίσκεται κόμβος σε κατάσταση ελέγχου του καναλιού είναι:

$$P\{S_3^j\} = \begin{cases} 0, & \text{για } j < 4 \\ \sum_{u=3}^{j-1} P\{S_2^u\} \cdot \frac{p_b^u}{W_2}, & \text{για } j \in [4, W_2 + 3] \\ \sum_{u=3}^{j-1} P\{S_2^u\} \cdot \frac{p_b^u}{W_2} - \sum_{u=3}^{j-W_2-1} P\{S_2^u\} \cdot \frac{p_b^u}{W_2}, & \text{για } j \in [W_2 + 4, W_{0,1,2}] \\ P\{S_3^{W_{0,1,2}}\} - \sum_{u=W_{0,1}}^{j-W_2-1} P\{S_2^u\} \cdot \frac{p_b^u}{W_2}, & \text{για } j \in [W_{0,1,2} + 1, W_{0,1,2,3} - 1] \\ 0, & \text{για } j > W_{0,1,2,3} - 1 \end{cases} \quad (11)$$

- **Πέμπτο Στάδιο Υποχώρησης (Fifth Backoff Stage):** Ακολουθώντας την ίδια λογική όπως στα παραπάνω, έχουμε ότι οι πιθανότητες μετάβασης δίνονται από την σχέση:

$$P\{c, 4, j+1 | c+1, 4, j\} = 1 \quad (12)$$

για $c \in [0, W_2 - 2]$ και $j \in [5, W_{0,1,2,3,4} - 2]$. Οι πιθανότητες μετάβασης καταστάσεων του τρίτου σταδίου ($BO_s = 3$) και του τέταρτου ($BO_s = 4$) δίνονται από την σχέση:

$$P\{c, 4, j+1 | 0, 3, j\} = \frac{p_b^j}{W_2} \quad (13)$$

για $c \in [0, W_2 - 1]$ και $j \in [4, W_{0,1,2,3} - 1]$. Οι πιθανότητες να βρίσκεται κόμβος σε κατάσταση ελέγχου του καναλιού είναι:

$$P\{S_4^j\} = \begin{cases} 0, & \text{για } j < 5 \\ \sum_{u=4}^{j-1} P\{S_3^u\} \cdot \frac{p_b^u}{W_2}, & \text{για } j \in [5, W_2 + 4] \\ \sum_{u=4}^{j-1} P\{S_3^u\} \cdot \frac{p_b^u}{W_2} - \sum_{u=4}^{j-W_2-1} P\{S_3^u\} \cdot \frac{p_b^u}{W_2}, & \text{για } j \in [W_2 + 5, W_{0,1,2,3}] \\ P\{S_4^{W_{0,1,2,3}}\} - \sum_{u=W_{0,1,2}}^{j-W_2-1} P\{S_3^u\} \cdot \frac{p_b^u}{W_2}, & \text{για } j \in [W_{0,1,2,3} + 1, W_{0,1,2,3,4} - 1] \\ 0, & \text{για } j > W_{0,1,2,3,4} - 1 \end{cases} \quad (14)$$

4.2.3 Μαθηματικό μοντέλο - Μέρος 2

Ο σκοπός όπως προαναφέρθηκε είναι να εκτιμηθεί η πιθανότητα ένας κόμβος να βρεθεί να ολοκληρώνει την μετάδοση του σε μία σχισμή j , με $P\{T^j\}$, με $j \in [0, t_{max} + D - 1]$. Κάθε

κόμβος τελειώνει την μετάδοση του στη σχισμή j , εάν στη σχισμή $j - D$ βρει το κανάλι ελεύθερο. Οπότε η πιθανότητα αυτή δίνεται από την σχέση:

$$P\{T^j\} = P\{C^{j-D}\} \cdot (1 - p_b^{j-D}) \quad (15)$$

Επειδή η μετάδοση κρατάει D slots, συνδέουμε την πιθανότητα $P\{T^j\}$ με την σχισμή στην οποία τελειώνει η μετάδοση, άρα για $j < D$, $P\{T^j\} = 0$. Η πιθανότητα λοιπόν να βρίσκεται ο κόμβος σε κατάσταση ελέγχου του καναλιού, για διάφορες σχισμές j είναι:

$$P\{C^j\} = \begin{cases} P\{S_0^0\}, & \text{για } j = 0 \\ P\{S_0^1\}, & \text{για } j = 1 \\ \sum_{i=0}^{j-1} P\{S_i^j\}, & \text{για } j = (2, \dots, 4) \\ \sum_{i=0}^{NB_{max}} P\{S_i^j\}, & \text{για } j = (5, \dots, W_0 - 1) \\ \sum_{i=1}^{NB_{max}} P\{S_i^j\}, & \text{για } j = (W_0, \dots, W_{0,1} - 1) \\ \sum_{i=2}^{NB_{max}} P\{S_i^j\}, & \text{για } j = (W_{0,1}, \dots, W_{0,1,2} - 1) \\ \sum_{i=3}^{NB_{max}} P\{S_i^j\}, & \text{για } j = (W_{0,1,2}, \dots, W_{0,1,2,3} - 1) \\ P\{S_4^j\}, & \text{για } j = (W_{0,1,2,3}, \dots, W_{0,1,2,3,4} - 1) \end{cases} \quad (16)$$

Οι πρώτες δύο εξισώσεις προέρχονται από το γεγονός ότι, στις σχισμές 0 και 1, ένας κόμβος μπορεί να βρίσκεται μόνο στο πρώτο στάδιο υποχώρησης (backoff stage). Εάν βρίσκεται στη σχισμή 2, τότε μπορεί να ελέγχει το κανάλι είτε στο πρώτο στάδιο, είτε στο δεύτερο και ομοίως για μεγαλύτερα slots.

Από την σχισμή $j=8$ και μετά ένας κόμβος δεν μπορεί να είναι στο πρώτο στάδιο πλέον, οπότε στο άθροισμα στην παραπάνω τα όρια ξεκινούν στο $i=1$, ομοίως και για υψηλότερες σχισμές ισχύει η ίδια λογική και στα υπόλοιπα αθροίσματα. Για σχισμές από την $W_{0,1,2,3} = 88$ και μέχρι την τελευταία $W_{0,1,2,3,4} = 119$, ένας κόμβος μπορεί να βρίσκεται σε κατάσταση ελέγχου του καναλιού στο τελευταίο στάδιο μόνο.

Για να εκτιμηθούν και οι υπόλοιπες πιθανότητες που ζητούνται από το μοντέλο ως πρέπει να οριστεί ο αριθμός N_c^j . Το N_c^j είναι ο αριθμός των κόμβων οι οποίοι δεν έχουν μεταδώσει ακόμη στο τέλος της σχισμής $j - 1$, και ως ανταγωνιστούν στη σχισμή j . Πιο συγκεκριμένα στο slot 0, ο αριθμός των κόμβων που ανταγωνίζονται για το κανάλι είναι ίσος με N και επειδή

κανείς δεν μπορεί να μεταδώσει στο αρχικό slot $j=0$, $PT^0 = 0$ και N_c^1 είναι ίσο με N επίσης. Ενώ στην σχισμή 1, κάποιοι κόμβοι μπορεί να ολοκληρώσουν την μετάδοση τους ο καθένας με πιθανότητα $P\{T^1\}$ και στο τέλος της σχισμής, ο αριθμός των κόμβων που δεν θα έχουν ακόμη καταφέρει να μεταδώσουν N_c^2 , εξαρτάται από την πιθανότητα $P\{T^1\}$ και μπορεί να είναι μικρότερος από N .

Στην περίπτωση λοιπόν που $D = 1$, η πιθανότητα κ κόμβοι από τους \hat{N} την σχισμή j να μην έχουν ακόμη μεταδώσει, υπό την προϋπόθεση ότι στη σχισμή $j-1$, \hat{N} κόμβοι ανταγωνίζονται για το κανάλι ($N_c^{j-1} = \hat{N}$), είναι ίση με:

$$\begin{aligned} P\{N_c^j = k | N_c^{j-1} = \hat{N}\} \\ = B^j(k, \hat{N}) \\ = \binom{\hat{N}}{k} (1 - p_b^{j-2}) (P\{C^{j-2}\})^{\hat{N}-k} \\ \cdot \prod_{i=0}^{NB_{max}} (1 - P\{S_i^{j-2}\})^k \end{aligned}$$

όπου $(1 - p_b^{j-2}) (P\{C^{j-2}\})^{\hat{N}-k}$ είναι η πιθανότητα $\hat{N} - k$ κόμβοι να μεταδώσουν την σχισμή j και $\prod_{i=0}^{NB_{max}} (1 - P\{S_i^{j-2}\})^k$ είναι η πιθανότητα οι υπόλοιποι k κόμβοι που απομένουν να μην μεταδώσουν, αφού δεν ελέγχουν το κανάλι στη σχισμή $j - 2$.

Όπως αναφέρεται στο παράρτημα του [2] ο αριθμός N_c^{j-1} , είναι μια τυχαία μεταβλητή, με κατανομή διωνυμική, όπου εξαρτάται από τις τιμές $P\{T^l\}$ με $l \in (1, \dots, j - 2)$. Αυξάνοντας τον αρχικό αριθμό των κόμβων στο δίκτυο N_c^0 και τον αριθμό των σχισμών j , η πολυπλοκότητα αυξάνεται για τον υπολογισμό του αριθμού αυτού. Εισάγεται λοιπόν η προσέγγιση ότι, η μεταβλητή N_c^{j-1} δεν μοντελοποιείται σαν μια τυχαία μεταβλητή, αλλά ορίζεται σαν μία μεταβλητή k για την οποία, μεγιστοποιείται η πιθανότητα $B^{j-1}(k, \hat{N})$.

$$P\{N_c^{j-1}\} = \underset{k}{\operatorname{argmax}} B^{j-1}(k, \hat{N}) \quad (17)$$

Η μοντελοποίηση για τιμές του N_c^j στην περίπτωση που το $D > 1$ είναι ακόμη πιο σύνθετες. Αλλά όσο το D μεγαλώνει και τα πακέτα διαρκούν περισσότερο να μεταδοθούν στο κανάλι, το N_c^j θα μικραίνει με χαμηλό ρυθμό κατά την διάρκεια του χρόνου. Μπορεί λοιπόν να παρθεί η τιμή $N_c^j = N$, για οποιαδήποτε σχισμή j , για $D > 1$.

Τώρα μπορεί να οριστεί και η πιθανότητα p_s , επιτυχούς μετάδοσης ενός πακέτου στο κανάλι, η οποία δίνεται από τον τύπο:

$$p_s = \sum_{j=0}^{t_{max}+D-1} P\{Z^j\} \quad (18)$$

όπου $P\{Z^j\}$ είναι η πιθανότητα μια επιτυχή μετάδοση να τελειώσει στην σχισμή j , το οποίο σημαίνει ότι μία και μόνο μία μετάδοση αρχίζει την σχισμή $j - D + 1$. Επειδή θεωρείται ότι δεν υπάρχει περίπτωση hidden node και όλοι οι κόμβοι ακούνε τις μεταδόσεις των άλλων, εάν ένας μόνο κόμβος μεταδώσει την σχισμή $j - D + 1$ ο κόμβος βάσης θα λάβει σωστά το πακέτο του. Από τον νόμο της ολικής πιθανότητας έχουμε ότι:

$$\begin{aligned} P\{Z^j\} &= P\{1 \text{ tx in } (j - D + 1) \mid \text{channel free in } (j - D)\} \\ &\quad \cdot P\{\text{channel free in } (j - D)\} \\ &+ P\{1 \text{ tx in } (j - D + 1) \mid \text{channel busy in } (j - D)\} \\ &\quad \cdot P\{\text{channel busy in } (j - D)\} \end{aligned} \quad (19)$$

Όπου $P\{1 \text{ tx in } (j - D + 1) \mid \text{channel free in } (j - D)\}$ και $P\{1 \text{ tx in } (j - D + 1) \mid \text{channel busy in } (j - D)\}$ είναι οι πιθανότητες που μία και μόνο μία μετάδοση ξεκινά την σχισμή $j - D + 1$ δεδομένου ότι το κανάλι την σχισμή $j - D$ είναι ελεύθερο ή κατειλημένο αντίστοιχα.

Επειδή μόνο μία μετάδοση, ξεκινά τη σχισμή $j - D + 1$, αν ένας μόνο κόμβος από τους N_c^{j-D} , ελέγχει το κανάλι τη σχισμή $j - D$ και αν δεν ξεκινήσουν μεταδόσεις τη σχισμή $j - D + 1$, εάν το κανάλι την σχισμή $j - D$ είναι κατειλημένο, τότε η πιθανότητα $P\{Z^j\}$ δίνεται από τον τύπο:

$$\begin{aligned} P\{Z^j\} &= (1 - p_b^{j-D}) P\{C^{j-D}\} \\ &\quad \cdot \prod_{i=0}^{NB_{max}} (1 - P\{S_i^{j-D}\})^{N_c^{j-D}-1} \end{aligned} \quad (20)$$

Όπου η $P\{C^{j-D}\}$ πιθανότητα είναι η πιθανότητα ένας κόμβος να ελέγχει το κανάλι τη σχισμή $j - D$, και $\prod_{i=0}^{NB_{max}} (1 - P\{S_i^{j-D}\})^{N_c^{j-D}-1}$ είναι η πιθανότητα οι υπόλοιποι $N_c^{j-D} - 1$ κόμβοι να μην ελέγχουν το κανάλι τη σχισμή $j - D$.

Τελικώς η πιθανότητα PR^j ο κόμβος βάσης να λάβει την ουρά ενός πακέτου, από οποιονδήποτε κόμβο, την j σχισμή, δίνεται από τον τύπο:

$$P\{R^j\} = N_c^j \cdot P\{Z^j\} \quad (21)$$

Τέλος ορίζοντας ως p_f^j την πιθανότητα ότι το κανάλι είναι ελεύθερο την σχισμή j, μπορούμε να ορίσουμε επίσης την πιθανότητα

$$p_b^j = 1 - p_f^j \quad (22)$$

Από τον νόμο της ολικής πιθανότητας, εκφράζουμε το p_f^j ως:

$$\begin{aligned} p_f^j &= P\{\text{no tx in } j \mid \text{channel free in } (j-1)\} \\ &\quad \cdot P\{\text{channel free in } (j-1)\} \\ &+ P\{\text{no tx in } j \mid \text{channel busy in } (j-1)\} \\ &\quad \cdot P\{\text{channel busy in } (j-1)\} \end{aligned} \quad (23)$$

Όπου $P\{\text{no tx in } j \mid \text{channel free in } (j-1)\}$ και $P\{\text{no tx in } j \mid \text{channel busy in } (j-1)\}$ είναι οι πιθανότητες να μην συμβούν μεταδόσεις στην σχισμή j, δεδομένου ότι το κανάλι στη σχισμή j-1 είναι ελεύθερη ή κατειλημμένη, αντίστοιχα.

Όταν $D = 1$, $P\{\text{no tx in } j \mid \text{channel free in } (j-1)\} = \prod_{i=0}^{NB_{max}} (1 - P\{S_k^{j-1}\})^{N_c^{j-1}-1}$, επειδή όταν το κανάλι στη σχισμή $j-1$ είναι ελεύθερο, καμία μετάδοση δεν συμβαίνει τη σχισμή j, εάν κανείς κόμβος δεν ελέγχει το κανάλι τη σχισμή j-1.

Αντίθετα όταν, το κανάλι τη σχισμή $j-1$ είναι κατειλημμένο, καμία μετάδοση δεν θα συμβεί τη σχισμή j. Άρα σε αυτή την περίπτωση η πιθανότητα p_f^j δίνεται από τον τύπο:

$$p_f^j = (1 - p_b^{j-1}) \prod_{i=0}^{NB_{max}} (1 - P\{S_i^{j-1}\})^{N_c^{j-1}-1} + p_b^{j-1} \quad (24)$$

Όταν, $D > 1$ ο δεύτερος όρος της εξίσωσης (23) συμπίπτει με την πιθανότητα ότι στη σχισμή $j-1$, μία μετάδοση τελειώνει, δηλαδή είναι η πιθανότητα ότι τουλάχιστον μία μετάδοση ξεκινά τη σχισμή $j-D$, η οποία δίνεται από τον τύπο: $(1 - p_b^{j-D-1}) \cdot [1 - \prod_{k=0}^{NB_{max}} ((1 - P\{S_k^{j-D-1}\})^{N_c^{j-D-1}-1}]$

Σε αυτή την περίπτωση η πιθανότητα p_f^j , δίνεται από τον τύπο:

$$p_f^j = (1 - p_b^{j-1}) \prod_{i=0}^{NB_{max}} (1 - P\{S_i^{j-1}\})^{N_c^{j-1}-1} + (1 - p_b^{j-D-1}) \cdot \left[1 - \prod_{k=0}^{NB_{max}} (1 - P\{S_i^{j-D-1}\})^{N_c^{j-D-1}-1} \right] \quad (25)$$

Όταν $j \leq D$ τότε το δεύτερο κομμάτι της σχέσης (25) γίνεται 0.

5 Υλοποίηση - Εφαρμογή

5.1 Περιγραφή

Η εφαρμογή μας απαιτεί την δικτύωση αισθητήρων ενός χωραφιού, για αυτό το σκοπό δόθηκε έμφαση ώστε το πρωτόκολλο να προσαρμοστεί, στα πλαίσια των ρυθμίσεων του ραδιοφώνου μας και του υλικού μας γενικότερα, ώστε να καλύπτονται δύο βασικοί στόχοι:

- Να καλύπτει η μετάδοση μας την μέγιστη δυνατή απόσταση. Θέλουμε μια χαμηλή σε κόστος λύση, δηλαδή με λίγους κόμβους να καλύψουμε μεγάλη εδαφική περιοχή. Γι' αυτό το σκοπό ρυθμίσαμε το ραδιόφωνο σε χαμηλό data rate. Αυτό δεν συμβαδίζει με το πρότυπο 802.15.4, όμως η ρύθμιση αυτή, ήταν αναγκαία.
- Οι κόμβοι μας, αν και αποτελούμενοι, από χαμηλής κατανάλωσης ενέργειας υλικό, θα πρέπει να μπορούν να είναι ενεργειακά αυτόνομοι, για μεγάλα χρονικά διαστήματα, καθώς η τοποθέτηση και η αλλαγή τους μέσα στο χωράφι, θα θέλαμε να μην γίνεται συχνά.

Στα πλαίσια αυτά έγινε χρήση όλων των δυνατοτήτων του ραδιοφώνου CC2500, έτσι ώστε να επιτευχθούν οι στόχοι μας. Οι σημαντικότερες ρυθμίσεις, που χρησιμοποιήθηκαν για το ραδιόφωνο, και τον μικροελεγκτή ήταν η εξής:

- **Wake-On-Radio:** Έγιναν οι απαραίτητες ρυθμίσεις, έτσι όπως περιγράφονται και στο σημείωμα [5] στο ραδιόφωνο, έτσι ώστε το τελευταίο να λειτουργεί τον περισσότερο χρόνο σε πολύ χαμηλή κατανάλωση, όπως θα δούμε και στη συνέχεια.
- **Idle Mode - MCU:** Εκτός του ραδιοφώνου και ο μικροελεγκτής θα λειτουργεί σε κατάσταση χαμηλής κατανάλωσης. Θα δούμε στην συνέχεια ότι αυτός θα λειτουργεί μόνο όταν πρέπει.
- **CRC - LQI:** Χρησιμοποιήθηκε κάθε δυνατότητα ελέγχου των πακέτων, αφού πρέπει να εγγυάται η ακρίβεια στην λήψη των πακέτων, όπως ορίζει και το πρότυπο 802.15.4 και απαιτεί και η εφαρμογή μας.

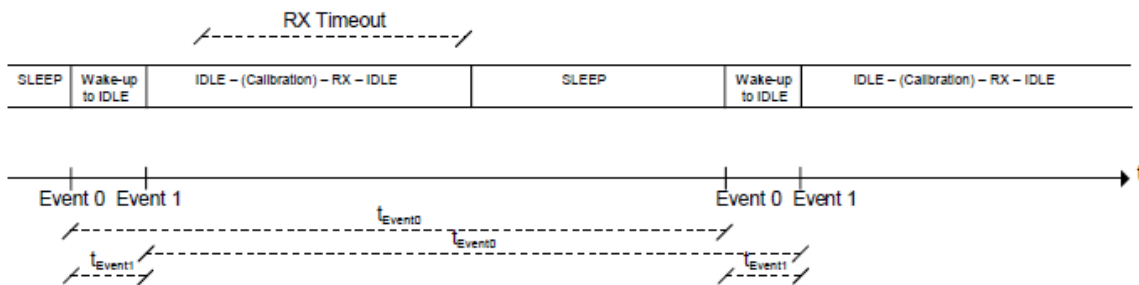
- **Sync Word detection:** Άλλο ένα μέσο διασφάλισης της ορθότητας, για την λήψη των πακέτων το οποίο όπως θα δούμε ήταν και σημαντική παράμετρος του Wake-On-Radio σεναρίου αφύπνισης.

5.2 Χαμηλή Κατανάλωση (Wake-On-Radio)

Όπως προαναφέρθηκε, ίσως από τα σημαντικότερα ζητήματα στον τομέα των ασύρματων δικτύων αισθητήρων, είναι η χαμηλή κατανάλωση και η ενεργειακή αυτονομία των κόμβων του δικτύου. Γι' αυτόν το σκοπό έπρεπε να εφαρμοστεί, η λειτουργία Wake-on-Radio(WOR) του ραδιοφώνου.

Σε αυτήν την λειτουργία, το ραδιόφωνο μπορεί να βρίσκεται στην κατάσταση SLEEP και ανά καθορισμένο χρονικό διάστημα Event0, να μεταβαίνει από κατάσταση SLEEP, σε IDLE (κάνοντας και ένα calibration του ταλαντωτή συχνοτήτων του) και τέλος σε κατάσταση λήψης RX. Να ελέγχει το κανάλι (Rx polling) για καθορισμένο διάστημα (RX Timeout), και αν βρίσκει σήμα στο κανάλι ή αναγνωρίσει πακέτο τότε να πράττει ανάλογα (συνήθως παραμένει σε κατάσταση RX, έως ότου λάβει το πακέτο). Εάν δεν ανιχνεύσει σήμα στο κανάλι, έπειτα από χρόνο (RX Timeout), τότε το ραδιόφωνο μεταβαίνει ξανά σε κατάσταση SLEEP. Και αυτή η διαδικασία επαναλαμβάνεται.

Τα παραπάνω διαστήματα φαίνονται αναλυτικά στο σχήμα 14 από το [5].



Σχήμα 14: Απόσπασμα από [5] για Wake-On-Radio Events

Σύμφωνα με τους κατασκευαστές το ραδιόφωνο στην κατάσταση SLEEP και όταν είναι ενεργοποιημένο σωστά το WOR, έχει πολύ χαμηλή κατανάλωση ρεύματος, ίση με 900 nA.

Θα ορίσουμε μια βασική έννοια για εφαρμογές σε WSNs, η οποία ονομάζεται εποχή (**epoch**). Μία εποχή ορίζεται, στα πλαίσια αυτής της εργασίας, ως το χρονικό διάστημα κατά το οποίο αφυπνίζονται οι κόμβοι από τον σταθμό βάσης, εκτελούν τα καθήκοντα τους (παίρνουν μετρήσεις κτλ) και κάνουν πρόσβαση στο μέσο, ώστε να στείλουν την πληροφορία τους στο σταθμό βάσης.

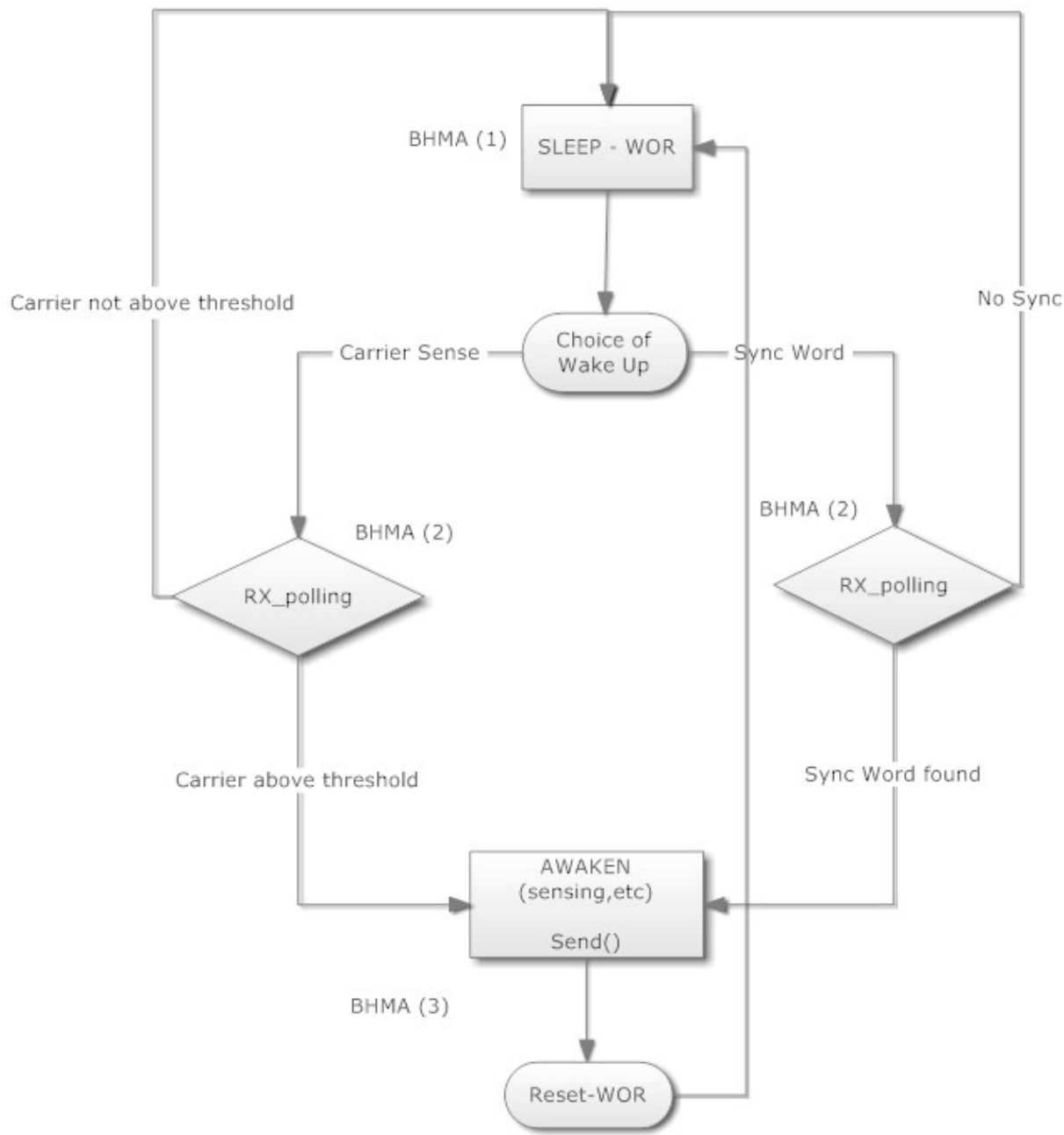
Η λογική του αλγορίθμου για το WOR σενάριο λοιπόν, στην εφαρμογή μας, για το WSN μας, είναι η εξής:

- **Βήμα 1:** Κάθε κόμβος πριν την αρχή μιας περιόδου μετρήσεων, θα βρίσκεται σε κατάσταση WOR ραδιοφώνου και θα περιμένει την αφύπνιση του από τον κόμβο βάσης, ελέγχοντας το κανάλι, όπως είναι προγραμματισμένο ανάλογα με τις περιόδους του WOR. Θα έχει επίσης τον μικροελεγκτή του σε κατάσταση (Idle Mode), για ακόμη μικρότερη κατανάλωση. Ο μικροελεγκτής C8051F320 όταν μπει σε αυτή την κατάσταση χαμηλής κατανάλωσης, μπορεί να παραμένει σε αυτήν όσο δεν του έρχονται αιτήσεις διακοπών interrupts. Αυτό όπως θα δούμε επηρεάζει το επόμενο βήμα.
- **Βήμα 2:** Κάθε κόμβος θα πρέπει να μπορεί να επανέρχεται σε κανονική λειτουργία, όταν έρθει η περίοδος των μετρήσεων και να αποστέλλει την πληροφορία που απαιτείται, στον σταθμό βάσης σύμφωνα με το πρωτόκολλο που έχουμε προαναφέρει. Η περίοδος των μετρήσεων είναι αρκετά σποραδική (όπως συνήθως σε εφαρμογές WSN με low-power χαρακτηριστικά) και ο μικροελεγκτής μας μπορεί να παραμένει σε κατάσταση χαμηλής λειτουργίας όσο δεν έχει αιτήσεις διακοπών interrupts.

Επειδή οι εσωτερικοί μετρητές του μικροελεγκτή C8051F320, κάθε φορά που υπερχειλίζουν προκαλούν μία διακοπή σε αυτόν, και επειδή είναι στην καλύτερη περίπτωση 16 bit θα μας προκαλούσαν αρκετές διακοπές (interrupts), κατά την διάρκεια του (Idle Mode) και θα μας έβγαζαν από αυτή την κατάσταση. Κάτι το οποίο φεύγει από τα πλαίσια της χαμηλής κατανάλωσης. Άρα καταλήγουμε ότι οι κόμβοι και ο μικροελεγκτής τους, θα πρέπει να αφυπνίζονται και να συντονίζονται, από τον κόμβο βάσης όταν έρχεται η περίοδος μετρήσεων. Θα δούμε στη συνέχεια τους τρόπους με τους οποίους θα γίνει αυτό.

- **Βήμα 3:** Σε αυτό το βήμα οι κόμβοι έχουν ενεργοποιηθεί από τον σταθμό βάσης και πράττουν αναλόγως με τις απαιτήσεις της εφαρμογής (συνήθως παίρνουν μετρήσεις) και στέλνουν τα αποτελέσματα τους, προς τον σταθμό, κάνοντας πρόσβαση στο μέσο σύμφωνα με τον αλγόριθμο CSMA/CA, όπως ορίστηκε προηγουμένως. Στο τέλος της διαδικασίας αυτής πρέπει να ξαναμπούν σε κατάσταση WOR (Reset WOR) του ραδιοφώνου, να βάλουν τον μικροελεγκτή τους σε κατάσταση (Idle Mode) και να μπουν ξανά στο βήμα 1.

Ακολουθεί το διάγραμμα που φαίνονται οι καταστάσεις του αλγορίθμου.



Σχήμα 15: Αλγόριθμος για Wake-On-Radio εφαρμογή

Ο τρόπος με τον οποίο θα ξυπνήσει ένας κόμβος είναι επίσης σημαντικός. Γενικότερα ο μικροελεγκτής όταν βρίσκεται σε κατάσταση (Idle Mode), έχει σταματήσει την ροή του κώδικα στο σημείο που καλέστηκε η αντίστοιχη `halSleep()` συνάρτηση και περιμένει μόνο μία εξωτερική διακοπή, ώστε να συνεχίσει την λειτουργία του, από εκείνο το σημείο.

Η εφαρμογή μας λοιπόν σε αυτό το σημείο θα πρέπει να τον ξυπνήσει όταν έρθει η κατάληξη στιγμή με κάποιο σήμα στον αέρα, από τον σταθμό βάσης (αφού το ραδιόφωνο λειτουργεί σε WOR και ελέγχει το κανάλι περιοδικά).

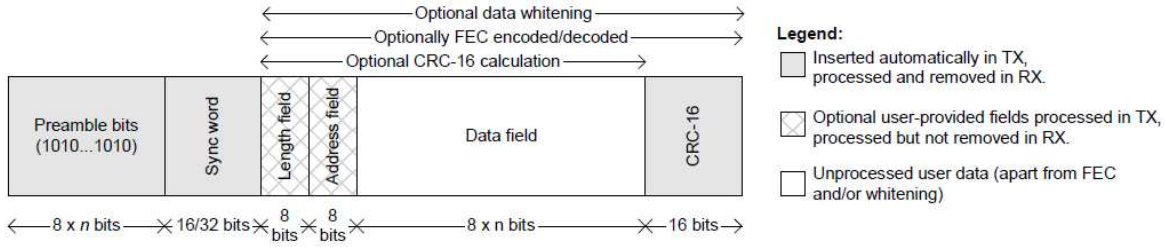
Παρακάτω βρίσκονται πιθανές επιλογές που μπορούν να χρησιμοποιηθούν και τα χαρακτηριστικά τους:

- **Αφύπνιση με σήμα καναλιού (Carrier Sense):** Όπως προαναφέρθηκε το ραδιόφωνο δίνει την δυνατότητα έτσι ώστε να λαμβάνεται η ισχύς του σήματος του καναλιού (RSSI) και να μπορούμε να γνωρίζουμε πότε υπάρχει κάποιο σήμα στον αέρα (Carrier Sense). Αυτές ακριβώς οι λειτουργίες χρησιμοποιούνται και στην υλοποίηση του CSMA για τον CCA έλεγχο.

Συνεπώς σε μία απλή υλοποίηση, ο σταθμός βάσης στέλνει κάποια πακέτα, όταν πρέπει να ξυπνήσουν οι κόμβοι και επειδή η ισχύς του σήματος στο κανάλι θα αλλάξει, οι κόμβοι θα δουν την αλλαγή, κατά τον έλεγχο τους και αν υπερβαίνει ένα προγραμματιζόμενο όριο (carrier threshold) θα ξυπνήσουν.

Αυτό το μοντέλο προϋποθέτει την σωστή ρύθμιση του (carrier threshold), το οποίο προφανώς αλλάζει από περιβάλλον σε περιβάλλον, είναι ευαίσθητο σε μεταβολές και σε τυχόν παρεμβολές και το κυριότερο είναι ότι, μπορεί να εντείνει τις διακυμάνσεις στις στιγμές, τις οποίες οι κόμβοι ξυπνάνε. Έως και να ασυγχρονίσει σε μεγάλο βαθμό την περίοδο αφύπνισης του δικτύου (μπορεί δηλαδή ένας κόμβος να ξυπνήσει λόγω ισχυρότερου σήματος, κοντινού ή άλλου κόμβου και όχι από τον σταθμό βάσης).

- **Αφύπνιση με λήψη πακέτου (Sync Word detection):** Το ραδιόφωνο παρέχει την δυνατότητα να υπάρχει πρόθεμα στο πακέτο μας (μορφή πακέτου στο σχήμα 16), κατά την αποστολή του, έτσι ώστε να υπάρχει ένα πρώτο ποιοτικό μέτρο σύγκρισης και περιορισμού των λαθών. Πακέτα με λανθασμένη την λέξη συγχρονισμού (sync word) δεν θα γίνονται δεκτά και θα απορρίπτονται. Μπορεί λοιπόν να χρησιμοποιηθεί η λογική, ότι για να ξυπνήσει ένας κόμβος θα πρέπει να λάβει ένα σωστό πακέτο, από τον σταθμό βάσης την ώρα που εξετάζει το κανάλι.



Σχήμα 16: Απόσπασμα από το [3] - Μορφή ενός πακέτου

Αυτό όπως θα δούμε προϋποθέτει μία συγκεκριμένη λειτουργία κατά την περίοδο αφύπνισης από τον σταθμό βάσης, η οποία με την σειρά της προϋποθέτει από τον σταθμό να έχει αυτονομία ενέργειας, λύνει όμως το πρόβλημα ότι μπορεί να ξυπνήσουν οι κόμβοι, όταν δεν πρέπει και εισάγει μια μορφή συγχρονισμού στο σύστημα μας. Αυτή ήταν και η τελική μας επιλογή για την εφαρμογή μας. Τα σημεία που μας περιορίζει αυτή η επιλογή, καθώς και η τακτική της αφύπνισης με πακέτα αναλύονται παρακάτω.

Μία sync word στο ραδιόφωνο CC2500 μπορεί να επιλεχθεί με μέγεθος μεταξύ 16-32 bit. Αυτό σημαίνει ότι όταν χρησιμοποιείται, η ρύθμιση για τον τερματισμό της κατάστασης λήψης RX, όπως στην περίπτωση του WOR. Θα πρέπει η ρύθμιση του (RX Timeout) να είναι τέτοια ώστε να μπορεί να ληφθεί μία ολόκληρη sync word. Άλλιώς κανένα πακέτο δεν προλαβαίνει να ληφθεί και στην περίπτωση της αφύπνισης του WOR σεναρίου, κανέίς κόμβος δεν θα αφυπνίζεται.

Θα πρέπει λοιπόν να ισχύει ότι:

$$t_{\text{RX_timeout}} \geq t_{\text{sync_detect}} = \frac{(N_{\text{sync word bits}} + N_{\text{preamble bits}})}{T X_{\text{rate}}} \quad (26)$$

αι ακόμη καλύτερα θα πρέπει να ισχύει: $t_{\text{RX_timeout}} = 2 \times t_{\text{sync_detect}}$, για μεγαλύτερη πιθανότητα αφύπνισης. Ο χρόνος (RX Timeout) δυστυχώς δεν ορίζεται απευθείας σαν τιμή, αλλά ως ποσοστό % του χρόνου Event0. Ουσιαστικά, το ποσοστό αυτό αναπαριστά και το duty cycle του WOR, αφού μόνο σε αυτό το ποσοστό του χρόνου θα καταναλώνει ρεύμα το ραδιόφωνο, λόγω της κατάστασης λήψης, τον υπόλοιπο χρόνο θα παραμένει σε χαμηλή

κατανάλωση. Οι επιλογές του ποσοστού αυτού είναι συγκεκριμένες και ενδέχεται λοιπόν να πρέπει να οριστεί μεγαλύτερο RX Timeout από το θεμιτό.

Αποτελεί το RX Timeout δηλαδή ένα tradeoff ανάμεσα στην επιτυχία του αλγορίθμου αφύπνισης και της κατανάλωσης ενέργειας. Καθώς όσο το ραδιόφωνο βρίσκεται σε κατάσταση RX καταναλώνει από 14.5mA - 17mA, στα 2.4 KBaud.

Η τιμή που ορίζει το Event0, βρίσκεται σε δυο καταχωρητές μεγέθους ενός byte, του ραδιοφώνου, των WOREVT1 και WOREVT0. Μαζί μπορούν να δώσουν μέγιστη τιμή 65535.

Ο χρόνος αυτός δίνεται από την σχέση:

$$t_{\text{Event0}} = \frac{750}{f_{XOSC}} \cdot EVENT0 \cdot 2^{5 \cdot WOR_{RES}} \quad (27)$$

όπου f_{XOSC} είναι το ρολόι του ραδιοφώνου (26MHz) και WOR_{RES} ένα εκθετικό για την παραγωγή αρκετά μεγάλης περιόδου t_{Event0} . Βάζοντας το μέγιστο δυνατό EVENT0 και για $WOR_{RES} = 0$ έχουμε ότι $t_{\text{Event0}} = 1,89\text{sec}$. Βρίσκουμε στην συνέχεια, το ελάχιστο ποσοστό χρόνου, για το RX Timeout που μπορούμε να επιτύχουμε, από τις επιλογές του ραδιοφώνου, έτσι ώστε να ισχύει η σχέση(26).

Με προσεγγιστικούς υπολογισμούς για $t_{\text{Event0}} = 1,89\text{ sec}$ και ποσοστό RX Timeout = 3,125 % $t_{\text{Event0}} = 59\text{ msec}$, υπολογίζουμε οτι με μπαταρίες τύπου AA (2000 mAh), υπάρχει αυτοδυναμία των κόμβων για 82 ημέρες. Ενώ εάν οι κόμβοι π.χ άκουγαν συνεχώς το κανάλι, χωρίς το WOR σενάριο, θα είχαν αυτοδυναμία για 4 ημέρες.

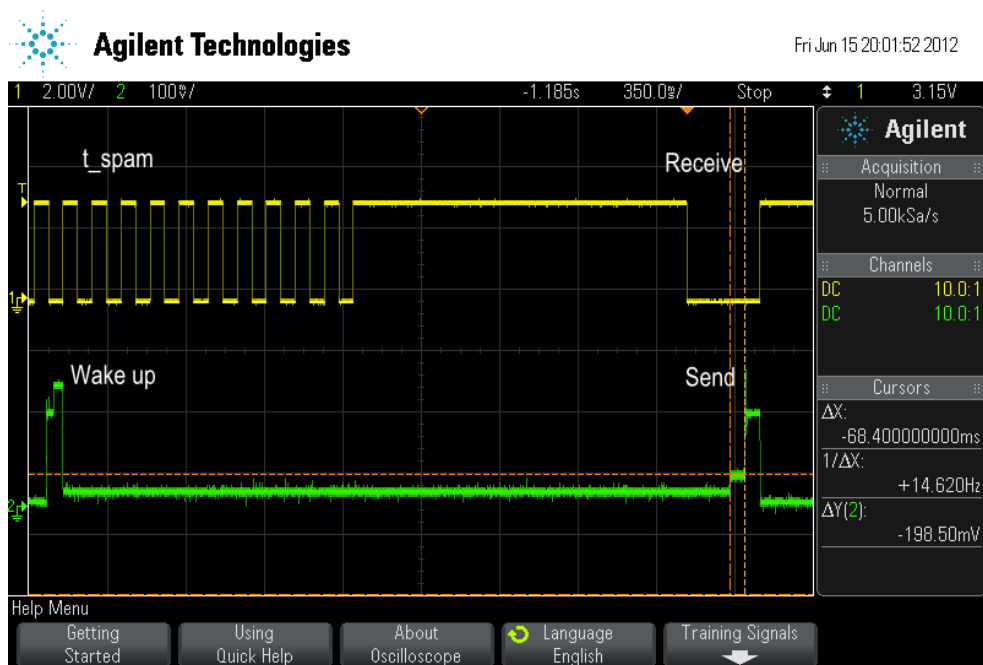
Για την διαδικασία αφύπνισης με πακέτα, σε κάθε εποχή (epoch). Θα γίνονται τα εξής:

- **Ο Σταθμός Βάσης** (Base Station) στέλνει συνεχώς πακέτα για χρόνο $t_{spam} \geq t_{\text{Event0}}$. Κατά προτίμηση $t_{spam} = 2 \times t_{\text{Event0}}$. Αυτό αποτελεί και tradeoff μεταξύ κατανάλωσης ενέργειας και επιτυχίας της αφύπνισης, καθώς όπως περιγράφεται παρακάτω οι κόμβοι που έχουν αφυπνιστεί, αναμένουν κάποιο χρόνο για να ξεκινήσουν να μεταδίδουν. Κατά τη διάρκεια αυτού του χρόνου δεν έχουν το ραδιόφωνο τους σε κατάσταση SLEEP.
- **Ο κάθε κόμβος** (Node) που αφυπνίζεται μέσα στο t_{spam} διάστημα, περιμένει για διάστημα t_{spam} , πριν προσπαθήσει να μεταδώσει. Αυτό γίνεται ώστε να αποφευχθεί,

να προσπαθήσει κάποιος κόμβος να μεταδώσει, ενώ ακόμη στέλνει πακέτα αφύπνισης ο κόμβος βάσης. Η χειρότερη περίπτωση προφανώς είναι να ξυπνήσει κάποιος κόμβος στην αρχή ακριβώς της περιόδου t_{spam} , με το πρώτο πακέτο του σταθμού βάσης.

Όταν ένας κόμβος λάβει επιτυχώς ένα πακέτο, προκαλείται διακοπή στον μικροελεγκτή οπότε ξυπνάει και ελέγχει, εάν ήταν πακέτο του σταθμού βάσης. Εάν ήταν προχωράει στην εκτέλεση των καθηκόντων του, ενώ αν δεν ξύπνησε από τέτοιο πακέτο ξανά κοιμάται. Έτσι αποφεύγουμε το φαινόμενο να ξυπνήσει κάποιος κόμβος από αποστολή άλλου κόμβου και όχι από τον σταθμό βάσης.

Ένα διάστημα μίας τέτοιας εποχής (epoch) φαίνεται στο παρακάτω σχήμα 17, από παλμογράφο σε πραγματικό χρόνο.



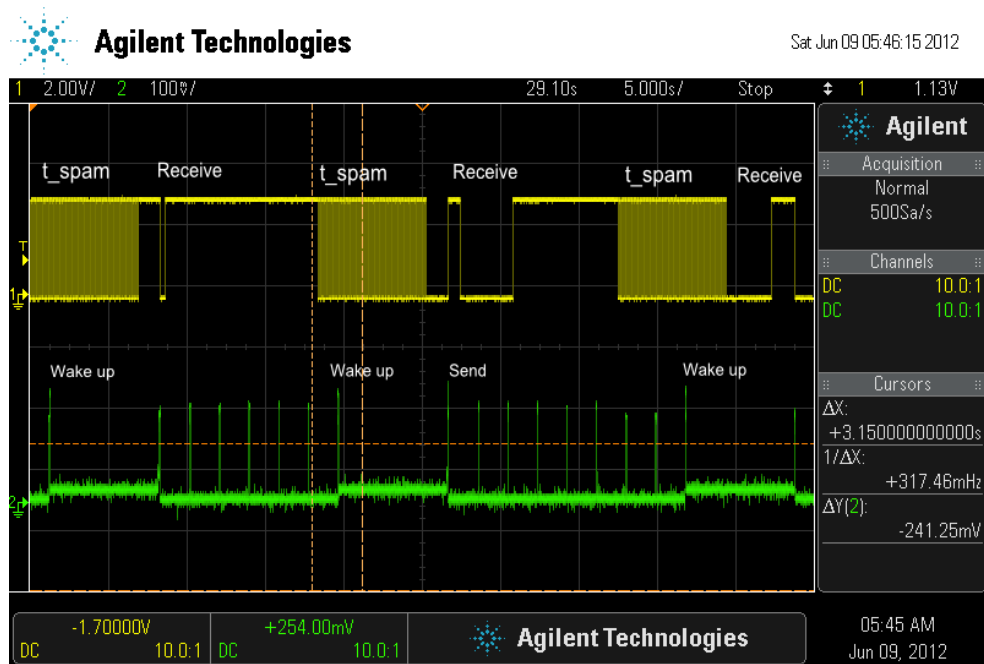
Σχήμα 17: Εικόνα Παλμογράφου - Μία Εποχή

Με μία έξοδο του μικροελεγκτή, μπορούμε να ανιχνεύουμε την πορεία των λειτουργιών κατά την διάρκεια μίας εποχής. Και με αυτό τον τρόπο, για τον σταθμό βάσης (πάνω κανάλι) καταγράφουμε με κάθε αλλαγή (0 - 1), στην αρχή τις μεταδόσεις πακέτων αφύπνισης για

χρόνο t_{spam} και στη συνέχεια την λήψη ενός πακέτου. Το κάτω κανάλι δείχνει την τάση στα άκρα ενός κόμβου, η οποία μετριέται από κατάλληλο κύκλωμα στην είσοδο τροφοδοσίας του.

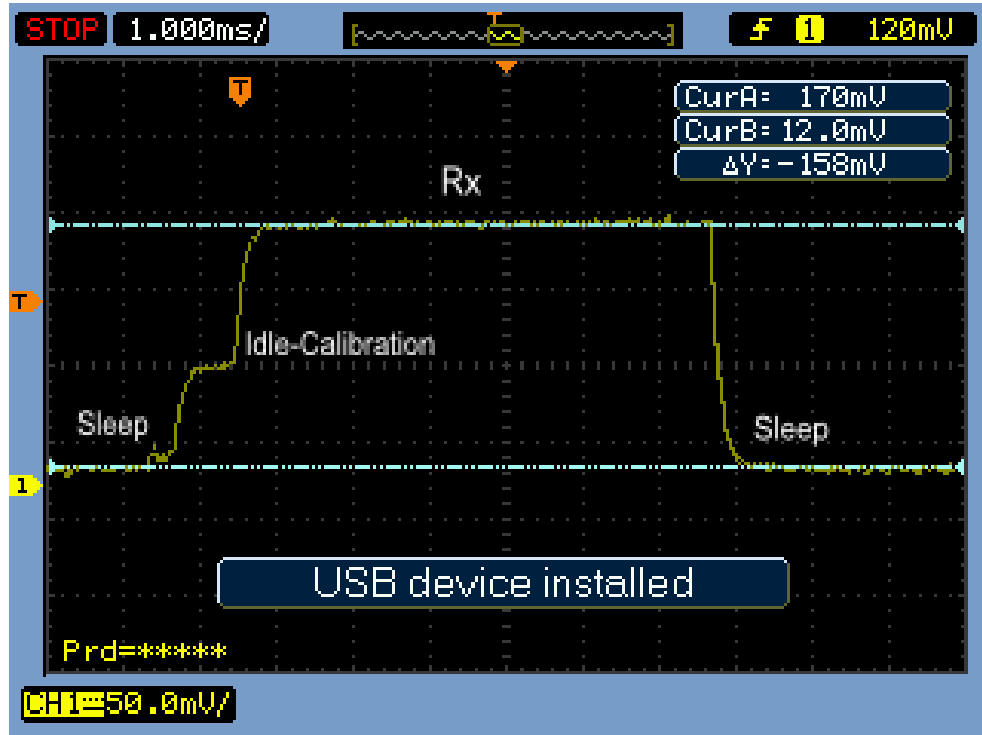
Επίσης παρατηρούμε σε αυτό το σχήμα την όλη διαδικασία, που ο κόμβος ξυπνά μέσα στο διάστημα t_{spam} από ένα πακέτο και στη συνέχεια αναμένει, για τον ίδιο χρόνο μέχρι που να στείλει το πακέτο του και ο σταθμός βάσης ακριβώς το λαμβάνει (σημειώνουμε ότι υπήρχε και άλλος κόμβος που ξύπνησε, ο σταθμός λαμβάνει 2 πακέτα, το δεύτερο είναι του κόμβου του οποίου μετράμε την κατανάλωση, καθώς συμπίπτει με την ακμή της μετρούμενης τάσης, για την αποστολή του πακέτου).

Μία ίδια εικόνα αλλά για μεγαλύτερη διάρκεια χρόνου, για τρείς εποχές, είναι η παρακάτω:



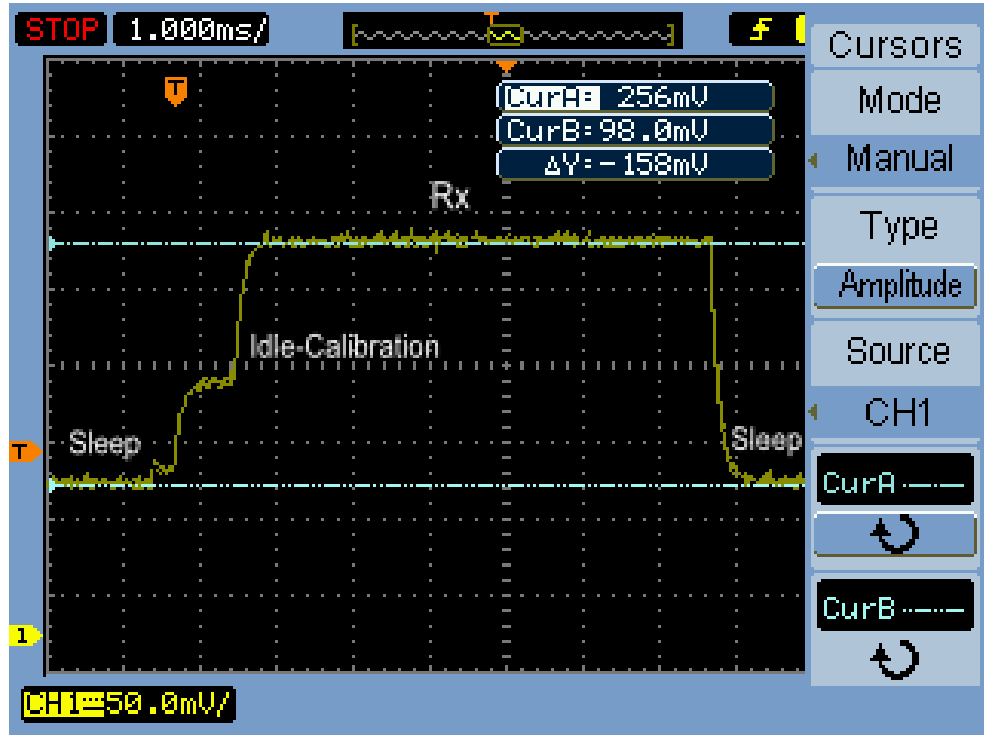
Σχήμα 18: Εικόνα Παλμογράφου - Τρείς Εποχές (epochs)

Τέλος παραθέτουμε σε μεγέθυνση χρόνου, δύο εικόνες για την κατανάλωση ρεύματος των κόμβων στις ακμές που γίνεται ο έλεγχος του καναλιού περιοδικά (Rx polling). Οι εικόνες παρουσιάζουν την τάση στα άκρα του κόμβου, οπότε για να βρεθεί η κατανάλωση σε ρεύμα, διαιρούμε την τιμή της τάσης με την τιμή της αντίστασης στην είσοδο τροφοδοσίας (στην περίπτωση μας $10 \Omega\text{hm}$).



Σχήμα 19: Εικόνα Παλμογράφου - Κατανάλωση ρεύματος με Idle Mode

Παρατηρούμε σε στάδια, την κατανάλωση ρεύματος να ανεβαίνει καθώς ο κόμβος μεταβαίνει από κατάσταση SLEEP του ραδιοφώνου σε κατάσταση RX. Η διαφορά είναι στα 15,8 μΑ. Όλη την υπόλοιπη διάρκεια ο κόμβος βρίσκεται σε κατάσταση SLEEP και με επεξεργαστή σε κατάσταση Idle Mode, με αποτέλεσμα να καταναλώνει μόνο 1,2 mA (χάτω επίπεδο).



Σχήμα 20: Εικόνα Παλμογράφου - Κατανάλωση ρεύματος χωρίς Idle Mode

Σε αυτή την περίπτωση ισχύουν τα ίδια, εκτός του ότι ο επεξεργαστής δεν μπαίνει σε κατάσταση Idle - Mode. Η διαφορά είναι μεγάλη, η κατανάλωση του κόμβου, όταν είναι σε Sleep το ραδιόφωνο μόνο (χάτω επίπεδο), είναι στα 9,8 mA σε σχέση με τα 1,2 mA προηγουμένως.

5.3 Μετρήσεις - Πειράματα

Οι μετρήσεις που ακολουθούν πάρθηκαν σε πραγματικό χρόνο, από τον σταθμό βάσης και αποτελούν μερικές μετρικές, για την απόδοση του συστήματος μας. Θα χρησιμοποιούμε την ονομασία **εποχή** για κάθε επανάληψη της διαδικασίας ξυπνήματος των κόμβων και αποστολής πακέτων, όπως ορίστηκε παραπάνω.

Όπου αναφέρονται επιβεβαιώσεις (ACKs), αναφέρονται στον αριθμό των επιβεβαιώσεων που στάλθηκαν, από τον σταθμό βάσης προς τους αντίστοιχους κόμβους, επειδή τα πακέτα απαιτούσαν αυτή την λειτουργία (μπορεί μια εφαρμογή να απαιτούσε ροή πληροφορίας με σειρά κτλ.).



Σχήμα 21: Δίκτυο σε λειτουργία & Σταθμός Βάσης

Οι ρυθμίσεις του πρωτοκόλλου ήταν οι πρότυπες για το 802.15.4, και στα πλαίσια που αναφέρονται στο [2]. Έτσι λοιπόν ισχύουν τα εξής:

Παράμετρος	Τιμή
macMaxNB	4
macMaxBE	5
macMinBE	3
Packet length	$2 \times D$
Backoff slot	$1 \times D$
D	10 bytes/ $Tx_{rate} = 33msec$

Πίνακας 2: Χαρακτηριστικά Πρωτοκόλλου

Τονίζεται ότι στη προσπάθεια μας αυτή, δεν επιδιώκουμε να ταυτίσουμε τις μετρικές μας, με τα θεωρητικά αποτελέσματα που αναφέρονται στο [2]. Αυτό γίνεται για τους εξής λόγους, μερικοί από τους οποίους θα αναφερθούν και παρακάτω, εκτενέστερα.

- **Διαφορετικές Συνθήκες:** Υπάρχουν διαφορετικές συνθήκες καναλιού, δεν έχουμε ιδανικό κανάλι (hidden node problem, transmission errors-out of range).
- **Σφάλμα Χρόνου - Συγχρονισμού:** Υπάρχουν μικρές διαφορές στις σχισμές (backoff slots), που κάθε κόμβος έχει ώς αναφορά χρόνου, κόμβοι οι οποίοι θα διαλέγουν θεωρητικά, ίδιες σχισμές να μεταδώσουν, δεν θα προκαλούν απαραίτητα συγκρούσεις (όπως προϋποθέτει η θεωρητική απόδειξη στο σενάριο της).

Ακόμη στο θεωρητικό μοντέλο, υπάρχει η προσέγγιση για τον αριθμό $N_c^j = N$ των κόμβων που ανταγωνίζονται το κανάλι σε κάθε σχισμή. Αυτός ο αριθμός στην πραγματικότητα μειώνεται, κατά την διάρκεια μίας εποχής, για το σενάριο όπου κάθε κόμβος μεταδίδει ένα μόνο πακέτο. Η θεώρηση του ως σταθερό αριθμό, ίσο με N (αριθμός των κόμβων), είναι προσεγγιστική.

5.3.1 Αποτελέσματα για CSMA

Οι μετρικές πάρθηκαν με 5 κόμβους να μεταδίδουν προς τον σταθμό βάσης, ανά εποχή των 6 δευτερόλεπτων και για να το πετύχουμε αυτό ακολουθήθηκε, η λογική οι κόμβοι να περιμένουν το έναυσμα, από σήμα από τον σταθμό βάσης. Κάθε κόμβος πάλι μεταδίδει κάθε εποχή, ένα μόνο πακέτο (δεν περιμένει κάποια επιβεβαίωση) και αυξάνει το packet id μόνο όταν όντως στέλνει πακέτο.

Τα αποτελέσματα ήταν τα εξής:

Προέλευση	Ληφθέντα Πακέτα	Χαμένα Πακέτα
Node 2	149	11
Node 3	126	34
Node 4	130	30
Node 6	155	5
Node 7	139	21

Πίνακας 3: Μετρήσεις - Εποχές 160 (Περίοδος εποχής: 6 δευτερόλεπτα)

Από αυτά τα αποτελέσματα μπορούμε να βγάλουμε τις εξής μετρικές. Το ποσοστό επιτυχούς μετάδοσης (PDR - packet delivery ratio) ήταν:

$$PDR = \frac{\sum_{i=1}^N Send(i)}{\text{total_packs_transmitted}} = 0,87$$

Για την πιθανότητα επιτυχίας p_s , ισχύει ότι:

$$p_s \leq PDR = 0.87$$

Αυτό επειδή δεν εμπεριέχεται στο PDR , η πιθανότητα του κόμβου να μην κάνει πρόσβαση στο κανάλι..

Από το διάγραμμα στο [2, Fig 14] του θεωρητικού μοντέλου, παρατηρούμε ότι η πιθανότητα επιτυχίας p_s , ανάμεσα στις καμπύλες για μεγέθη πακέτων $D = 1$ έως $D = 3$, είναι στο διάστημα $0.65 - 0.73$.

5.3.2 Αποτελέσματα για CSMA & WOR

Σε αυτές τις μετρήσεις όταν αναφέρονται επιβεβαιώσεις, ο σταθμός βάσης καταγράφει κάθε φορά όσα πακέτα λαμβάνει, καταγράφει όμως τον αριθμό των επιβεβαιώσεων, μόνο όταν λαμβάνει διαφορετικά πακέτα. Οι κόμβοι που δεν έλαβαν επιτυχώς επιβεβαιώση, επαναμεταδίδουν τα ίδια πακέτα.

Έτσι έγινε μια προσπάθεια, να δούμε την επίδραση των επιβεβαιώσεων στο σύστημα μας, και πόσες αναμεταδόσεις, έγιναν λόγω συγκρούσεων ή χαμένων ACKs, που όπως αναφέρθηκε και προηγουμένως και ορίζει και το πρότυπο [1], δεν χρησιμοποιείται CSMA-CA για την μετάδοση τους.

Προέλευση	Ληφθέντα Πακέτα	Επιβεβαιώσεις (ACKs)
Node 2	528	528
Node 3	541	537
Node 4	522	520
Node 6	523	523
Node 7	526	524

Πίνακας 4: Μετρήσεις - Εποχές 614 (Περίοδος εποχής: 30 δευτερόλεπτα)

Παρατηρούμε ότι η επιβάρυνση του δικτύου μας, από επιβεβαιώσεις είναι μικρή και χάθηκαν ελάχιστες. Αυτό μας δείχνει ότι οι επιβεβαιώσεις δεν είναι απαγορευτικές. Το εξετάζουμε γιατί οι ACKs αποτελούν και μια ελαφριά, από άποψη κατανάλωσης ενέργειας εκδοχή, για την λύση του προβλήματος των κρυμμένων κόμβων, από το να χρησιμοποιηθεί, η πλήρης λύση πακέτων RTS/CTS. Επίσης δεν επιβαρύνεται το δίκτυο, με συγκρούσεις πακέτων, παρόλο που δεν χρησιμοποιείται για την αποστολή των ACKs, το πρωτόκολλο CSMA (όπως ορίζει και το πρότυπο 802.15.4).

Στην συνέχεια θέλουμε να δούμε την επιρροή (άν υπάρχει), που έχει στο σύστημα μας, ο χρόνος της περιόδου μέτρησης. Επίσης επειδή θέλουμε σε αυτή την μέτρηση να έχουμε ακριβώς την περίπτωση ενός δίκτυου WSN, με ελάχιστη κατανάλωση ενέργειας δηλαδή, απενεργοποιούμε τις ACKs, ώστε να υπάρχει μόνο μία ή καμία μετάδοση ανά εποχή.

Επειδή σε μια πραγματική εφαρμογή χωραφιού, όπως η δική μας, θα χρειάζονται μετρήσεις ανά περίπου 1 ώρα, και θέλουμε σίγουρα μέσα στη 1 ώρα αν είναι δυνατό, να έχουμε καινούργια μέτρηση, η περίοδος της εποχής μας θα είναι 30 λεπτά. Το πείραμα έτρεξε για 2 μέρες.

Προέλευση	Ληφθέντα Πακέτα
Node 2	72
Node 3	72
Node 4	88
Node 6	88
Node 7	80

Πίνακας 5: Μετρήσεις - Εποχές 96 (Περίοδος εποχής: 30 λεπτά)

Παρατηρούμε ότι ο αλγόριθμος του WOR σεναρίου, λειτούργησε και για την σποραδική αφύπνιση, των 30 λεπτών. Δεν παρουσιάστηκαν κόμβοι με πολύ μικρότερη αποστολή πακέτων από τους υπόλοιπους, το δίκτυο συμπεριφέρθηκε ανάλογα με τα προηγούμενα αποτελέσματα και οι κόμβοι αφυπνίζονται κανονικά.

6 Συμπεράσματα

6.1 Δυσκολίες Υλοποίησης

Η εργασία αντιμετώπισε ορισμένα προβλήματα, κατά την υλοποίηση της, μερικά από τα βασικότερα, αναφέρουμε παρακάτω.

- **Μνήμη:** Η γρήγορα προσβάσιμη RAM μνήμη του μικροελεγκτή είναι μεγέθους 256 bytes και από αυτά μόνο τα 128 bytes είναι διαθέσιμα για αποθήκευση πληροφορίας από τον χρήστη, καθώς τα υπόλοιπα αναφέρονται στις διευθύνσεις των καταχωρητών του μικροελεγκτή. Ο μικροελεγκτής επίσης, αναγκάζει τον χρήστη στην περίπτωση, της μέτρησης χρόνου (απαραίτητη), να γίνεται αυτή μέσω επανάληψης των διακοπών υπερχείλισης μετρητών. Ο επεξεργαστής όμως, τηρεί σειρά προτεραιότητας στην εξυπηρέτηση των διακοπών.

Αυτό σημαίνει ότι όταν έρχονται, υψηλότερης σημασίας/προτεραιότητας διακοπές, όπως για παράδειγμα η διακοπή από το περιφερειακό του ραδιοφώνου, κατά την διάρκεια λήψης ενός πακέτου, ο επεξεργαστής μπορεί και πρέπει, ορισμένες φορές να δίνει προτεραιότητα σε αυτές. Αυτό έχει σαν αποτέλεσμα ένα σφάλμα, το οποίο όμως με την αύξηση του χρόνου λειτουργίας, το οποίο μπορεί να προκαλεί σοβαρό πρόβλημα σε θέματα συγχρονισμού.

- **Απουσία λειτουργικού συστήματος (OS):** Κάθε μορφή συγχρονισμού και μέτρησης χρόνου έγινε κυρίως με την χρήση διακοπών που δημιουργούν οι μετρητές του μικροελεγκτή και άρα υπήρχαν λάθη στην μέτρηση του χρόνου. Με την εφαρμογή ενός λειτουργικού συστήματος τέτοια προβλήματα θα λύνονταν και δεν θα απασχολούσαν την διαδικασία της υλοποίησης. Επίσης θέματα αναφοράς σε μνήμη και διαχείρισης αυτής θα γίνονταν από το λειτουργικό και όχι από τον χρήστη.

Για παράδειγμα το κυριότερο ζήτημα διαχείρισης της μνήμης είναι ότι ο compiler αλλά και ο ίδιος ο μικροελεγκτής επιτρέπουν την άμεση αναφορά και διαχείριση, στη μνήμη RAM. Στο μεγαλύτερο κομμάτι της μνήμης δηλαδή της FLASH, γίνεται αναφορά μόνο

με την εντολή μηχανής (MOVX). Αυτή η διαχείριση μνήμης δεν προτείνεται για χρήση αποθήκευσης διαρκώς μεταβλητών δεδομένων και δημιουργεί ασυνέπεια στην μνήμη. Ένα λειτουργικό σύστημα θα μπορούσε να προσφέρει μία αποτελεσματική μορφή διαχείρισης της μνήμης.

6.2 Μελλοντική Δουλειά

Στοιχους μελλοντικούς η εργασία αυτή, έχει τα εξής:

- **Εξακρίβωση του θεωρητικού μοντέλου:** Επειδή οι μετρήσεις στα πλαίσια αυτής της εργασίας δεν επαρκούν για να μπορούν να έχουν κάποιο συμπέρασμα και σύγκριση με τη θεωρία, θα πρέπει να παρθούν μετρήσεις για μεγάλο διάστημα χρόνου, πολλών εποχών και θα πρέπει να δημιουργηθεί το κατάλληλο περιβάλλον, όπως περιγράφεται στο θεωρητικό μοντέλο, έτσι ώστε να παρθούν ακριβείς μετρήσεις. Βασικότερο σημείο για αυτό αλλά και για άλλες θεωρητικές αναλύσεις είναι να υπάρχει μία εξωτερική ροή πακέτων/πληροφορίας, από ένα επίπεδο εφαρμογής application layer, σταθερή και πλήρως ρυθμιζόμενη.
- **Αφύπνιση με Carrier Sense:** Η αφύπνιση μέσω πακέτων όπως είδαμε απαιτεί την αποστολή για αρκετό χρόνο και αυτό καταναλώνει ενέργεια στον σταθμό βάσης. Θα πρέπει λοιπόν να αναλυθούν, περισσότερες μέθοδοι για την σκοπιά της αφύπνισης με λίγα πακέτα ίσως και 1, και την χρήση του Carrier Sense. Να εφαρμοστεί δηλαδή ένας αποτελεσματικός αλγόριθμος, για την περίπτωση που ο σταθμός βάσης, δεν μπορεί να είναι ενεργειακά αυτόνομος.
- **Υλοποίηση Beaconed - enabled δικτύου :** Όπως προαναφέρθηκε το πρότυπο 802.15.4 ορίζει και την επιλογή για beaconed-enabled δίκτυα τα οποία βασίζονται στον slotted-CSMA αλγόριθμο. Για εφαρμογές περισσότερο συγχρονισμένες. Για να επιτευχθεί κάτι τέτοιο, απαιτείται δουλειά στο πεδίο του συγχρονισμού των κόμβων (να έχουν δηλαδή οι μετρητές, του χρόνου τους, κοινή βάση και να είναι ευθυγραμμισμένοι), είτε αυτός γίνει με την εισαγωγή λειτουργικού συστήματος, είτε με εφαρμογή άλλων

αλγορίθμων, όπου υπάρχουν πολλοί. Από αποψη υλοποίησης του Beaconed - enabled πρωτοκόλλου, η εργασία αυτή έχει θέσει όλα τα απαραίτητα θεμέλια και δεν απαιτείται σημαντική δουλειά.

- **Μνήμη:** Να γίνουν δοκιμές αποθήκευσης δεδομένων και προσωπικής διαχείρισης και αξιοποίησης της μνήμης FLASH, έτσι ώστε ο κόμβος βάσης, ή διάφοροι κόμβοι που θέλουμε στο δίκτυο μας, να μπορούν για παράδειγμα να αποθηκεύουν περισσότερη πληροφορία.

A' CSMA-CA - Κώδικας

Σε αυτό το παράρτημα αναφέρονται οι κώδικες packet.h, CSMA.h, csmaSendPacket.c, csmaReceivePacket.c, csma_init.c, οι οποίοι αποτελούν τον βασικότερο κορμό για την υλοποίηση του πρωτοκόλλου στο δικό μας υλικό. Στο packet.h υπάρχουν ορισμοί για την μορφοποίηση ενός πακέτου, τύποι λαθών κτλ. Στο CSMA.h υπάρχουν οι απαραίτητοι ορισμοί για το πρωτόκολλο CSMA. Τα csmaSendPacket.c και csmaReceivePacket.c παρέχουν τις βασικές λειτουργίες αποστολής και λήψης για το πρωτόκολλο.

Πολλοί από αυτούς χρησιμοποιούν ίσως και κώδικα από άλλες βιβλιοθήκες, όπως αναφέρθηκε σύμφωνα και με την αρχιτεκτονική HAL(Hardware Abstraction Layer) αλλά εδώ θα αναφέρουμε μόνο τον βασικό κορμό.

```
1 //  
2 // packet.h  
3 //  
4 // AUTH: Ioannis Papamantzelopoulos  
5 // DATE: 4 Ioun 2012  
6 //  
7 // Target: C8051F32x  
8 // Tool chain: KEIL C51 7.06  
9 //  
10 // Release 1.0  
11 //  
12 //  
13 // Includes  
14 //  
15 #ifndef PACKET_H  
16 #define PACKET_H  
17 #include "other/compiler_defs.h"  
18 #include "other/common.h"  
19 //
```

```

// Structures , Unions , Enumerations , and Type Definitions
21 //////////////////////////////////////////////////////////////////
22 //////////////////////////////////////////////////////////////////
23 // Header Parameters      //
24 //////////////////////////////////////////////////////////////////
25 #define TX_IDX_DESTINATION 1    // Index of Receiver address in
26             TxBuffer
27 #define TX_IDX_PACKET_TYPE 2    // Index of packet id1 in TxBuffer
28 #define TX_IDX_SOURCE 3        // Index of Transmitter address in TxBuffer
29 #define TX_IDX_PACKET_ID 4     // Index of packet id2 in TxBuffer
30 #define TX_IDX_ACK_REQUIRE 5   // Index of ACK request in TxBuffer
31 #define TX_IDX_QLENGTH 6       // Index of Queue length for BackPressure
32             Routing
33 #define RX_IDX_DESTINATION 0    // Index of Receiver address in
34             Rxbuffer
35 #define RX_IDX_PACKET_TYPE 1    // Index of packet id1 in Rxbuffer
36 #define RX_IDX_SOURCE 2        // Index of Transmitter address in Rxbuffer
37 #define RX_IDX_PACKET_ID 3     // Index of packet id2 in Rxbuffer
38 #define RX_IDX_ACK_REQUIRE 4   // Index of ACK request in Rxbuffer
39 #define RX_IDX_QLENGTH 5       // Index of Queue length for BackPressure
40             Routing
41 //////////////////////////////////////////////////////////////////
42 // Packet Types      //
43 //////////////////////////////////////////////////////////////////
44 #define PTYPE_DATA    0
45 #define PTYPE_ACK     1
46 #define PTYPE_RTS     2
47 #define PTYPE_CTS     3
48 #define PTYPE_FORWARD 4
49 //////////////////////////////////////////////////////////////////

```

```

//  Packet Error Codes      //
47 //=====
#define PACKET_TIMEOUT      0
49 #define PACKET_SUCCESS    1
#define PACKET_CORRUPTED    2
51 #define PACKET_WRONG_NODEID 3
#define PACKET_WRONG_LENGTH   4
53 #define PACKET_WRONG_TYPE   5
#define PACKET_WRONG_PACKID   6
55 #define PACKET_ERROR_OTHER  254
//=====
57 //  Buffer Information    //
//=====
59 #define BUFF_ACK_REQUIRED   1
#define BUFF_ACK_NOT_REQUIRED 0
61 //=====
63 //  Global Constants
//=====
65 //  Exported Function Prototypes
//=====
67 #endif /* PACKET_H_ */

```

```

1 //_____
// CSMA.h
3 //_____
// AUTHOR: Ioannis Papamantzelopoulos
5 // DATE: Jun 1, 2012
//_____
// Target: C8051F32x
// Tool chain: KEIL C51 7.06
9 //_____
// Release 1.0
11 //_____
//_____
13 // Includes
//_____
15 #ifndef CSMA_H_
#define CSMA_H_
17 #include "other/compiler_defs.h"
#include "other/common.h"
19 #include "other/math_lib.h"
#include "motes/icubes/phy/halRF.h"
21 #include "motes/icubes/hal/halSleep.h"
#include "motes/icubes/hal/halTimers.h"
23 #include "motes/icubes/component_defs/icubes_defs.h"
#include "NODEID.h"
25 #include <stdlib.h>
//_____
27 // Structures, Unions, Enumerations, and Type Definitions
//_____
29 //=====//
// CSMA - Parameters //
```

```

31 //=====
#define CCA_SLOTS      1  // Number of slots node will wait for CCA
33 #define ACK_SLOTS     2  // Number of slots node will wait for ACK
#define MAX_BE        5  // Max number of back-off exponential window
35 #define MAXRETRANSMITS   5  // Max number of retransmissions when
    waiting for ACK
#define MAXBACKOFFS    5  // MAX number of tries to access channel
37 #define INIT_BE       3  // Initialize Back-off exponential window
#define TX_SLOTS       2  // Period of Tx of your packet in slots
39 #define SLOT_TIME_INTS 330 // Back-off Slot time           //duration
    in interrupts of timer selected in csmaInit() routine.
//=====

41 //      Clear Channel Assessment  //
//=====

43 #define TYPE_CCA_CARRIER_BASED 0 // Polling the channel for any
    signal
#define TYPE_CCA_SYNC_BASED 1 // Polling the channel for packets
45           //with sync word
#define TYPE_CCA TYPE_CCA_CARRIER_BASED
47 //=====

        // Exported Function Prototypes
//=====

        TODO question ? Why not by reference txBuff or rxBuff
49 BOOL csmaSendPacket(BYTE packet_type , BYTE destination , BYTE packet_id
    , BYTE ack_requirement , BYTE init_BE );
BYTE csmaReceivePacket(BYTE packet_type , UINT16 timeout , BYTE
    packet_id );
51 bit csmaInit(BYTE sync_timer_num );
// utility functions in csmaInit.c
53 void csmaBackOff(BYTE backoff_exp );

```

```
BOOL csmaCCA(BYTE cca_type ,BYTE timeout);  
55 #endif /* CSMA_H */
```

```

1  /*
2   * csmaSendPacket.c
3   *
4   *     Created on: Jun 1, 2012
5   *         Author: Ioannis Papamantzelopoulos
6   */
7 // -----
8 // Includes
9 // -----
10 #include "other/compiler_defs.h"
11 #include "other/common.h"
12 #include <stdio.h>
13 #include "motes/icubes/mac/CSMA.h"
14 #include "motes/icubes/mac/packet.h"
15 // -----
16 // Structures , Unions , Enumerations , and Type Definitions
17 // -----
18 // -----
19 // csmaSendPacket()
20 //
21 // Basic Routine used to send any type of packet(data,ACK,RTS,CTS).
22 // It uses the CSMA access mechanism, to access channel
23 // -----
24 BOOL csmaSendPacket(BYTE packet_type, BYTE destination, BYTE packet_id
25                   , BYTE ack_requirement, BYTE init_BE){
26     BOOL send_finished;
27     BYTE backoff_exp;
28     BYTE retransmits;
29     BYTE num_Backoffs;
30     BYTE ack_received;

```

```

//----- INITIALIZATION -----
31 txBuffer [TX_IDX_DESTINATION] = destination;
32 txBuffer [TX_IDX_PACKET_TYPE] = packet_type;
33 txBuffer [TX_IDX_PACKET_ID] = packet_id;
34 txBuffer [TX_IDX_ACK_REQUIRE] = ack_requirement;
35 //Setup header of txBuffer
36 if (packet_type != PTYPE_FORWARD){
37     txBuffer [TX_IDX_SOURCE] = NODEID;
38 }
39 //Parameters
40 send_finished = FALSE;
41 if (init_BE==DONT_CARE){
42     backoff_exp = INIT_BE;
43 } else{
44     backoff_exp = init_BE;
45 }
46 retransmits = MAX_RETRANSMITS;
47 num_Backoffs = MAX_BACKOFFS;
//----- SEND ROUTINE-----
48 if (packet_type == PTYPE_DATA || packet_type == PTYPE_RTS ||
49     packet_type == PTYPE_FORWARD){ //----- DATA / RTS
50     csmaBackOff(backoff_exp); //an initial Backoff for the first access
51     do{
52         if (csmaCCA(TYPE_CCA, SLOT_TIME_INTS * CCA_SLOTS)){
53             //here channel is clear
54             backoff_exp = INIT_BE; //re-initialize backoff threshold channel
55             was clear
56             retransmits --; //decrease maximum number of retransmissions
57             halRfSendPacket(txBuffer, sizeof(txBuffer));
58             if (ack_requirement == BUFFACK_REQUIRED){

```

```

// enter RX-mode to receive ACK
//-----WAIT ACK-----
59 do{
61   if ( packet_type==PTYPE_RTS) {
63     ack_received = csmaReceivePacket(PTYPE_CTS,( SLOT_TIME_INTS*
64       TX_SLOTS*ACK_SLOTS) ,packet_id );
65   } else {
66     ack_received = csmaReceivePacket(PTYPE_ACK,( SLOT_TIME_INTS*
67       TX_SLOTS*ACK_SLOTS) ,packet_id );
68   }
69 }while(    ack_received == PACKET_CORRUPTED
70   || ack_received == PACKET_WRONG_LENGTH
71   || ack_received == PACKET_WRONG_NODEID
72   || ack_received == PACKET_WRONG_TYPE
73   || ack_received == PACKET_WRONG_PACKID
74   || ack_received == PACKET_ERROR_OTHER);
75 if (ack_received == PACKET_TIMEOUT){
76   continue;
77 }else if(ack_received == PACKET_SUCCESS){
78   send_finished = TRUE;
79 }
80 //-----
81 }else{
82   send_finished = TRUE;
83 }
84 }else{
85   num_Backoffs--; //decrease number of left tries to access channel
86   if (backoff_exp<MAX_BE){
87     backoff_exp++;
88   }

```

```

/*If Channel is busy the node is waiting in IDLE for a rand time
 */
87    csmaBackOff( backoff_exp ) ;
}
89 }while( ( send_finished == FALSE) && ( retransmits != 0) && (
    num_Backoffs !=0));
90     return send_finished ;
91 }else{ //----- ACK / CTS
92     txBuffer [TX_IDX_DESTINATION] = destination ;
93     txBuffer [TX_IDX_SOURCE] = NODEID;
94     txBuffer [TX_IDX_PACKET_ID] = packet_id ;
95     txBuffer [TX_IDX_PACKET_TYPE] = packet_type ;
96     halRfSendPacket( txBuffer , sizeof(txBuffer)) ;
97     return TRUE;
98 }
99 }
```

```

1  /*
2   * csmaReceivePacket.c
3   *
4   *     Created on: Jun 1, 2012
5   *         Author: Ioannis Papamantzelopoulos
6   */
7 //////////////////////////////////////////////////////////////////
8 // Includes
9 //////////////////////////////////////////////////////////////////
10 #include "other/compiler_defs.h"
11 #include "other/common.h"
12 #include "motes/icubes/phy/halRF.h"
13 #include "motes/icubes/mac/CSMA.h"
14 #include "motes/icubes/mac/packet.h"
15 #include "NODEID.h"
16 //////////////////////////////////////////////////////////////////
17 // Structures , Unions , Enumerations , and Type Definitions
18 //////////////////////////////////////////////////////////////////
19 //////////////////////////////////////////////////////////////////
20 // Global Constants
21 //////////////////////////////////////////////////////////////////
22 //////////////////////////////////////////////////////////////////
23 // csmaReceivePacket()
24 //////////////////////////////////////////////////////////////////
25 BYTE csmaReceivePacket(BYTE packet_type , UINT16 timeout , BYTE
26                         packet_id){
27     BYTE transmitter_id ;
28     BYTE length ;
29     BYTE receive_status ;
30     //set up the packet length in the txBuffer

```

```

length = sizeof(rxBuffer);
receive_status = halRfReceivePacketTimeout(rxBuffer,&length,timeout);
if (receive_status != PACKET_SUCCESS){
    return receive_status;
}
switch (packet_type){
case PTYPEDATA:
    if ((rxBuffer[RX_IDX_PACKET_TYPE] != PTYPEDATA)&&(rxBuffer[
        RX_IDX_PACKET_TYPE] != PTYPEFORWARD)&&(rxBuffer [
        RX_IDX_PACKET_TYPE] != PTYPERTS)){
        return PACKET_WRONG_TYPE;
    }
transmitter_id = rxBuffer[RX_IDX_SOURCE];
return PACKET_SUCCESS;
break;
case PTYPE_ACK:
    if (rxBuffer[RX_IDX_PACKET_TYPE] != PTYPE_ACK){
        return PACKET_WRONG_TYPE;
    }
/* note that halRfReceivePacket will break and return false if
received packet
is discarded due to address checking. This is how it is handled by
cc25000 radio's
hardware(Our address checking is hardware based). */
if (rxBuffer[RX_IDX_PACKET_ID]== packet_id){ //check if ACK
arrived in correct
return PACKET_SUCCESS;
} else{ //if ACK is for another send packet ,(waited for #2 but
received #3)
return PACKET_WRONG_PACKID;
}

```

```

    }

55 /* At this point it is certain that halRfReceivePacket has returned
   false

   which means it either broke due to timeout event or due to address
   check.

57 If it is due to address check it means that another node or the
   base station

   speaks in the channel so the node has to listen to the channel
   again until

59 it receives a valid ACK or has a timeout event. On a timeout event
   we clear the timer and we print out for debug reasons.

61 */

62 break;

63 case PTTYPE_CTS:
64     if (rxBuffer [RX_IDX_PACKET_TYPE] != PTTYPE_CTS){
65         return PACKET_WRONG_TYPE;
66     }
67     return PACKET_SUCCESS;
68     break;
69 default :
70     return PACKET_ERROR_OTHER;
71     break;
72 }
73 return FALSE;
}

```

```

/*
2 * csma_init.c
*
4 * Created on: Jun 2, 2012
* Author: Ioannis Papamantzelopoulos
6 */
//_____
8 // Includes
//_____
10 #include "other/compiler_defs.h"
#include "other/common.h"
12 #include "motes/icubes/mac/CSMA.h"
//_____
14 // Structures, Unions, Enumerations, and Type Definitions
//_____
16 //_____
18 // Global Constants
//_____
20 UINT16 cca_counter = 0;
bit cca_event_enabled = 0;
void csmaCounterEvent(void);
//_____
22 // csma_init()
//_____
24 bit csmaInit(BYTE sync_timer_num)
{
    bit status = 0;
28 // initialize with transmitter's ID strand to get numbers
    strand(NODEID);
30 // Init physical layer

```

```

if (!init_halRfReceivePacketTimeout(sync_timer_num)){
    while(1);
}
//init sleep mode of mcu
if (!init_halRfSleepTimer(sync_timer_num)){
    while(1);
}
//TODO setup for multiple timers
switch (sync_timer_num){
case TIMER_0:
    NOP();
    break;
case TIMER_1:
    NOP();
    break;
case TIMER_2:
    status = acquire_timer2_event( csmaCounterEvent );
    break;
case TIMER_3:
    NOP();
    break;
default:
    return 0;
}
return status;
}
//TODO Comments
void csmaBackOff(BYTE backoff_exp){
    UINT16 rand_slot;
    UINT16 window;
}

```

```

        UINT16 back_off_time;

62    /* Compute the Slot time interval to wait*/
    window = pow2(backoff_exp); //window is computed from current
                                backoff-num each time

64    rand_slot = (rand() % window); //pseudo-random value of window
    back_off_time = (window-1 - rand_slot)*SLOT_TIME_INTS; //compute the
                                number of slots to Idle

66    // back_off_time = rand_slot * SLOT_TIME_INTS;
    //WARNING halSleepInit() has to be called first in main!!!
68    halSleep1(back_off_time);           //sleep for back_off_time (this is
                                in ints of timer selected in csmaInit)
}

70 // -----
// Function used to perform CCA(clear channel assessment)

72 // There are 2 options:
// -Based on receiving a packet (SYNC_BASED) [resilient ,not accurate]
74 // -Based on sensing the channel(CARRIER_BASED) [sensitive ,accurate]
// -----
76 BOOL csmaCCA(BYTE cca_type , BYTE timeout){
    halSpiStrobe(CCxxx0_SRX); //enter RX-mode to listen channel
78    //timeout = (slot duration * number of slots) * timer interrupt
                                period
    //TODO calculate the min time of sync word to receive
80    cca_counter = timeout;
    cca_event_enabled = 1;

82    do{   // Poll the channel for a period of time equal to CCA_SLOTS.
        // if even once the GD0O_PIN is 1 ,which means someone transmits
84    // the channel is dimmed occupied and the node will have to wait
    //WARNING: GDO0 PIN MUST BE SET AS SYNC WORD POLLING MODE IN RADIO
                                SETTINGS (value:0x06)

```

```

86    if (cca_type == TYPE_CCA_SYNC_BASED){
87        if (P_GDO0){
88            halSpiStrobe(CCxxx0_SIDLE);
89            halSpiStrobe(CCxxx0_SFRX);
90            cca_event_enabled = 0;
91            return FALSE;
92        }
93        //WARNING: GDO2 PIN MUST BE SET AS POLLING CCA MODE IN RADIO
94        // SETTINGS ( value:0x0E)
95        } else if (cca_type == TYPE_CCA_CARRIER_BASED){
96            if (P_GDO2){
97                halSpiStrobe(CCxxx0_SIDLE);
98                halSpiStrobe(CCxxx0_SFRX);
99                cca_event_enabled = 0;
100               return FALSE;
101           }
102           //HALT
103           while(1);
104       }
105       }while(cca_counter > 0);
106       cca_event_enabled = 0;
107       //if during the time slot no transmittion was found
108       // then we assume the channel free and the node will be able
109       // to transmit.
110       //TODO check if this is necessary
111       halSpiStrobe(CCxxx0_SIDLE); //return radio to idle mode
112       halSpiStrobe(CCxxx0_SFRX); // flush receive fifo
113       return TRUE;
114   }

```

```
//  
116 // Routine used for to measure time using the  
// interrupts of a timer chosen  
118 //  
120 void csmaCounterEvent(void){  
121 if(cca_event_enabled && cca_counter > 0){  
122     cca_counter--;  
123 }  
124 }
```

B' Wake-On-Radio Κώδικας

Σε αυτό το παράρτημα αναφέρονται οι κώδικες WOR_INIT, WOR_RESET, halWakeOnInt οι οποίοι περιγράφουν βασικές λειτουργίες, πού έχουν να κάνουν με λειτουργίες τις λειτουργίες του WOR. Πολλοί από αυτούς χρησιμοποιούν ίσως και κώδικα από άλλες βιβλιοθήκες, όπως αναφέρθηκε σύμφωνα και με την αρχιτεκτονική HAL(Hardware Abstraction Layer), αλλά εδώ θα αναφέρουμε μόνο τον βασικό κορμό.

```
1 //-----  
2 // WOR_INIT()  
3 //-----  
4 // DESCRIPTION:  
5 // This macro is used to configure the WOR function of the radio  
6 //-----  
7 // Note:  
8 // wor_event  
9 // A 16bit value for the EVENT0 time configuration. The period each  
10 // SLEEP-TO-IDLE-RX happens. Default max value 65535 gives 1,86  
11 sec for  
12 // 26 Mhz osci of cc2500.  
13 // ARGUMENTS:  
14 // RX_duty  
15 // The percentage of the EVENT time the radio stays in RX to listen  
16 // for // packets.  
17 //-----  
18 #define RX_DUTY_12_5 0x00  
19 #define RX_DUTY_6_2 0x01  
20 #define RX_DUTY_3_1 0x02  
21 #define RX_DUTY_1_5 0x03  
22 #define WOR_INIT(x) \  
23 do{\\  
24
```

```

21    halSpiWriteReg(CCxxx0_WORCTRL,0x38); \
22    halSpiWriteReg(CCxxx0_WOREVT1,0xFF); \
23    halSpiWriteReg(CCxxx0_WOREVT0,0xFF); \
24    halSpiWriteReg(CCxxx0_MCSM2,x); \
25    WOR_RESET(); \
} while(0)

```

```

//_____
2 //  WOR_RESET()
//
4 //  DESCRIPTION:
//      This macro is used to reset the WOR configuration and re-enter
//      radio in WOR mode
//
6 //  ARGUMENTS:
8 //      None
//_____
10 #define WOR_RESET() \
11     do{\ \
12         halSpiStrobe(CCxxx0_SWORRST); \
13         halSpiStrobe(CCxxx0_SWOR); \
14     } while(0)

```

```

/*
2 * halSleepWakeOnInt.c
 *
4 * Created on: Jun 6, 2012
 * Author: Ioannis Papamantzelopoulos
6 */
//_____
8 // Includes
//_____
10 #include "other/compiler_defs.h"
#include "other/common.h"
12 #include "motes/icubes/hal/halInterrupts.h"
#include "motes/icubes/hal/halSleep.h"
//_____
14 // Structures, Unions, Enumerations, and Type Definitions
//_____
16 //
//_____
18 // halSleepWakeOnInt()
//
20 // This function is used to keep the C8051F320 at low-power mode by
    setting
    its clock to the lower frequency, disabling all external/interrupts
    interrupts
22 // but one (the one that will wake him up), and entering Idle Mode.
//
24 // ARGUMENTS:
    //
    // BYTE int_num
26 //     The num of INT1 or INT0 external interrupts, or any other
    //     interrupt that WON'T BE DISABLED(this will wake you up).
28 //

```

```

//-----
30 // Block until an int wakes me up
// TODO documetation
32 void halSleepWakeOnInt(BYTE int_num) {
34
34 BYTE old_int_enables;
35 BYTE old_clksel;
36 BYTE old_oscicn;
37 // Keep all int and clock states
38 old_int_enables = IE;
39 old_clksel = CLKSEL;
40 old_oscicn = OSCICN;
41 //Disable all interrupts
42 IE = 0x00;
43 // Set up the wake up interrupt
44 INT_ENABLE(int_num, INT_ON);
45 // Enable global ints
46 ENABLE_GLOBAL_INT(INT_ON);
47 // Set the clock to its lowest frequency (select USB clock @ internal
48 // /2)
49 CLKSEL = 0x00;
50 OSCICN &= ~0x03;
51 // Set mcu to idle mode
52 PCON |= 0x01;
53 /****** */
54 // At this point, the mcu has been waken up by the selected interrupt
55 /****** */
56 // Reset the int and clock states
57 IE = old_int_enables;
58 CLKSEL = old_clksel;

```

58 OSCICN = old_oscicn ;
 }

Γ' Phy-Layer Κώδικας

Σε αυτό το παράρτημα αναφέρονται οι κώδικες halRfReceivePacketWOR.c, halRfReceivePacketTimeout.c, RFSettings.c, οι οποίοι περιγράφουν βασικές λειτουργίες, όπως λήψη πακέτων ενώ οι κόμβοι βρίσκονται σε κατάσταση WOR, είναι απαραίτητοι για την υλοποίηση του πρωτοκόλλου, και έχουν να κάνουν με λειτουργίες του φυσικού επιπέδου. Πολλοί από αυτούς χρησιμοποιούν ίσως και κώδικα από άλλες βιβλιοθήκες, όπως αναφέρθηκε σύμφωνα και με την αρχιτεκτονική HAL(Hardware Abstraction Layer), αλλά εδώ θα αναφέρουμε μόνο τον βασικό κορμό.

```
1 //  
2 //  BOOL halRfReceivePacketWOR(BYTE *rxBuffer , UINT8 *length)  
3 //  NOTE: This is the common halRFReceive() but without entering RX,  
4 //        used for WOR. Entering RX ruins WOR  
5 //        configuration and timing of cc2500. It also provides the  
6 //        choice to drop or keep the packet  
7 // received.  
8 // DESCRIPTION:  
9 //        This function can be used to receive a packet of variable  
10 //       packet length (first byte in the packet  
11 //       must be the length byte). The packet length should not exceed  
12 //       the RX FIFO size.  
13 //        To use this function , GD00 must be configured to be asserted  
14 //       when sync word is sent and  
15 //       de-asserted at the end of the packet => halSpiWriteReg(  
16 //           CCxxxx0_IOCFG0, 0x06);  
17 //        Also , APPENDSTATUS in the PKTCTRL1 register must be enabled.  
18 //        The function implements polling of GDO0. First it waits for  
19 //       GD00 to be set and then it waits  
20 //       for it to be cleared.  
21 //        After the GDO0 pin has been de-asserted , the RXBYTES register
```

```

    is read to make sure that there
15 //      are bytes in the FIFO. This is because the GDO signal will
        indicate sync received even if the
//      FIFO is flushed due to address filtering , CRC filtering , or
        packet length filtering .
17 //
// ARGUMENTS:
19 //      BYTE *rxBuffer
//      Pointer to the buffer where the incoming data should be
        stored
21 //      UINT8 *length
//      Pointer to a variable containing the size of the buffer
        where the incoming data should be
23 //      stored. After this function returns , that variable holds
        the packet length .
//      BOOL ignore_packet
25 //      Discard the packet received or keep it in the storage buffer .
//
27 // RETURN VALUE:
//      BOOL
29 //      TRUE:    CRC OK
//      FALSE:   CRC NOT OK (or no packet was put in the RX FIFO
        due to filtering )
31 //-----
```

```

BOOL halRfReceivePacketWOR(BYTE *rxBuffer , UINT8 *length , BOOL
    ignore_packet) {
33     BYTE status [2];
    UINT8 packetLength;
35     // Wait for GDO0 to be set -> sync received
        while ( !GDO0_PIN );
```

```

37 // Wait for GDO0 to be cleared -> end of packet
38     while (GDO0_PIN);
39
40     if (!ignore_packet){
41         // This status register is safe to read since it will not be updated
42         // after
43         // the packet has been received (See the CC1100 and 2500 Errata Note
44         // )
45         if ((halSpiReadStatus(CCxxx0_RXBYTES) & BYTES_IN_RXFIFO) ) {
46             // Read length byte
47             packetLength = halSpiReadReg(CCxxx0_RXFIFO);
48
49             // Read data from RX FIFO and store in rxBuffer
50             if (packetLength <= *length) {
51                 halSpiReadBurstReg(CCxxx0_RXFIFO, rxBuffer, packetLength);
52                 *length = packetLength;
53
54                 // Read the 2 appended status bytes (status[0] = RSSI, status[1] =
55                 // LQI)
56                 halSpiReadBurstReg(CCxxx0_RXFIFO, status, 2);
57
58                 // MSB of LQI is the CRC_OK bit
59                 return (status[LQI] & CRC_OK);
60             } else {
61                 *length = packetLength;
62
63                 // Make sure that the radio is in IDLE state before flushing the
64                 // FIFO
65
66                 // (Unless RXOFF_MODE has been changed, the radio should be in
67                 // IDLE state at this point)
68
69                 halSpiStrobe(CCxxx0_SIDLE);
70
71                 // Flush RX FIFO
72
73                 halSpiStrobe(CCxxx0_SFRX);
74
75                 return FALSE;
76             }
77         }
78     }
79 }
```

```
    } else
63    return FALSE;
    } else{
// Make sure that the radio is in IDLE state before flushing the
// FIFO
// (Unless RXOFFMODE has been changed , the radio should be in IDLE
// state at this point)
67 halSpiStrobe(CCxxx0_SIDLE);
// Flush RX FIFO
69 halSpiStrobe(CCxxx0_SFRX);
return TRUE;
71 }
} // halRfReceivePacketWOR
```

```

/*
2 * halRfReceivePacketTimeout.c
 *
4 * Created on: Jun 1, 2012
 * Author: Ioannis Papamantzelopoulos
6 */
//
8 // Includes
//
10 #include "other/compiler_defs.h"
11 #include "other/common.h"
12 #include "motes/icubes/hal/halInterrupts.h"
13 #include "motes/icubes/hal/halTimers.h"
14 #include "motes/icubes/phy/halRF.h"
15 #include "motes/icubes/component_defs/icubes_defs.h"
16 #include "motes/icubes/mac/packet.h"
17 void timeout_counter_routine(void);
18 //
// Structures , Unions , Enumerations , and Type Definitions
20 //
21 #define CRC_OK          0x80
22 #define GDO0_PIN         P0_6
23 #define RSSI             0
24 #define LQI              1
25 #define BYTES_IN_RXFIFO 0x7F
26 //
// Global Constants
27 //
28 UINT16 timeout_counter = 0;
29 bit rxtimeout_event_enabled = 0;

```

```

bit init_halRfReceivePacketTimeout(BYTE timer_num) {
32    bit status = 0;
    //TODO setup for multiple timers
34    switch (timer_num) {
        case TIMER_0:
36        NOP();
            break;
        case TIMER_1:
38        NOP();
            break;
        case TIMER_2:
40        status = acquire_timer2_event( timeout_counter_routine );
            break;
        case TIMER_3:
42        NOP();
            break;
44        default :
46            return 0;
48    }
50    return status;
}
52 //-----
// halRfReceivePacketTimeout()
54 //
// NOTE: This function is used to wait for a chosen amount of time
//       to receive a
56 //       packet. After that radio switches back to IDLE state
// DESCRIPTION:
58 //       This function can be used to receive a packet of variable
//       packet length (first byte in the packet

```

```

//      must be the length byte). The packet length should not exceed
//      the RX FIFO size.

60 //      To use this function , GD00 must be configured to be asserted
//      when sync word is sent and
//      de-asserted at the end of the packet => halSpiWriteReg(
//          CCxxx0_IOCFCFG0, 0x06);

62 //      Also , APPEND_STATUS in the PKTCTRL1 register must be enabled.

//      The function implements polling of GDO0. First it waits for
//      GD00 to be set and then it waits
64 //      for it to be cleared.

//      After the GDO0 pin has been de-asserted , the RXBYTES register
//      is read to make sure that there
66 //      are bytes in the FIFO. This is because the GDO signal will
//      indicate sync received even if the
//      FIFO is flushed due to address filtering , CRC filtering , or
//      packet length filtering.

68 //

// ARGUMENTS:

70 //      BYTE *rxBuffer
//      Pointer to the buffer where the incoming data should be
//      stored

72 //      UINT8 *length
//      Pointer to a variable containing the size of the buffer
//      where the incoming data should be
74 //      stored. After this function returns , that variable holds
//      the packet length.

//      UINT16 timeout
76 //      the amount of time to wait in RX measured in interrupts of a
//      chosen timer.

//

```

```

78 // RETURN VALUE:
//      BOOL
80 //      TRUE:    CRC OK
//      FALSE:   CRC NOT OK (or no packet was put in the RX FIFO
//                  due to filtering)
82 //-----
83 //TODO return status[rssi]
84 BYTE halRfReceivePacketTimeout(BYTE *rxBuffer, UINT8 *length, UINT16
85     timeout) {
86     BYTE status[2];
87     UINT8 packetLength;
88     halSpiStrobe(CCxxx0_SRX);
89     timeout_counter = timeout;
90     rxtimeout_event_enabled = 1;
91     // Wait for GDO0 to be set -> sync received
92     while ( (!GDO0_PIN) && (timeout_counter > 0) );
93     rxtimeout_event_enabled = 0;
94     if (timeout_counter > 0 && GDO0_PIN) {
95         // Wait for GDO0 to be cleared -> end of packet
96         while (GDO0_PIN);
97         // This status register is safe to read since it will not be updated
98         // after
99         // the packet has been received (See the CC1100 and 2500 Errata Note
100        )
101        if ((halSpiReadStatus(CCxxx0_RXBYTES) & BYTES_IN_RXFIFO)) {
102            // Read length byte
103            packetLength = halSpiReadReg(CCxxx0_RXFIFO);
104            // Read data from RX FIFO and store in rxBuffer
105            if (packetLength <= *length) {
106                halSpiReadBurstReg(CCxxx0_RXFIFO, rxBuffer, packetLength);

```

```

104    *length = packetLength;
105    // Read the 2 appended status bytes (status[0] = RSSI, status[1] =
106    // LQI)
107    halSpiReadBurstReg(CCxxx0_RXFIFO, status, 2);
108    // MSB of LQI is the CRC_OK bit
109    if(status[LQI] & CRC_OK){
110        return PACKET_SUCCESS;
111    } else{
112        return PACKET_CORRUPTED;
113    }
114    *length = packetLength;
115    // Make sure that the radio is in IDLE state before flushing the
116    // FIFO
117    // (Unless RXOFF_MODE has been changed, the radio should be in
118    // IDLE state at this point)
119    halSpiStrobe(CCxxx0_SIDLE);
120    // Flush RX FIFO
121    halSpiStrobe(CCxxx0_SFRX);
122    return PACKET_WRONG_LENGTH;
123}
124} else
125    return PACKET_WRONG_NODEID;
126}
127
128// Routine to measure time in interrupts of a chosen timer
129
130void timeout_counter_routine(void){

```

```
132     if (rxtimeout_event_enabled && timeout_counter>0){  
133         timeout_counter--;  
134     }  
135 }
```

```

/*
2 * RFSettings.c
*
4 * Created on: May 30, 2012
* Author: Ioannis Papamantzelopoulos
6 */
//_____
8 // Includes
//_____
10 #include "other/compiler_defs.h"
#include "other/common.h"
12 #include "motes/c8051f320dk/phy/halRF.h"
#include "NODEID.h"
//_____
14 // Structures, Unions, Enumerations, and Type Definitions
//_____
16 //
//_____
18 // Radio Settings
//_____
20 // #define RFSETTINGS_250KB //High data rate settings - 250KBaud
#define RFSETTINGS_24KB //Low data rate - high sensitivity
22 #ifdef RFSETTINGS_250KB
//radio settings
24 // Chipcon
// Product = CC2500
26 // Chip version = E (VERSION = 0x03)
// Crystal accuracy = 10 ppm
28 // X-tal frequency = 26 MHz
// RF output power = 0 dBm
30 // RX filterbandwidth = 541.666667 kHz

```

```

// Phase = 1
32 // Datarate = 249.938965 kBaud
// Modulation = (7) MSK
34 // Manchester enable = (0) Manchester disabled
// RF Frequency = 2432.999908 MHz
36 // Channel spacing = 199.951172 kHz
// Channel number = 6
38 // Optimization = Sensitivity
// Sync mode = (3) 30/32 sync word bits detected
40 // Format of RX/TX data = (0) Normal mode, use FIFOs for RX and TX
// CRC operation = (1) CRC calculation in TX and CRC check in RX
    enabled
42 // Forward Error Correction = (0) FEC disabled
// Length configuration = (1) Variable length packets , packet length
    configured by the first received byte after sync word.
44 // Packetlength = 255
// Preamble count = (2) 4 bytes
46 // Append status = 1
// Address check = (0) No address check
48 // FIFO autoflush = 0
// Device address = 0
50 // GDO0 signal selection = ( 6) Asserts when sync word has been sent /
    received , and de-asserts at the end of the packet
// GDO2 signal selection = (41) CHIP_RDY
52 RF_SETTINGS code rfSettings = {
    0xA,    // FSCTRL1    Frequency synthesizer control.
54    0x00,   // FSCTRL0    Frequency synthesizer control.
    0x5D,   // FREQ2      Frequency control word, high byte.
56    0x93,   // FREQ1      Frequency control word, middle byte.
    0xB1,   // FREQ0      Frequency control word, low byte.

```

58	0x2D , // MDMCFG4	Modem configuration .
	0x3B , // MDMCFG3	Modem configuration .
60	0x73 , // MDMCFG2	Modem configuration .
	0x22 , // MDMCFG1	Modem configuration .
62	0xF8 , // MDMCFG0	Modem configuration .
	0x06 , // CHANNR	Channel number .
64	0x00 , // DEVIATN	Modem deviation setting (when FSK modulation is enabled) .
	0xB6 , // FREND1	Front end RX configuration .
66	0x10 , // FREND0	Front end TX configuration .
	0x18 , // MCSM0	Main Radio Control State Machine configuration .
68	0x1D , // FOCCFG	Frequency Offset Compensation Configuration .
	0x1C , // BSCFG	Bit synchronization Configuration .
70	0xC7 , // AGCCTRL2	AGC control .
	0x30 , // AGCCTRL1	AGC control .
72	0xB0 , // AGCCTRL0	AGC control .
	0xEA , // FSCAL3	Frequency synthesizer calibration .
74	0x0A , // FSCAL2	Frequency synthesizer calibration .
	0x00 , // FSCAL1	Frequency synthesizer calibration .
76	0x11 , // FSCAL0	Frequency synthesizer calibration .
	0x59 , // FTEST	Frequency synthesizer calibration .
78	0x88 , // TEST2	Various test settings .
	0x31 , // TEST1	Various test settings .
80	0x0B , // TEST0	Various test settings .
	0x07 , // FIFOTHR	RXFIFO and TXFIFO thresholds .
82	0x06 , // IOCFG2	GDO2 output pin configuration . 0x0E
	0x06 , // IOCFG0D	GDO0 output pin configuration .
84	0x06 0x08 , // PKTCTRL1	Packet automation control . (CRC autoflush)
	0x05 , // PKTCTRL0	Packet automation control .

```

86     NODEID,      // ADDR          Device address .
87     0xFF ,    // PKTLEN       Packet length .
88     0xFF // PATABLE Transmit power
89 };
90 #endif
91 #ifdef RFSETTINGS_2_4KB
92 //radio settings
93 // Chipcon
94 // Product = CC2500
95 // Datarate = 2.4 kBaud
96 // Modulation = 2-FSK
97 // Manchester enable = (0) Manchester disabled
98 // RF Frequency = 2432.999908 MHz
99 // Channel spacing = 199.951172 kHz
100 // Channel number = 6
101 // Optimization = Sensitivity
102 // Sync mode = (3) 30/32 sync word bits detected
103 // Format of RX/TX data = (0) Normal mode, use FIFOs for RX and TX
104 // CRC operation = (1) CRC calculation in TX and CRC check in RX
105 // enabled
106 // Forward Error Correction = (0) FEC disabled
107 // Length configuration = (1) Variable length packets , packet length
108 // configured by the first received byte after sync word .
109 // Packetlength = 255
110 // Preamble count = (2) 4 bytes
111 // Append status = 1
112 // Address check = (0) No address check
113 // FIFO autoflush = 0
114 // Device address = 0

```

```

// GDO0 signal selection = Asserts when sync word has been sent /
received , and de-asserts at the end of the packet
114 // GDO2 signal selection = CS (Carrier Sense)

RF_SETTINGS code rfSettings = {

116    0x08 , // FSCTRL1      Frequency Synthesizer Control
117    0x00 , // FSCTRL0      Frequency Synthesizer Control
118    0x5D , // FREQ2        Frequency Control Word, High Byte
119    0x93 , // FREQ1        Frequency Control Word, Middle Byte
120    0xB1 , // FREQ0        Frequency Control Word, Low Byte
121    0x86 , // MDMCFG4      Modem Configuration
122    0x83 , // MDMCFG3      Modem Configuration
123    0x03 , // MDMCFG2      Modem Configuration 0x03 is for 30/32 bits
               sync word
124    0x22 , // MDMCFG1      Modem Configuration
125    0xF8 , // MDMCFG0      Modem Configuration
126    0x06 , // CHANNR       Channel Number 0x0F is for de-complexing ;)
127    0x44 , // DEVIATN     Modem Deviation Setting
128    0x56 , // FREND1       Front End RX Configuration
129    0x10 , // FREND0       Front End TX configuration
130    0x18 , // MCSM0        Main Radio Control State Machine
               Configuration
131    0x16 , // FOCCFG       Frequency Offset Compensation Configuration
132    0x6C , // BSCFG        Bit Synchronization Configuration
133    0x03 , // AGCCTRL2     AGC Control
134    0x40 , // AGCCTRL1     AGC Control
135    0x91 , // AGCCTRL0     AGC Control
136    0xA9 , // FSCAL3       Frequency Synthesizer Calibration
137    0x0A , // FSCAL2       Frequency Synthesizer Calibration
138    0x00 , // FSCAL1       Frequency Synthesizer Calibration
               Frequency Synthesizer Calibration

```

```

140    0x59, // FSTEST      Frequency Synthesizer Calibration Control
141    0x81, // TEST2       Various Test Settings 0x81 is for improved
142                  sensitivity
143    0x35, // TEST1       Various Test Settings 0x35 is for improved
144                  sensitivity
145    0x0B, // TEST0       Various Test Settings
146    0x07, // FIFOTHR     RX FIFO and TX FIFO Thresholds
147    0x0E, // IOCFG2        GDO2Output Pin Configuration
148    0x06, // IOCFG0        GDO0Output Pin Configuration 0x06 is for
149                  sync word assert/deassert
150    0x06 | 0x08, // PKTCTRL1   Packet Automation Control 0x08 is for
151                  CRC_AUTOFLUSH
152    0x05, // PKTCTRL0     Packet Automation Control 0x05 is for
153                  CRC_ENABLE and variable packet length
154    NODEID, // ADDR        Device Address
155    0xFF, // PKTLEN        Packet Length
156    0xFF // PATABLE     Transmit power
157};

#endif

```

Δ' Application Layer(main) -Κώδικας

Σε αυτό το παράρτημα αναφέρεται ένα απλό δείγμα κώδικα εφαρμογής για ένα σταθμό βάσης και διάφορους κόμβους που στέλνουν παχέτα σε αυτόν, με δείγματα που λαμβάνουν από τον ADC(Analog-to-Digital Converter), σε ένα δίκτυο αισθητήρων. Πολλοί από αυτούς χρησιμοποιούν ίσως και κώδικα από άλλες βιβλιοθήκες, όπως αναφέρθηκε σύμφωνα και με την αρχιτεκτονική HAL(Hardware Abstraction Layer), αλλά εδώ θα αναφέρουμε μόνο τον βασικό κορμό.

```
1 //-----  
2 // Includes  
3 //-----  
4 #include "other/compiler_defs.h"  
5 #include "other/common.h"  
6 #include "motes/icubes/component_defs/mcu/c8051F320.h"  
7 #include "motes/icubes/component_defs/radio/ccxxx0.h"  
8 #include "motes/icubes/component_defs/icubes_defs.h"  
9 //#include "motes/icubes/hal/halFlash.h"  
10 #include "motes/icubes/hal/halClock.h"  
11 #include "motes/icubes/hal/halUart.h"  
12 #include "motes/icubes/hal/halWait.h"  
13 #include "motes/icubes/hal/halSpi.h"  
14 #include "motes/icubes/hal/halSleep.h"  
15 #include "motes/icubes/hal/halTimers.h"  
16 #include "motes/icubes/hal/halInterrupts.h"  
17 #include "motes/icubes/hal/halAdc.h"  
18 #include "motes/icubes/phy/halRF.h"  
19 #include "motes/icubes/mac/packet.h"  
20 #include "motes/icubes/mac/CSMA.h"  
21 #include "main.h"  
22 #include "NODEID.h"
```

```

23 #include <stdio.h>
//_____
25 // Structures , Unions , Enumerations , and Type Definitions
//_____
27 #define SYSCLK 12000000
#define BAUDRATE 9600
//_____
29 // Application MODE
//_____
31 //_____
#define NO_ACK_APPLICATION
33 void sendFlagEvent( void );
UINT8 maxBackoffDelay( UINT8 max_be );
//_____
35 // Global Constants
//_____
37 //_____
#define RX_IDX_DATA1 6
#define TX_IDX_DATA1 7
#define RX_IDX_DATA2 7
41 #define TX_IDX_DATA2 8
#define SPAM_TIME 30000
#define MEASUREMENT_PERIOD 60000
#define TOGGLE_P2_0() P2_0 = !P2_0
45 #define TOGGLE_P2_3() P2_3 = !P2_3
//_____
47 // Function Prototypes
//_____
49 //_____
// Global Variables
//_____
51 //_____
bit bs_flag = 0;

```

```

53 UINT32 xdata bs_timer = 0;
BYTE xdata node_data [2][TOTALNODES] = {0};
55 BYTE xdata txBuffer [11];
BYTE xdata rxBuffer [11]; // Length byte + 2 status bytes are not
    stored in this buffer
57 #if (NODEID == BASESTATION)
UINT16 xdata packets_received [TOTALNODES] = {0}; //packets received
59 UINT16 xdata packets_ACKed [TOTALNODES] = {0}; //In ACK
    application we keep also
UINT8 xdata packet_ID [TOTALNODES] = {0}; //the last packet_id for
    check
61 #endif
//_____
63 // Main routine
//_____
65 void main (void) {
    BYTE length = sizeof(rxBuffer); //length of buffer
67    BYTE last_pack_id = 0; //packet's id: 1-255
    BYTE xdata i = 1; //vars..
69    BYTE xdata max_BE_delay=0;
    UINT16 adc_sample = 0;
71    BYTE xdata its =0;
    CLOCK_INIT(CLOCK_12MHZ); //Base clock at 12 Mhz
73 //Set up the crossbar and I/O ports to communicate with
    //the C8051F320 peripherals
75
    IO_PORT_INIT();
77 #if (NODEID == BASESTATION)
    halUartSetup(SYSCLK,BAUDRATE); //initialize UART for Base Station
79 #endif

```

```

SPI_INIT(SCLK_6_MHZ); //SPI reference speed of communication
81 INT_PRIORITY(INUM_SPI0, INT_HIGH); //set high interrupts of SPI
     interface
POWER_UP_RESET_CCxxx0(); //enable radio
83 halRfWriteRfSettings(&rfSettings); //write RF setting of the radio
     cc2500
/* Setup timer to produce interrupts every 100us */
85
SET_RELOAD_VALUE_TIMER2_16BIT(100,1000);
87 halSetupTimer23(TIMER_2,SYCLK_DIV_12,SYCLK_DIV_12,MODE_0,INT_ON);
     halAdcInit(ADC_POS_P1_5, ADC_NEG_GND); // init of ADC
89 if (!acquire_timer2_event(sendFlagEvent)){ //choose timer
     while(1);
91 }
     if (!csmaInit(TIMER_2)){ // Important: choose a timer
93     while(1); // for CSMA
95 }
P2_3 = 0;
P2_2 = 0;
97 P2_6 = 0;
P2_7 = 0;
99 if (NODEID == BASE_STATION){
     P2_2 = 0;
101 } else if (NODEID != BASE_STATION ){
     P2_6 = 0;
103 }
txBuffer[0] = sizeof(txBuffer)-1; // Initialize first byte
105 //15/16 sync detected
     halSpiWriteReg(CCxxx0_MDMCFG2,0x01);
107 //choose a sync_word (small for WOR reasons: less time in RX is needed

```

```

        )

#if NODEID!=BASE_STATION
109 WOR_INIT(RX_DUTY_3_1);
    SETUP_GDO0_INT(HIGH,EDGE);

111 #endif

max_BE_delay=maxBackoffDelay(MAX_BE);

113 while (1) {
    #if (NODEID == BASE_STATION)
        //----- BASE STATION CODE -----
115     its++;
        //----- WAKE UP NODES -----
117     bs_flag = 0;
119     bs_timer = SPAM_TIME;
121     while (!bs_flag){
123         csmaSendPacket(PTYPE_ACK,0,DONT_CARE,DONT_CARE,DONT_CARE);
125         P2_6 = !P2_6;
127         P2_0 = !P2_0 ;
129     }
        //----- RECEIVE FROM NODES -----
131     for (i=0; i<TOTAL_NODES; i++){
133         bs_flag = 0;
135         bs_timer = SPAM_TIME + (max_BE_delay*SLOT_TIME_INTS) ;
137         while (!bs_flag){
139             if (csmaReceivePacket(PTYPE_DATA,65000,1) == PACKET_SUCCESS){
141                 // ----- ACK -----
143                 if (rxBuffer[RX_IDX_ACK_REQUIRE]==BUFF_ACK_REQUIRED){
145                     if (rxBuffer[RX_IDX_PACKET_TYPE]!= PTYPE_RTS){
147                         csmaSendPacket(PTYPE_ACK, rxBuffer[RX_IDX_SOURCE], rxBuffer[
149                             RX_IDX_PACKET_ID] ,DONT_CARE,DONT_CARE);
151                     } else {
153
155
157
159
161
163
165
167
169
171
173
175
177
179
181
183
185
187
189
191
193
195
197
199
201
203
205
207
209
211
213
215
217
219
221
223
225
227
229
231
233
235
237
239
241
243
245
247
249
251
253
255
257
259
261
263
265
267
269
271
273
275
277
279
281
283
285
287
289
291
293
295
297
299
301
303
305
307
309
311
313
315
317
319
321
323
325
327
329
331
333
335
337
339
341
343
345
347
349
351
353
355
357
359
361
363
365
367
369
371
373
375
377
379
381
383
385
387
389
391
393
395
397
399
401
403
405
407
409
411
413
415
417
419
421
423
425
427
429
431
433
435
437
439
441
443
445
447
449
451
453
455
457
459
461
463
465
467
469
471
473
475
477
479
481
483
485
487
489
491
493
495
497
499
501
503
505
507
509
511
513
515
517
519
521
523
525
527
529
531
533
535
537
539
541
543
545
547
549
551
553
555
557
559
561
563
565
567
569
571
573
575
577
579
581
583
585
587
589
591
593
595
597
599
601
603
605
607
609
611
613
615
617
619
621
623
625
627
629
631
633
635
637
639
641
643
645
647
649
651
653
655
657
659
661
663
665
667
669
671
673
675
677
679
681
683
685
687
689
691
693
695
697
699
701
703
705
707
709
711
713
715
717
719
721
723
725
727
729
731
733
735
737
739
741
743
745
747
749
751
753
755
757
759
761
763
765
767
769
771
773
775
777
779
781
783
785
787
789
791
793
795
797
799
801
803
805
807
809
811
813
815
817
819
821
823
825
827
829
831
833
835
837
839
841
843
845
847
849
851
853
855
857
859
861
863
865
867
869
871
873
875
877
879
881
883
885
887
889
891
893
895
897
899
901
903
905
907
909
911
913
915
917
919
921
923
925
927
929
931
933
935
937
939
941
943
945
947
949
951
953
955
957
959
961
963
965
967
969
971
973
975
977
979
981
983
985
987
989
991
993
995
997
999
1001
1003
1005
1007
1009
1011
1013
1015
1017
1019
1021
1023
1025
1027
1029
1031
1033
1035
1037
1039
1041
1043
1045
1047
1049
1051
1053
1055
1057
1059
1061
1063
1065
1067
1069
1071
1073
1075
1077
1079
1081
1083
1085
1087
1089
1091
1093
1095
1097
1099
1101
1103
1105
1107
1109
1111
1113
1115
1117
1119
1121
1123
1125
1127
1129
1131
1133
1135
1137
1139
1141
1143
1145
1147
1149
1151
1153
1155
1157
1159
1161
1163
1165
1167
1169
1171
1173
1175
1177
1179
1181
1183
1185
1187
1189
1191
1193
1195
1197
1199
1201
1203
1205
1207
1209
1211
1213
1215
1217
1219
1221
1223
1225
1227
1229
1231
1233
1235
1237
1239
1241
1243
1245
1247
1249
1251
1253
1255
1257
1259
1261
1263
1265
1267
1269
1271
1273
1275
1277
1279
1281
1283
1285
1287
1289
1291
1293
1295
1297
1299
1301
1303
1305
1307
1309
1311
1313
1315
1317
1319
1321
1323
1325
1327
1329
1331
1333
1335
1337
1339
1341
1343
1345
1347
1349
1351
1353
1355
1357
1359
1361
1363
1365
1367
1369
1371
1373
1375
1377
1379
1381
1383
1385
1387
1389
1391
1393
1395
1397
1399
1401
1403
1405
1407
1409
1411
1413
1415
1417
1419
1421
1423
1425
1427
1429
1431
1433
1435
1437
1439
1441
1443
1445
1447
1449
1451
1453
1455
1457
1459
1461
1463
1465
1467
1469
1471
1473
1475
1477
1479
1481
1483
1485
1487
1489
1491
1493
1495
1497
1499
1501
1503
1505
1507
1509
1511
1513
1515
1517
1519
1521
1523
1525
1527
1529
1531
1533
1535
1537
1539
1541
1543
1545
1547
1549
1551
1553
1555
1557
1559
1561
1563
1565
1567
1569
1571
1573
1575
1577
1579
1581
1583
1585
1587
1589
1591
1593
1595
1597
1599
1601
1603
1605
1607
1609
1611
1613
1615
1617
1619
1621
1623
1625
1627
1629
1631
1633
1635
1637
1639
1641
1643
1645
1647
1649
1651
1653
1655
1657
1659
1661
1663
1665
1667
1669
1671
1673
1675
1677
1679
1681
1683
1685
1687
1689
1691
1693
1695
1697
1699
1701
1703
1705
1707
1709
1711
1713
1715
1717
1719
1721
1723
1725
1727
1729
1731
1733
1735
1737
1739
1741
1743
1745
1747
1749
1751
1753
1755
1757
1759
1761
1763
1765
1767
1769
1771
1773
1775
1777
1779
1781
1783
1785
1787
1789
1791
1793
1795
1797
1799
1801
1803
1805
1807
1809
1811
1813
1815
1817
1819
1821
1823
1825
1827
1829
1831
1833
1835
1837
1839
1841
1843
1845
1847
1849
1851
1853
1855
1857
1859
1861
1863
1865
1867
1869
1871
1873
1875
1877
1879
1881
1883
1885
1887
1889
1891
1893
1895
1897
1899
1901
1903
1905
1907
1909
1911
1913
1915
1917
1919
1921
1923
1925
1927
1929
1931
1933
1935
1937
1939
1941
1943
1945
1947
1949
1951
1953
1955
1957
1959
1961
1963
1965
1967
1969
1971
1973
1975
1977
1979
1981
1983
1985
1987
1989
1991
1993
1995
1997
1999
2001
2003
2005
2007
2009
2011
2013
2015
2017
2019
2021
2023
2025
2027
2029
2031
2033
2035
2037
2039
2041
2043
2045
2047
2049
2051
2053
2055
2057
2059
2061
2063
2065
2067
2069
2071
2073
2075
2077
2079
2081
2083
2085
2087
2089
2091
2093
2095
2097
2099
2101
2103
2105
2107
2109
2111
2113
2115
2117
2119
2121
2123
2125
2127
2129
2131
2133
2135
2137
2139
2141
2143
2145
2147
2149
2151
2153
2155
2157
2159
2161
2163
2165
2167
2169
2171
2173
2175
2177
2179
2181
2183
2185
2187
2189
2191
2193
2195
2197
2199
2201
2203
2205
2207
2209
2211
2213
2215
2217
2219
2221
2223
2225
2227
2229
2231
2233
2235
2237
2239
2241
2243
2245
2247
2249
2251
2253
2255
2257
2259
2261
2263
2265
2267
2269
2271
2273
2275
2277
2279
2281
2283
2285
2287
2289
2291
2293
2295
2297
2299
2301
2303
2305
2307
2309
2311
2313
2315
2317
2319
2321
2323
2325
2327
2329
2331
2333
2335
2337
2339
2341
2343
2345
2347
2349
2351
2353
2355
2357
2359
2361
2363
2365
2367
2369
2371
2373
2375
2377
2379
2381
2383
2385
2387
2389
2391
2393
2395
2397
2399
2401
2403
2405
2407
2409
2411
2413
2415
2417
2419
2421
2423
2425
2427
2429
2431
2433
2435
2437
2439
2441
2443
2445
2447
2449
2451
2453
2455
2457
2459
2461
2463
2465
2467
2469
2471
2473
2475
2477
2479
2481
2483
2485
2487
2489
2491
2493
2495
2497
2499
2501
2503
2505
2507
2509
2511
2513
2515
2517
2519
2521
2523
2525
2527
2529
2531
2533
2535
2537
2539
2541
2543
2545
2547
2549
2551
2553
2555
2557
2559
2561
2563
2565
2567
2569
2571
2573
2575
2577
2579
2581
2583
2585
2587
2589
2591
2593
2595
2597
2599
2601
2603
2605
2607
2609
2611
2613
2615
2617
2619
2621
2623
2625
2627
2629
2631
2633
2635
2637
2639
2641
2643
2645
2647
2649
2651
2653
2655
2657
2659
2661
2663
2665
2667
2669
2671
2673
2675
2677
2679
2681
2683
2685
2687
2689
2691
2693
2695
2697
2699
2701
2703
2705
2707
2709
2711
2713
2715
2717
2719
2721
2723
2725
2727
2729
2731
2733
2735
2737
2739
2741
2743
2745
2747
2749
2751
2753
2755
2757
2759
2761
2763
2765
2767
2769
2771
2773
2775
2777
2779
2781
2783
2785
2787
2789
2791
2793
2795
2797
2799
2801
2803
2805
2807
2809
2811
2813
2815
2817
2819
2821
2823
2825
2827
2829
2831
2833
2835
2837
2839
2841
2843
2845
2847
2849
2851
2853
2855
2857
2859
2861
2863
2865
2867
2869
2871
2873
2875
2877
2879
2881
2883
2885
2887
2889
2891
2893
2895
2897
2899
2901
2903
2905
2907
2909
2911
2913
2915
2917
2919
2921
2923
2925
2927
2929
2931
2933
2935
2937
2939
2941
2943
2945
2947
2949
2951
2953
2955
2957
2959
2961
2963
2965
2967
2969
2971
2973
2975
2977
2979
2981
2983
2985
2987
2989
2991
2993
2995
2997
2999
3001
3003
3005
3007
3009
3011
3013
3015
3017
3019
3021
3023
3025
3027
3029
3031
3033
3035
3037
3039
3041
3043
3045
3047
3049
3051
3053
3055
3057
3059
3061
3063
3065
3067
3069
3071
3073
3075
3077
3079
3081
3083
3085
3087
3089
3091
3093
3095
3097
3099
3101
3103
3105
3107
3109
3111
3113
3115
3117
3119
3121
3123
3125
3127
3129
3131
3133
3135
3137
3139
3141
3143
3145
3147
3149
3151
3153
3155
3157
3159
3161
3163
3165
3167
3169
3171
3173
3175
3177
3179
3181
3183
3185
3187
3189
3191
3193
3195
3197
3199
3201
3203
3205
3207
3209
3211
3213
3215
3217
3219
3221
3223
3225
3227
3229
3231
3233
3235
3237
3239
3241
3243
3245
3247
3249
3251
3253
3255
3257
3259
3261
3263
3265
3267
3269
3271
3273
3275
3277
3279
3281
3283
3285
3287
3289
3291
3293
3295
3297
3299
3301
3303
3305
3307
3309
3311
3313
3315
3317
3319
3321
3323
3325
3327
3329
3331
3333
3335
3337
3339
3341
3343
3345
3347
3349
3351
3353
3355
3357
3359
3361
3363
3365
3367
3369
3371
3373
3375
3377
3379
3381
3383
3385
3387
3389
3391
3393
3395
3397
3399
3401
3403
3405
3407
3409
3411
3413
3415
3417
3419
3421
3423
3425
3427
3429
3431
3433
3435
3437
3439
3441
3443
3445
3447
3449
3451
3453
3455
3457
3459
3461
3463
3465
3467
3469
3471
3473
3475
3477
3479
3481
3483
3485
3487
3489
3491
3493
3495
3497
3499
3501
3503
3505
3507
3509
3511
3513
3515
3517
3519
3521
3523
3525
3527
3529
3531
3533
3535
3537
3539
3541
3543
3545
3547
3549
3551
3553
3555
3557
3559
3561
3563
3565
3567
3569
3571
3573
3575
3577
3579
3581
3583
3585
3587
3589
3591
3593
3595
3597
3599
3601
3603
3605
3607
3609
3611
3613
3615
3617
3619
3621
3623
3625
3627
3629
3631
3633
3635
3637
3639
3641
3643
3645
3647
3649
3651
3653
3655
3657
3659
3661
3663
3665
3667
3669
3671
3673
3675
3677
3679
3681
3683
3685
3687
3689
3691
3693
3695
3697
3699
3701
3703
3705
3707
3709
3711
3713
3715
3717
3719
3721
3723
3725
3727
3729
3731
3733
3735
3737
3739
3741
3743
3745
3747
3749
3751
3753
3755
3757
3759
3761
3763
3765
3767
3769
3771
3773
3775
3777
3779
3781
3783
3785
3787
3789
3791
3793
3795
3797
3799
3801
3803
3805
3807
3809
3811
3813
3815
3817
3819
3821
3823
3825
3827
3829
3831
3833
3835
3837
3839
3841
3843
3845
3847
3849
3851
3853
3855
3857
3859
3861
3863
3865
3867
3869
3871
3873
3875
3877
3879
3881
3883
3885
3887
3889
3891
3893
3895
3897
3899
3901
3903
3905
3907
3909
3911
3913
3915
3917
3919
3921
3923
3925
3927
3929
3931
3933
3935
3937
3939
3941
3943
3945
3947
3949
3951
3953
3955
3957
3959
3961
3963
3965
3967
3969
3971
3973
3975
3977
3979
3981
3983
3985
3987
3989
3991
3993
3995
3997
3999
4001
4003
4005
4007
4009
4011
4013
4015
4017
4019
4021
4023
4025
4027
4029
4031
4033
4035
4037
4039
4041
4043
4045
4047
4049
4051
4053
4055
4057
4059
4061
4063
4065
4067
4069
4071
4073
4075
4077
4079
4081
4083
4085
4087
4089
4091
4093
4095
4097
4099
4101
4103
4105
4107
4109
4111
4113
4115
4117
4119
4121
4123
4125
4127
4129
4131
4133
4135
4137
4139
4141
4143
4145
4147
4149
4151
4153
4155
4157
4159
4161
4163
4165
4167
4169
4171
4173
4175
4177
4179
4181
4183
4185
4187
4189
4191
4193
4195
4197
4199
4201
4203
4205
4207
4209
4211
4213
4215
4217
4219
4221
4223
4225
4227
4229
4231
4233
4235
4237
4239
4241
4243
4245
4247
4249
4251
4253
4255
4257
4259
4261
4263
4265
4267
4269
4271
4273
4275
4277
4279
4281
4283
4285
4287
4289
4291
4293
4295
4297
4299
4301
4303
4305
4307
4309
4311
4313
4315
4317
4319
4321
4323
4325
4327
4329
4331
4333
4335
4337
4339
4341
4343
4345
4347
4349
4351
4353
4355
4357
4359
4361
4363
4365
4367
4369
4371
4373
4375
4377
4379
4381
4383
4385
4387
4389
4391
4393
4395
4397
4399
4401
4403
4405
4407
4409
4411
4413
4415
4417
4419
4421
4423
4425
4427
4429
4431
4433
4435
4437
4439
4441
4443
4445
4447
4449
4451
4453
4455
4457
4459
4461
4463
4465
4467
4469
4471
4473
4475
4477
4479
4481
4483
4485
4487
4489
4491
4493
4495
4497
4499
4501
4503
4505
4507
4509
4511
4513
4515
4517
4519
4521
4523
4525
4527
4529
4531
4533
4535
4537
4539
4541
4543
4545
4547
4549
4551
4553
4555
4557
4559
4561
4563
4565
4567
4569
4571
4573
4575
4577
4579
4581
4583
4585
4587
4589
4591
4593
4595
4597
4599
4601
4603
4605
4607
4609
4611
4613
4615
4617
4619
4621
4623
4625
4627
4629
4631
4633
4635
4637
4639
4641
4643
4645
4647
4649
4651
4653
4655
4657
4659
4661
4663
4665
4667
4669
4671
4673
4675
4677
4679
4681
4683
4685
4687
4689
4691
4693
4695
4697
4699
4701
4703
4705
4707
4709
4711
4713
4715
471
```

```

        csmaSendPacket (PTYPE_CTS, rxBuffer [RX_IDX_SOURCE] , rxBuffer [
            RX_IDX_PACKET_ID] ,DONT_CARE,DONT_CARE) ;

137    }

    P2_7 = !P2_7;

139    }

140    if ( rxBuffer [RX_IDX_PACKET_TYPE]!= PTYPE_RTS) {

141        // Save the data

142        node_data [0] [ rxBuffer [RX_IDX_SOURCE]-2] = rxBuffer [RX_IDX_DATA1
            ];

143        node_data [1] [ rxBuffer [RX_IDX_SOURCE]-2] = rxBuffer [RX_IDX_DATA2
            ];

144        packets_received [ rxBuffer [RX_IDX_SOURCE]-2]++;

145        if ( rxBuffer [RX_IDX_PACKET_ID]!= packet_ID [ rxBuffer [RX_IDX_SOURCE
            ]-2]){

146            packets_ACKed [ rxBuffer [RX_IDX_SOURCE]-2]++;
            packet_ID [ rxBuffer [RX_IDX_SOURCE]-2] = rxBuffer [
                RX_IDX_PACKET_ID];

147        }

148        P2_0 = !P2_0;

149    }

150    }

151    }

152    }

153    }

puts("====> Node ADC Data <=====") ;

154    printf("Time elapsed: %u turns\n", (unsigned int)its);

155    for ( i = 0 ; i < TOTALNODES ; i++){

156        adc_sample = 0;

157        adc_sample += node_data [0][ i];

158        adc_sample += node_data [1][ i] << 8 ;

159        printf("NODE %d : [%u]\n", (int)(i+2) , (unsigned int)adc_sample);

```

```

161   printf("Total Packets: %u \n", (unsigned int) packets_received [ i ]) ;
162   printf("Successful ACKs: %u \n", (unsigned int) packets_ACKed [ i ]) ;
163   puts("-----");
164 }
165 //----- WAIT -----
166 //P2_2 = !P2_2;
167 for ( i=1;i < 60; i++) {
168   halSleep1(MEASUREMENT_PERIOD);
169   halSleep1(MEASUREMENT_PERIOD);
170   halSleep1(MEASUREMENT_PERIOD);
171   halSleep1(MEASUREMENT_PERIOD);
172   halSleep1(MEASUREMENT_PERIOD);
173 }
174 RESET_CCxxx0();
175 halRfWriteRfSettings(&rfSettings);
176 halSpiWriteReg(CCxxx0_MDMCFG2, 0x01);
177 #else
178 P2MDOUT |= 0x20; // enable P2. ports (used for sensor)
179
180 //----- NODE CODE -----//
181 halSleepWakeOnInt(INUM_INT1);
182 if (halRfReceivePacketWOR(rxBuffer, &length, IGNORE_PACKET FALSE)) {
183   P2_7 = 1;
184   if (rxBuffer[RX_IDX_SOURCE]==BASE_STATION) {
185     //----- BLINK -----
186     //----- WAIT FOR WAKEUP SIG TO END -----
187     OSCICN &= ~0x03;
188     //----- ADC -----
189     P2_5 = 1;
190     adc_sample = halAdcSampleAvg(100);

```

```

191    P2_5 = 0;
192    // ----- SEND DATA TO BASE STATION -----
193    txBuffer[TX_IDX_DATA1] = (0x00FF)&(adc_sample >> 0);
194    txBuffer[TX_IDX_DATA2] = (0x00FF)&(adc_sample >> 8);
195    halSleep1( (UINT16) ((SPAM_TIME)/8));
196    OSCICN |= 0x03;
197    if (last_pack_id==0){
198        last_pack_id=1;
199    }
200    if (csmaSendPacket (PTYPE_DATA,BASE_STATION, last_pack_id ,
201                      BUFF_ACK_NOT_REQUIRED,1)) {
202        last_pack_id++;
203        if (last_pack_id >255){
204            last_pack_id=1;
205        }
206    }
207}
208
209    P2_7 = 0;
210    WOR_RESET();
211 #endif
212 } //while
213 } //main
214 //-----  

215 // A function used to approximate a maximum delay time in slots
216 //-----  

217
218    UINT8 maxBackoffDelay (UINT8 max_be) {
219        UINT8 x=0;
220        UINT8 max_delay=0;
221        for (x=INIT_BE; x<=max_be ;x++){ //calculate sums of worst case

```

```
    max_delay = max_delay + pow2(x) -1;  
221 }  
222     return max_delay;  
223 }  
224 void sendFlagEvent(void){  
225     if(bs_timer > 0 && bs_flag == 0){  
226         bs_timer --;  
227     } else {  
228         bs_flag = 1;  
229     }  
230 }
```

E' Αναφορές

- [1] IEEE Computer Society, *Wireless Medium Access Control(MAC) and Physical Layer(PHY) Specifications for Low-Rate Wireless Personal Area Networks(WPANS)*, IEEE 802.15.4 Std, Σεπτέμβριος 2006.
- [2] Chiara Buratti, Roberto Verdone, "Performance Analysis of IEEE 802.15.4 Non Beacon-Enabled Mode", IEEE Transactions on Vehicular Technology, Vol 58, No.7, Σεπτέμβριος 2009.
- [3] Texas Instruments, Datasheet "Low-Cost Low-Power 2.4 GHz RF Transceiver (Rev. C)", 19 Μαΐου 2009.
- [4] Silicon Labs, Datasheet C8051F32x, Version 1.4, 2009.
- [5] Siri Namtvedt, "Texas Instruments - Application Note AN047, Wake-on-Radio", 2009.
- [6] Καμπιανάκης Λευτέρης, "Custom Over The Air Programmable Embedded Radios", 2009.